

АЗЭРБАЙЧАН ССР ЕЛМЛЭР АКАДЕМИЈАСЫ
АКАДЕМИЯ НАУК АЗЕРБАЙДЖАНСКОЙ ССР

МЭРУЗЭЛЭР ДОКЛАДЫ

ТОМ XXII ЧИЛД

8

АЗЭРБАЙЧАН ССР ЕЛМЛЭР АКАДЕМИЈАСЫ НЭШРИЈЛТАҮ
ИЗДАТЕЛЬСТВО АКАДЕМИИ НАУК АЗЕРБАЙДЖАНСКОЙ ССР

Бакы—1966—Баку

АЗЭРБАЙЧАН ССР ЕЛМЛЭР АКАДЕМИЈАСЫ
АКАДЕМИЯ НАУК АЗЕРБАЙДЖАНСКОЙ ССР

МЭ'РУЗЭЛЭР ДОКЛАДЫ

ТОМ XXII ЧИЛД

№ 8

АЗЭРБАЙЧАН ССР ЕЛМЛЭР АКАДЕМИЈАСЫ НЭШРИЈАТЫ
ИЗДАТЕЛЬСТВО АКАДЕМИИ НАУК АЗЕРБАЙДЖАНСКОЙ ССР
БАКЫ—1966—БАКУ

Н. М. ДЖАФАРОВА

ОБ ОДНОМ СПОСОБЕ ДОКАЗАТЕЛЬСТВА ТОЖДЕСТВЕННОСТИ ЦЕЛЫХ АЛГЕБРАИЧЕСКИХ ВЫРАЖЕНИЙ НА МАШИНЕ

(Представлено академиком АН СССР В. М. Глушковым)

Предлагаемый способ основан на применении в требуемом порядке стандартных программ сложения и умножения полиномов с полиномиальными коэффициентами:

1. Осуществлению алгебраических операций на машинах над полиномами посвящен ряд работ [1,2], где рассматриваются полиномы вида

$$P = \sum \pm a_i x_1^{a_{1i}} x_2^{a_{2i}} \dots x_n^{a_{ni}},$$

a_i, a_{ki} — любые числа, x_k — буквы.

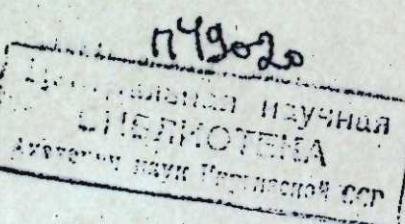
В нашем случае программы сложения и умножения работают над полиномами вида

$$\alpha = \sum_{k_1=0}^{n_1} \left(\sum_{k_2=0}^{n_2} \dots \left(\sum_{k_i=0}^{n_i} a_{k_1}^{(1)} x_1^{k_1} \right) \dots \right) a_{k_2}^{(2)} x_2^{k_2} \dots a_{k_i}^{(i)} x_1^{k_i}, \quad (1)$$

где a_{kj} — действительные числа, x_{kj} — буквы, n_j — целые неотрицательные числа, $(1 \leq j \leq i)$; i — целое положительное число, т. е. рассматриваются полиномы относительно некоторой переменной, коэффициенты которых — снова полиномы относительно некоторой другой переменной и т. д. конечное число раз.

В памяти машины полиномы вида (1) располагаются в некотором выделенном массиве, назовем его массивом для записи полиномов. Адрес доступной ячейки этого массива хранится в специальной ячейке. Каждый полином характеризуется заголовком и списком своих коэффициентов. Заголовок полинома — суть ячейка, в которой записаны:

- а) признак заголовка полинома; номер переменной, относительно которой расположена полином;
- б) адрес старшего коэффициента полинома, т. к. старший коэффициент не обязательно располагается непосредственно за заголовком;
- в) степень полинома.



РЕДАКЦИОННАЯ КОЛЛЕГИЯ: З. И. Халилов (главный редактор), Ш. А. Азизбеков, В. Р. Волобуев, Д. М. Гусейнов, И. А. Гусейнов, М. А. Дадашзаде (зам. главного редактора), М. А. Далин, Ч. М. Джуварлы, С. М. Кулиев, М. Ф. Нагиев (зам. главного редактора), М. А. Топчибашев, Г. Г. Зейналов (ответственный секретарь).

Адрес: г. Баку, Коммунистическая, 10. Редакция «Докладов Академии наук Азербайджанской ССР».

Начиная с ячейки, адрес которой указан в заголовке полинома как адрес старшего коэффициента, размещается список коэффициентов полинома, в котором подряд в последовательных ячейках записаны все коэффициенты данного полинома в порядке убывания степеней. В любой из списочных ячеек может быть записан либо заголовок некоторого полинома, либо число. Конец списка коэффициентов полинома определяется по степени полинома, указанной в его заголовке.

II. Стандартная программа сложения полиномов работает следующим образом.

(1). Входную информацию содержит ячейка, где по Ia записан адрес заголовка первого слагаемого, а по IIa — второго. Сначала из заголовков полиномов — слагаемых выделяются адреса старших коэффициентов, степени и имена переменных, от которых зависят эти полиномы. Если одно или оба слагаемых — числа, ставится специальный признак.

(2). Затем выясняется, каковы слагаемые, т. е. каковы операнды.

Возможны случаи:

- a) оба операнда — полиномы от одной и той же переменной,
- в) оба операнда — полиномы, но от разных переменных,
- с) оба операнда — числа,
- д) один из операндов — число, другой — полином.

(3). Пусть оба слагаемых — полиномы от одной и той же переменной. Тогда определяется какой из них старше и, после образования заголовка суммы полиномов, сначала в последовательные ячейки пересыпаются величины тех коэффициентов старшего полинома, которым не будет подобных членов, а вслед за ними записываются (по 2 адреса в каждой ячейке) адреса подобных коэффициентов слагаемых полиномов. Адрес каждой такой ячейки хранится в специальном магазине памяти. По окончании записи адресов подобных коэффициентов программа поочередно достает из магазина памяти адреса ячеек и обращается к себе всякий раз (т. е. работает рекурсивно), но теперь уже для сложения коэффициентов, которые в свою очередь могут оказаться полиномами.

Если анализ слагаемых покажет, что слагаемые — полиномы от различных переменных, то программа выяснит, какая из переменных старше и прибавит полином от младшей переменной к свободному члену полинома от старшей переменной.

То же произойдет, если одно слагаемое окажется числом, а другое — полиномом (т. е. число будет прибавлено к свободному члену полинома).

Наконец, если оба слагаемых — числа, происходит их сложение.

Работа программы заканчивается, когда все коэффициенты будут сложены.

Существенной частью стандартной программы умножения полиномов является следующий оператор приведения подобных членов.

Оператор начинает работать, когда в массиве для записи полиномов помещено $(m+1)(n+1)$ -значений коэффициентов, получающихся при умножении полинома степени m на полином степени n ($m > n$). Назовем полином, получающийся в результате умножения двух полиномов полиномом-произведением.

Входные данные о месте расположения коэффициентов полинома-произведения и о степенях полиномов-сомножителей, программа получает из магазина памяти A. Вид содержимого ячейки a магазина A:

$$[a] = b \text{ } m \text{ } n,$$

где m, n — степени полиномов-сомножителей;

b — адрес ячейки из магазина памяти B, хранящего информацию об адресах коэффициентов полинома-произведения.

Ячейка b будет содержать адрес старшего коэффициента полинома-произведения. Приведение подобных членов происходит следующим образом.

(1). Сначала $(n-1)$ раз происходит сложение коэффициентов с адресами

$$\alpha = [b] + 1,$$

$$\beta = [b] + n + 1$$

с увеличением α, β каждый раз на 1. При этом, если оба слагаемых числа, происходит обычное сложение, в противном случае обращение к вышеописанной стандартной программе сложения полиномов.

После окончания этих сложений из ячейки с адресом β происходит сдвиг в ячейку с адресом $\alpha(m-1)(n+1)+1$ ячеек.

В результате суммирования и подтягивания записей появляются „лишние“ ячейки.

(2). Адреса α и β уменьшаются на $(n-1)$, τ — на 1; все действия пункта (1) повторяются $(m-1)$ раз.

Этим собственно приведение подобных членов окончено, после чего еще происходит вычеркивание „лишних“ ячеек с помощью небольшой подпрограммы.

Перейдем теперь непосредственно к программе умножения. Начало работы программы совпадает с пунктами (1) и (2) в описании программы сложения, т. е. проводится анализ сомножителей.

Пусть оба сомножителя — полиномы от одной и той же переменной степени m и n соответственно. Тогда определяется порядок сомножителей в произведении (первым будет тот, чья степень больше; пусть $m > n$) и после записи заголовка произведения полиномов, записываются в $(m+1)(n+1)$ последовательных ячейках адреса коэффициентов (по 2 адреса в каждой ячейке), которые должны быть перемножены.

По окончании записи адресов коэффициентов, которые должны быть перемножены, программа поочередно достает из магазина памяти B адреса ячеек, в которых указано какие коэффициенты надо перемножить, и обращается к себе всякий раз (т. е. работает рекурсивно) теперь уже для перемножения коэффициентов, которые в свою очередь могут оказаться полиномами.

Если анализ сомножителей покажет, что они являются полиномами от разных переменных, то программа выяснит какая из переменных старше, после чего умножит все коэффициенты полинома от старшей переменной на полином от младшей переменной.

То же произойдет, если один из сомножителей окажется числом, т. е. все коэффициенты полинома умножатся на это число.

Наконец, если оба множителя окажутся числами, то происходит их перемножение.

Доставая ячейки из магазина B, программа всякий раз проверяет, не совпадает ли адрес этой ячейки с Ia доступной ячейки магазина A. Совпадение означает, что все коэффициенты данного полинома-произведения перемножены и надо выполнять приведение подобных членов.

Весь процесс повторяется до тех пор, пока не будет исчерпан магазин А.

III. С помощью описанного выше способа были доказаны следующие тождества (при расходе машинного времени около 15 мин для машины, имеющей 20 тыс. опер/сек):

$$1) (a^2+b^2)(x^2+y^2)=(ax-by)^2+(bx+ay)^2;$$

$$2) (a^2+b^2+c^2+d^2)(x^2+y^2+z^2+t^2)=(ax-by-cz-dt)^2+(bx+ay-dz+ct)^2+(cx+dy+az-bt)^2+(dx-cy+bz+at)^2;$$

$$3) (a^2+b^2+c^2)(x^2+y^2+z^2)-(ax+by+cz)^2=(bx-ay)^2+(cy-bz)^2+(az-cx)^2;$$

$$4) (6a^2-4ab+4b^2)^3=(3a^2+5ab-5b^2)^3+(4a^2-4ab+6b^2)^3+(5a^2-5ab-3b^2)^3;$$

$$5) (p^2-q^2)^4+(2pq+q^2)^4+(2pq+p^2)^4=2(p^2+pq+q^2)^4;$$

$$6) x^2+xy+y^2=z^3, \text{ если } x=q^3+3pq^2-p^3, \\ y=-3pq(p+q),$$

$$z=p^2+pq+q^2;$$

$$7) (a+b+c+d)^2+(a+b-c-d)^2+(a+c-b-d)^2+(a+d-b-c)^2= \\ =4(a^2+b^2+c^2+d^2);$$

$$8) s(s-2b)(s-2c)+s(s-2c)(s-2a)+s(s-2a)(s-2b)=(s-2a)(s-2b)(s-2c)+8abc,$$

если $s=a+b+c$;

$$9) (z^2-a^2)(z^2-b^2)+(z^2-b^2)(z^2-c^2)+(z^2-c^2)(z^2-a^2)=4s(s-a)(s-b)(s-c),$$

если $2z^2=a^2+b^2+c^2$, $2s=a+b+c$;

(10) пусть дан трехчлен: $Ax^2+Bxy+Cy^2$.

Положим: $x=\alpha x'+\beta y'$, $y=\gamma x'+\delta y'$.

Тогда данный трехчлен перейдет в следующий:

$$A'x'^2+2B'x'y'+C'y'^2$$

Доказать, что

$$B'^2-A'C'=(B^2-AC)(\alpha\delta-\beta\gamma)^2.$$

ЛИТЕРАТУРА

1. Шурыгин В. А., Яценко Н. Н. О реализации на электронных вычислительных машинах алгебраческо-дифференциальных алгоритмов. Проблемы кибернетики, вып. 6, 1961.
2. Brown W. S. The ALPAK system for nonnumerical algebra on a digital computer. I Polynomials in several variables and truncated power series with polynomials coefficients. Bell System Tech. J., 1963, 42, № 5.

Н. М. Чәфәрова

Там чәбри ифадәләр еңилијинин машина
исбатынын бир үсулу нағында

ХУЛАСЭ

Там чәбри ифадәләр еңилијинин машины васитәсилә исбатына һәср өдилмиш һәмин иш әмсаллары чохһәдлиләр олан чохһәдлиләрин топланма вә вурулмасыны тә'мин едән стандарт програмларын мүәjjән гајда илә тәтбигинә әсасланыр.

Мәгаләдә илкни мә'луматларын көстәрилмә гајдасы вә гејд өдилән стандарт програмларын изаһы верилир, исбат өдилмиш еңилик-ләрдән әјанилик үчүн бә'зиләри кәтирилир.

МАТЕМАТИКА

С. Я. ЯКУБОВ

О КВАЗИЛИНЕЙНЫХ ДИФФЕРЕНЦИАЛЬНЫХ УРАВНЕНИЯХ
В АБСТРАКТНЫХ ПРОСТРАНСТВАХ

(Представлено академиком АН Азербайджанской ССР. З. И. Халиловым)

Рассмотрим задачу Коши для квазилинейного дифференциального уравнения первого порядка в комплексном банаховом пространстве E

$$\frac{du(t)}{dt} = A(t)u(t) + f(t, u(t)), \quad u(t_0) = u_0 \quad (1)$$

Решением задачи (1) на $[t_0, T]$ будем называть непрерывно дифференцируемую на $[t_0, T]$ функцию $u(t)$, удовлетворяющую при каждом $t \in [t_0, T]$ уравнению (1) и обладающую тем свойством, что функция $A(t)u(t)$ непрерывна на $[t_0, T]$.

Целью настоящей статьи является охватить тот случай, когда $A(t)$ при каждом $t \in [0, T]$ порождает сильно непрерывную, не обязательно дифференцируемую полугруппу, в то же время $f(t, u)$ — неограниченный нелинейный оператор в E . Случай ограниченного нелинейного оператора $f(t, u)$ рассмотрен в [1].

В дальнейшем, если не оговорено специально, непрерывная дифференцируемость вектор-функции и сильно непрерывно дифференцируемость оператор-функции понимается в смысле метрики E .

Пусть имеют место следующие условия:

1°. Оператор $A(t)$ имеет не зависящую от t всюду плотную в E область определения $D(A(t)) = D(A)$ и выполняется оценка

$$\|R(\lambda, A(t))\| \leq (\lambda + \omega)^{-1}$$

при всех действительных $\lambda \geq -\omega$ ($\omega > 0$); оператор-функция $A(t)A^{-1}(0)$ сильно непрерывно дифференцируема на $[0, T]$.

Определим банахово пространство E_A , состоящее из элементов $D(A)$ с нормой $\|u\|_A = \|A(0)u\|$. Через $S_A(0, R)$ — обозначим шар в E_A с центром в нуле и радиусом R .

2° Оператор $f(t, u)$ действует из $[0, T] \times S_A(0, R)$, где R — некоторое положительное число, в E и ограничен; для любой непрерывной в E_A и непрерывно дифференцируемой в E вектор-функции $u(t)$ вектор-функция $f(t, u(t))$ непрерывно дифференцируема; для любой пары таких

функций $u_1(t), u_2(t)$, причем удовлетворяющих оценке $\|A(0)u(t)\| + \left\| \frac{du(t)}{dt} \right\| \leq R$ имеет место неравенство

$$\begin{aligned} \left\| \frac{d}{dt} [f(t, u_1(t)) - f(t, u_2(t))] \right\| &\leq C(R) \left[\|A(0)[u_1(t) - u_2(t)]\| + \right. \\ &\quad \left. + \left\| \frac{du_1(t)}{dt} - \frac{du_2(t)}{dt} \right\| \right]. \end{aligned}$$

Отметим, что условие 2° по существу является условием дифференцируемости сложной функции $f(t, u(t))$. Это, как хорошо известно, имеет место, например, если оператор $f(t, u)$ по t, u имеет непрерывные производные Фреше. Но, так как исходное банахово пространство E комплексно, то последнее означало бы, что $f(t, u)$ по u является аналитической, что является очень ограничительным условием для наших целей. С другой стороны, так как u берется из плотного множества $L(A)$, то на первый взгляд не ясно, как можно добиться дифференцируемости сложной функции $f(t, u(t))$, исходя из наличия производной $f_u(t, u)$ только для элементов $u \in L(A)$. Поэтому мы сформулируем одну лемму, которая по нашему мнению, имеет и самостоятельный интерес.

Пусть G, \tilde{G}, F — банаховы пространства (вещественные или комплексные), причем имеет место топологическое включение $G \subset \tilde{G}$. Пусть S — некоторая область в G . Через $B(G, F)$ будем обозначать нормированное кольцо линейных ограниченных операторов, действующих из G в F .

Определение. Пусть оператор $f(u)$, действующий из S в F , имеет в точке $u_0 \in S$ производную Фреше $Lf(u_0)$, причем оператор $Df(u_0)$, очевидно, принадлежащий $B(G, F)$ можно продолжить так, что его расширение $\tilde{D}f(u_0)$ принадлежит $B(\tilde{G}, F)$. Тогда $\tilde{D}f(u_0)$ назовём \tilde{G} — расширенной производной Фреше в точке u_0 от оператора $f(u)$.

Пусть оператор $f(u)$, действующий из S в F , имеет \tilde{G} — расширенную производную Фреше в каждой точке области S . Тогда ясно, что оператор $\tilde{L}f(u)$ действует из S в $B(\tilde{G}, F)$. Имеет место следующая

Лемма 1. Пусть оператор $f(t, u)$, действующий из $[a, b] \times S$ (S — выпуклая область в G) в F , имеет сильно непрерывную и сильно ограниченную \tilde{G} — расширенную производную Фреше $\tilde{D}_u f(t, u)$ и сильно непрерывную производную $D_t f(t, u)$. Далее, пусть вектор-функция $u(t)$ со значениями из S является в метрике G непрерывной, а в метрике \tilde{G} непрерывно дифференцируемой на $[a, b]$.

Тогда вектор-функция $f(t, u(t))$ имеет в метрике F непрерывную производную на $[a, b]$ и верна формула

$$\frac{df(t, u(t))}{dt} = D_t f(t, u(t)) + \tilde{D}_u f(t, u(t)) \frac{du(t)}{dt}.$$

1 Напомним, что оператор $\tilde{D}_u f(t, u)$, действующий из $[a, b] \times S$ в $B(\tilde{G}, F)$ называется сильно непрерывным (сильно ограниченным), если при любом $V \in \tilde{G}$ оператор $\tilde{D}_u f(t, u)V$ действующий из $[a, b] \times S$ в F непрерывен (ограничен).

Применим эту лемму к исследованию уравнения (1). Пусть $G=E_A$, $\tilde{G}=F=E$. Тогда из леммы I можно получить удобное достаточное условие, при котором имеет место 2° .

Лемма 2. Если оператор $f(t, u)$, действующий из $[0, T] \times S_A(0, R)$ в E , имеет сильно непрерывную и сильно ограниченную E -расширенную производную² Фреше $\tilde{D}_u f(t, u)$ и непрерывную производную Фреше $D_t f(t, u)$, которые удовлетворяют по u условию Липшица, т. е. при любых $t \in [0, T]$; $u_1, u_2 \in S_A(0, R)$ имеют место неравенства

$$\begin{aligned} \|\tilde{D}_u f(t, u_1) - \tilde{D}_u f(t, u_2)\|_{B(E)} &\leq C \|u_1 - u_2\|_A, \\ \|D_t f(t, u_1) - D_t f(t, u_2)\|_E &\leq C \|u_1 - u_2\|_A, \end{aligned}$$

то имеет место 2° .

Теорема 1. Пусть выполнены условия 1° и 2° . Далее, пусть

$$u_0 \in D(A) \text{ и } \|A(t_0)u_0\| + \|f(t_0, u_0)\| < R_1, \text{ где } R_1 < \frac{R}{3(1 + \max_{0 \leq t < T} \|A(0)A^{-1}(t)\|)}$$

Тогда задача (1) имеет единственное решение на некотором отрезке $[t_0, t_0+h] \subset [0, T]$, которое может быть найдено методом последовательных приближений².

Доказательство. Из результатов [1, 2] и условия 2° вытекает, что нахождение решения задачи (1) на отрезке $[t_0, T]$ эквивалентно нахождению решения интегрального уравнения

$$u(t) = U(t, t_0)u_0 + \int_{t_0}^t U(t, \tau)f(\tau, u(\tau))d\tau,$$

в шаре $S_A^1(0, R, [t_0, T])$ пространства $C_A^1[t_0, T]$, где $U(t, \tau)$ функция Като оператора $A(t)$. Через $C_A^1[t_0, T]$ обозначено банахово пространство непрерывно дифференцируемых вектор-функций $u(t)$, для которых $A(t)u(t)$ непрерывна на $[t_0, T]$, с нормой $\|u(\cdot)\|_A = \max_{t_0 \leq t \leq T} (\|A(t)u(t)\| + \left\| \frac{du(t)}{dt} \right\|)$. Далее, рассматривается множество $\tilde{S}_A^1(0, R_1, [t_0, t_0+h]) = \{u(\cdot) \in S_A^1(0, R_1, [t_0, t_0+h]); u(t_0) = u_0\}$. Доказывается, что при некотором $h > 0$ к оператору $z(\cdot) = [B u](\cdot)$, определяемому равенством $z(t) = [Bu](t) = U(t, t_0)u_0 + \int_{t_0}^t U(t, \tau)f(\tau, u(\tau))d\tau$, в множестве $\tilde{S}_A^1(0, R_1, [t_0, t_0+h])$ пространство $C_A^1[t_0, t_0+h]$ применим принцип сжатых отображений.

Нами доказана разрешимость задачи (1) в „малом“. Чтобы разрешимость в „малом“ при наличии априорных оценок обеспечила разрешимость в „большом“ необходимо установить несколько больше, а именно, что для всех начальных данных u_0 , взятых из фиксированного шара пространства E_A , длина отрезка, где установлена разрешимость в „малом“, не зависит от t_0 .

Теорема 2. Пусть выполнены условия 1° и 2° , причем условие 2° имеет место при любом R с константой C , зависящей от R .

² Отметим, что условия 1° и 2° достаточно сформулировать на отрезке $[t_0, T]$, а не $[0, T]$.

Тогда, для любого $r > 0$ существует $h(r) > 0$ такое, что при всех начальных данных (t_0, u_0) , для которых $t_0 \in [0, T]$, $u \in L(A)$ и $\|A(t_0)u_0\| \leq r$, задача (1) имеет единственное решение на $[t_0, t_0+h(r)] \subset [0, T]$.

Теорема 3. Пусть выполнены условия 1° и 2° причем условие 2° имеет место при любом R , с константой C , зависящей от R . Пусть, далее 3° для всех непрерывных в E_A и непрерывно дифференцируемых в E вектор-функций $u(t)$, для которых $\|u(t)\| \leq R$ имеет место неравенство

$$\left\| \frac{d}{dt} f(t, u(t)) \right\| \leq C(R) \left(1 + \left\| \frac{du(t)}{dt} \right\| + \|A(t)u(t)\| \right),$$

4° при всех $t \in [0, T]$, $u \in D(A)$ имеет место неравенство

$$\|f(t, u)\| \leq C(1 + \|u\|)$$

(или $Re(f(t, u), u) \leq C(1 + \|u\|^2)$, если E -гильбертово пространство).

Тогда задача (1) имеет единственное решение на $[t_0, T]$.

В классе обобщенных решений локальные и нелокальные теоремы доказываются при меньших ограничениях на оператор $f(t, u)$.

Непрерывную функцию $u(t)$, удовлетворяющую уравнению

$$u(t) = U(t, t_0)u_0 + \int_{t_0}^t U(t, \tau)f(\tau, u(\tau))d\tau,$$

назовем обобщенным решением задачи (1).

Теорема 4. Пусть выполнено условие 1° . Пусть далее, $2'$ для любых непрерывных вектор-функций $u_1(t)$, $u_2(t)$, для которых $\|u_i(t)\| \leq R$, имеет место неравенство

$$\|f(t, u_1(t)) - f(t, u_2(t))\| \leq C \|u_1(t) - u_2(t)\|.$$

$3'$ $u_0 \in E$, $\|u_0\| < R$.

Тогда задача (1) имеет единственное обобщенное решение на некотором отрезке $[t_0, t_0+h] \subset [0, T]$, которое может быть найдено методом последовательных приближений.

Теорема 5. Пусть выполнено условие 1° и $2'$ теоремы 4, причем условие $2'$ имеет место при любом R , с константой C , зависящей от R . Пусть, далее

$4'$ при всех $t \in [0, T]$, $u \in E$ имеет место неравенство

$$\|f(t, u)\| \leq C(1 + \|u\|)$$

(или $Re(f(t, u), u) \leq C(1 + \|u\|^2)$, если E -гильбертово пространство).

Тогда задача (1) имеет единственное обобщенное решение на $[t_0, T]$.

В работах [4, 5] доказана разрешимость в целом для задачи (1) при других предположениях.

2. В качестве приложения рассмотрим в ограниченном цилиндре $Q = [t_0 \leq t \leq T] \times \Omega$, где Ω —область изменения $x = (x_1, \dots, x_n)$ в R^n ($n \leq 3$), первую краевую задачу для уравнения Шредингера

$$\begin{aligned} \frac{du(t, x)}{dt} + i \left[\sum_{i,j=1}^n \frac{\partial (a_{ij}(t, x) \frac{\partial u(t, x)}{\partial x_i})}{\partial x_j} + a(t, x) u(t, x) \right] &= \\ &= f(t, x, u(t, x), |u(t, x)|^2) \end{aligned} \quad (2)$$

с условиями

$$u(t, x)|_{t=t_0} = u_0(x), \quad u(t, x)|_{\Gamma} = 0 \quad (3)$$

Применяя результаты [6] и теорему 1 данной заметки доказывается следующая

Теорема 6. Пусть выполняются следующие условия:
а) коэффициенты a_{ij} и a вещественны, причем $a_{ij} = a_{ji}$;

$\sum_{i,j=1}^n a_{ij}(t,x)\xi_i \xi_j \geq a \sum_{i=1}^n \xi_i^2$, где $a = \text{const} > 0$, при всех действительных

ξ_1, \dots, ξ_n ; функции $a_{ij}, \frac{\partial a_{ij}}{\partial x_i}$, а и их производные первого порядка по t

непрерывны в $\bar{\Omega}$; граница Γ области Ω дважды ограничено дифференцируема;

б) функция $f(t,x,u,r)$ непрерывна вместе со своими производными по t , u , r в области $|t_0| \leq t \leq T, x \in \bar{\Omega}, |u| \leq R_1, 0 \leq r \leq R_2$, где R_1, R_2 — некоторые положительные числа, причем эти производные удовлетворяют по u, r условию Липшица;

в) $u_0(x) \in W_{2,0}^2(\Omega)^3$, $\|u_0(x)\|_{W_2^2}, \|f(t_0, x, u_0(x), |u_0(x)|^2)\|_2$ — достаточно малые величины⁴.

Тогда, при некотором $h < 0$ задача (2)–(3) имеет единственное решение в цилиндре $Q_1 = [t_0 \leq t \leq t_0 + h] \times \Omega$.

Применяя теорему 3, доказываем нелокальную теорему существования и единственности.

Теорема 7. Пусть выполняется условие а) теоремы 6. Пусть далее б') $f(t,x,u,r) = \Phi(t,x,u)$ непрерывна вместе со своими производными по t , u в области $|t_0| \leq t \leq T, x \in \bar{\Omega}, |u| < \infty$, причем $|\Phi'_t(t, x, u)| \leq M$, $|\Phi'_u(t, x, u)| \leq M$.

в') $u_0(x) \in W_{2,0}^2(\Omega)$.

Тогда задача (2)–(3) имеет единственное решение в цилиндре $Q = [t_0 \leq t \leq T] \times \Omega$.

ЛИТЕРАТУРА

1. Красносельский М. А., Клейн С. Г., Соболевский П. Е. ДАН СССР, 1956, 111, № 1, 2. Камо Т. Math. J. Soc. Japan № 5, 1953. 3. Phillips. Trans. of the Am. Math. Soc., 90, № 2, 1959. 4. Browder F. E. Ann. of Math., 80, № 3, 1964. 5. Browder. Ann. of Math., 82, № 1, 1965. 6. Ладыженская О. А. ДАН СССР, 1951, т. 79, № 5.

Институт математики и механики

Поступило 1. II 1966

С. Я. Якубов

Абстракт фазаларда квази-хэти дифференциал тэнликлэр һагында

ХУЛАСЭ

Мэглэдэ [1] Коши мэсэлэснин комплекс E банах фазасында һэллиний варлыгы вэ јеканэлийн өјренилир. Локал вэ гејри-локал варлыг вэ јеканэлик теоремлэри ишбат олунур. Мэглэснин сонунда албана абстракт нэтичэлэр, квази-хэти Шредингер тэнлижи учун ғојулмуш сэрхэдд мэсэлэснин варлыгы вэ јеканэлийн учун тэтбиг олунур.

⁴ Через $W_{2,0}^2(\Omega)$ обозначено подпространство $W_2^2(\Omega)$, плотным множеством в котором являются все дважды непрерывно дифференцируемые в $\bar{\Omega}$ функции, обращающиеся в нуль на контуре Γ .

Ради краткости опускаем оценки для этих величин.

ОБ УРАВНЕНИЯХ $v'(t) + A(t)v(t) = f(t)$

В ГИЛЬБЕРТОВОМ ПРОСТРАНСТВЕ С ПОЛОЖИТЕЛЬНО ОПРЕДЕЛЕННЫМ САМОСОПРЯЖЕННЫМ ОПЕРАТОРОМ

$A(t)$, ИЗМЕРИМО ЗАВИСЯЩИМ ОТ t

(Представлено академиком АН Азербайджанской ССР З. И. Халиловым)

1. Рассматривается задача

$$v'(t) + A(t)v(t) = f(t) \quad (0 \leq t \leq T), \quad v(0) = v_0 \quad (1)$$

в гильбертовом пространстве H . Абсолютно непрерывная на $[0, T]$ функция $v(t)$ называется сильным обобщенным решением задачи (1), если она почти при всех t удовлетворяет уравнению и начальному условию (1) и если функции $v'(t)$ и $A(t)v(t)$ сильно измеримы, а их нормы интегрируемы с квадратом, т. е. если $v'(t)$ и $A(t)v(t)$ принадлежат пространству Бехнера $B_2 = B_2([0, T], H)$. Как известно, B_2 — гильбертово пространство со скалярным произведением и нормой

$$[v(t), w(t)] = \int_0^T (v(t), w(t)) dt, \quad \|v(t)\|^2 = \int_0^T \|v(t)\|^2 dt,$$

где (v, w) и $\|v\|$ — скалярное произведение и норма в H .

Пусть при каждом $t \in [0, T]$ оператор $A(t)$ самосопряжен, положительно определен и имеет не зависящую от t область определения D_1 . Как показал Е. Гайнц, области определения D_ρ ($0 \leq \rho \leq 1$) операторов $A^\rho(t)$ (положительных дробных степеней оператора $A(t)$) не зависят от t .

Пусть оператор-функция $A(t)A^{-1}(0)$ непрерывна по t в смысле нормы операторов.

Тогда при любой функции $f(t) \in B_2$ и любом элементе $v_0 \in D_1$ существует единственное сильное обобщенное решение задачи (1).

Этот результат установлен в [1]. В настоящей статье показывается, как получить такой же результат в предположении одной лишь сильной измеримости оператор-функции $A(t)A^{-1}(0)$. При этом дополнительно предполагается, что операторы $A(t)$ и $A(0)$ образуют острый угол (см. [2]).

Пусть область определения оператора $A(t)$ переменна и лишь оператор $A^{\frac{1}{2}}(t)$ имеет не зависящую от t область определения $D_{\frac{1}{2}}$. Тогда оператор $A^{\frac{1}{2}}(t)A^{-\frac{1}{2}}(0)$ ограничен, а оператор $A^{-\frac{1}{2}}(0)A^{\frac{1}{2}}(t)$ допускает замыкания до ограниченного оператора $A^{-\frac{1}{2}}(0)A^{\frac{1}{2}}(t)$. Функцию $v(t)$ назовем слабым обобщенным решением задачи (1), если она при почти всех t удовлетворяет соотношениям

$$[A^{-\frac{1}{2}}(0)v(t)]' + A^{-\frac{1}{2}}(0)A^{\frac{1}{2}}(t)A^{\frac{1}{2}}(t)v(t) = A^{-\frac{1}{2}}(0)f(t) \quad (0 \leq t \leq T), \quad v(0) = v_0. \quad (2)$$

Функция $A^{-\frac{1}{2}}(0)v(t)$ абсолютно непрерывна, а функции $[A^{-\frac{1}{2}}(0)v(t)]'$ и $A^{\frac{1}{2}}(0)v(t)$ принадлежат B_2 .

В статье показывается, как доказать существование слабого решения задачи (1) в предположении одной лишь сильной измеримости оператор-функции $A^{\frac{1}{2}}(t)A^{-\frac{1}{2}}(0)$.

Отметим, наконец, что приводимые в статье результаты были получены в 1957—1958 гг. (см. [3]).

2. Рассмотрим сначала сильные обобщенные решения задачи (1).

Теорема 1. Пусть оператор-функция $A(t)A^{-1}(0)$ сильно измерима. Пусть она равномерно ограничена:

$$\|A(t)A^{-1}(0)\| \leq c_1 < \infty \quad (3)$$

Пусть для любого $v \in D_1$ справедливо неравенство

$$(A(t)v, A(0)v) \geq \delta \|A(0)v\|^2 \quad (0 < \delta \leq 1). \quad (4)$$

Тогда при любой функции $f(t) \in B_2$ и любом элементе $v_2 \in D_{\frac{1}{2}}$ задача (1) имеет единственное сильное обобщенное решение.

Доказательство. Достаточно рассмотреть случай $v(0)=0$, так как общий случай сводится к этому заменой $v(t)=w(t)+\exp(-tA(0))v_0$. Итак, пусть $v(0)=0$. Обозначим через S_1 множество всех абсолютно непрерывных функций $v(t)$, удовлетворяющих условиям: $v(0)=0$, $v'(t) \in B_2$, $A(0)v(t) \in B_2$. Множество S_1 плотно в B_2 , и оператор $z_{0,1}v \equiv v'(t) + kA(0)v(t)$ при любом $k > 0$ отображает S_1 взаимно однозначно на B_2 . Рассмотрим на S_1 оператор $Z_1v \equiv v'(t) + A(t)v(t)$. В силу (4) при достаточно большом $k > 0$ справедливо неравенство

$$[L_1v, L_{01}v] \geq M_1([v'(t)]^2 + [A(0)v]^2) \quad (M_1 = M_1(k) > 0). \quad (5)$$

Воспользовавшись (3), получим далее, что

$$[L_1v]^2 \leq N_1([v'(t)]^2 + [A(0)v]^2) \quad (N_1 = N_1(C_1) < \infty). \quad (6)$$

Неравенство (5) означает, что операторы L_1 и L_{01} образуют острый угол, а из (5) и (6) следует, что множество значений оператора L_1 замкнуто. Отсюда и из теоремы об операторах, образующих острый угол, вытекает, что уравнение $L_1v = f$ разрешимо при любом f из B_2 .

Теорема доказана.

Аналогично можно доказать разрешимость более общей, чем (1), задачи

$$v'(t) + A_1(t)v(t) + F(t)v(t) = f(t) \quad (0 \leq t \leq T), \quad v(0) = v_0, \quad (7)$$

если $F(t)$ при каждом t из $[0, T]$ замкнутый оператор, область определения которого $D(F(t))$ содержит D_1 ; оператор-функция $F(t)A^{-1}(0)$ сильно измерима; для любого $v \in D_1$ справедливо неравенство

$$\|F(t)v\| \leq \delta_1 \|A(t)v\| + C_2 \|v\| \quad (0 \leq \delta_1 < \delta, 0 \leq C_2 < \infty). \quad (8)$$

3. Рассмотрим теперь слабые обобщенные решения задачи (1).. Справедлива

Теорема 2. Пусть оператор-функция $A^{\frac{1}{2}}(t)A^{-\frac{1}{2}}(0)$ сильно измерима. Пусть оператор-функция $A^{\frac{1}{2}}(t)A^{-\frac{1}{2}}(\tau)$ равномерно ограничена:

$$\|A^{\frac{1}{2}}(t)A^{-\frac{1}{2}}(\tau)\| \leq C_{\frac{1}{2}} < \infty. \quad (9)$$

Тогда при любой функции $f(t)$, такой, что $A^{-\frac{1}{2}}(0)f(t) \in B_2$, и любом элементе $v_0 \in H$ задача (1) имеет единственное слабое обобщенное решение.

Доказательство. Обозначим через $S_{\frac{1}{2}}$ множество функций

$v(t)$, удовлетворяющих условиям: $v(0) = 0$, $A^{-\frac{1}{2}}(0)v(t)$ — абсолютно непрерывна, $[A^{-\frac{1}{2}}(0)v(t)]'$ и $A^{\frac{1}{2}}(0)v(t)$ принадлежат B_2 . Это множество плотно в B_2 и взаимно однозначно отображается на B_2 оператором $[A^{-\frac{1}{2}}(0)v(t)]' + kA^{\frac{1}{2}}(0)v(t) \equiv Z_{0,\frac{1}{2}}v$ при любом $k > 0$. Легко видеть, что

$$\text{при любом } v \in D_{\frac{1}{2}}, \quad (A^{\frac{1}{2}}(0)v, A^{\frac{1}{2}}(0)A^{\frac{1}{2}}(t)A^{\frac{1}{2}}(t)v) = \|A^{\frac{1}{2}}(t)v\|^2. \quad (10)$$

Отсюда следует, что при достаточно большом $k > 0$ операторы

$z_{0,\frac{1}{2}}v$ и $Z_{\frac{1}{2}}v \equiv [A^{-\frac{1}{2}}(0)v(t)]' + A^{-\frac{1}{2}}(0)A^{\frac{1}{2}}(t)A^{\frac{1}{2}}(t)v(t)$ образуют на $S_{\frac{1}{2}}$ острый угол:

$$\begin{aligned} [Z_{\frac{1}{2}}v, Z_{0,\frac{1}{2}}v] &\geq M_{\frac{1}{2}} (I[A^{-\frac{1}{2}}(0)v(t)]' I + IA^{\frac{1}{2}}(0)v(t)I^2) (M_{\frac{1}{2}} = \\ &= M_{\frac{1}{2}}(k) > 0). \end{aligned} \quad (11)$$

Далее, из (9) следует неравенство

$$\begin{aligned} IZ_{\frac{1}{2}}vI^2 &\leq N_{\frac{1}{2}} (I[A^{-\frac{1}{2}}(0)v(t)]' I^2 A^{\frac{1}{2}}(0)v(t)I^2) (N_{\frac{1}{2}} = \\ &= N_{\frac{1}{2}}(C_1) < \infty). \end{aligned} \quad (12)$$

Из (11) и (12) вытекает, что оператор $L_{\frac{1}{2}}$ имеет замкнутую область значений. Осталось применить теорему об операторах, образующих острый угол.

Теорема 2 доказана.

Аналогично можно доказать слабую разрешимость задачи (7), если $D(F(t)) \supset L(A(t))$; для любого $v \in D(A(t))$ справедливо неравенство

$$| (F(t)v, v) | \leq \varepsilon (A(t)v, v) + C_4(v, v) (0 \leq \varepsilon < 1, 0 \leq C_4 < \infty); \quad (13)$$

оператор $A^{-\frac{1}{2}}(0)F(t)A^{-\frac{1}{2}}(0)$ сильно измерима,

4. Недавно были изучены задачи (1) (и (7)) (см. напр. [4]) в базаховом пространстве и доказано существование их обобщенных решений в предположении непрерывности оператор-функции $A(t)A^{-1}(0)$. Возникает вопрос о том, можно ли в теоремах существования отказатьься и от этого остатка гладкости, как это было сделано выше для случая уравнений с самосопряженным оператором в гильбертовом пространстве. Подобный результат имел бы важное значение в теории нелинейных уравнений.

ЛИТЕРАТУРА

1. Соболевский П. Е. ДАН СССР*, № 6, 122, 1958.
2. Соболевский П. Е. ДАН СССР*, 1957, 116, № 5.
3. Соболевский П. Е. О дифференциальных уравнениях параболического типа в гильбертовом пространстве и о приближенном решении методом Бубнова—Галеркина. Канд. дисс. Л., 1958.
4. Соболевский П. Е. ДАН СССР*, 1964, 157, № 3.

Воронежский сельскохозяйственный институт

Поступило 28. VIII 1965

П. Я. Соболевский

Нилберт фазасында t дәжишенинә нәзәрән өлчүлән вә мүсбәт мүэjjән, өз-өзүнә гошма $A(t)$ операторлу

$$V'(t) + A(t)V(t) = f(t)$$

тәнлиji һагында

ХУЛАСӘ

Мәгәләнин адында көстәрилән тәнлик үчүн гојулмуш Коши мәсәләсинин һәлли тәдгиг едилir.

Бу саһәjә hәср олунмуш мә'лум нәтичәләрдән фәргли олараг, мәгәләдә $A(t)$ операторунун t дәжишенинә нәзәрән өлчүлән налына ба-хылыр.

С. И. САДЫХ-ЗАДЕ, Р. А. ДЖАЛИЛОВ

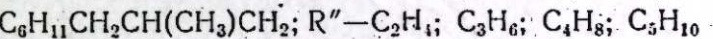
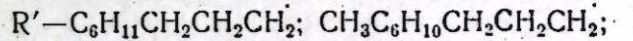
СВОБОДНОРАДИКАЛЬНОЕ ПРИСОЕДИНЕНИЕ АЛИФАТИЧЕСКИХ КИСЛОТ К АЛЛИЛ-, МЕТИЛАЛЛИЛЦИКЛОГЕКСАНУ И МЕТАЛЛИЛЦИКЛОГЕКСАНУ (СИНТЕЗ ИНДИВИДУАЛЬНЫХ НАФТЕНОВЫХ КИСЛОТ)

(Представлено академиком АН Азербайджанской ССР М. Ф. Нагиевым)

В предыдущей статье [1] сообщалось о свободно-радикальном присоединении алифатических кислот к 1-винил-циклогексену.

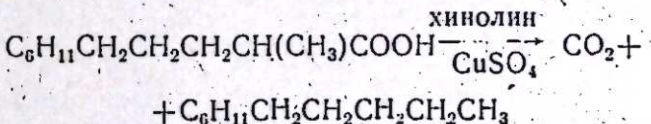
В настоящем сообщении приводятся результаты свободнорадикального присоединения алифатических кислот к аллил-, метилаллилциклогексану и металлилциклогексану в присутствии ДТБП* с образованием продуктов общей формулы: $R'R''COOH$,

где



В результате проведенных исследований установлено, что выходы аддуктов 1:1 в случае аллилциклогексана почти в 2 раза больше, чем для металлилциклогексана, что и следовало ожидать. Полученные нафтеновые кислоты легко этерифицируются с образованием соответствующих эфиров.

Порядок присоединения кислот к исследуемым олефинам доказывался путем декарбоксилирования их в присутствии хинолина до соответствующих алкилцикланов известного строения по схеме:



* ДТБП—дитретично-бутила перекись.

ЭКСПЕРИМЕНТАЛЬНАЯ ЧАСТЬ

α -метил- δ -циклогексил-валериановая кислота (I)

К 111 г пропионовой кислоты при 140° в течение 6 ч добавляют смесь 12,4 г аллилциклогексана и 4,5 г ДТБП. Смесь нагревают еще 1 ч, отгоняют продукты распада перекиси и не вошедшие в реакцию продукты; остаток разгоняют в вакууме (3 мм).

В аналогичных условиях получены соединения (II—XIII):

α -этил- δ -циклогексил валериановая кислота II

α -*i*-пропил- δ -циклогексил валериановая кислота III

α -пропил- δ -циклогексил валериановая кислота IV

α -бутил- δ -циклогексил валериановая кислота V

α -метил- δ -метилциклогексил валериановая кислота VI

α -пропил- δ -метилциклогексил валериановая кислота VII

α -бутил- δ -метилциклогексил валериановая кислота VIII

α , γ -диметил- δ -циклогексил валериановая кислота IX

α -этил, γ -метил- δ -циклогексил валериановая кислота X

α -пропил, γ -метил- δ -циклогексил валериановая кислота XI

α -изопропил- γ -метил- δ -циклогексил валериановая кислота XII

α -бутил, γ -метил- δ -циклогексил валериановая кислота XIII

Этиловый эфир α -этил- δ -циклогексил-валериановая кислота (XIV)

Смесь из 6 г (II), 20 мл этилового спирта и 5 мл 96% H_2SO_4 нагревалась на кипящей водяной бане в течение 40 мин, после чего было добавлено 50 мл воды. Эфирный слой отделялся, промывался водой, сушился. Остаток после отгонки эфира перегонялся в вакууме (4 мм). Выход 6 г (90%).

Т. кип. 145° , d_4^{20} 0,9055; n_D^{20} 1,4500; $MR_{\text{вып.}}$ — 70,83; $MR_{\text{найд.}}$ 70,92.

Найдено, % C 74,00 11,43. Вычислено, % C 75,00; H 11,66.

Амилциклогексан (XV)

а) Декарбоксилированием 6 г (I) в присутствии 12 г хинолина и 1 г $CuSO_4$ при температуре 360° было получено 3 г (50%) (XV).

Т. кип. $118-120^\circ C/40$ мм, d_4^{20} 0,8700; n_D^{20} 1,4690 $MR_{\text{найд.}}$ 49,29, Выч. 50,80

Найдено, % C 85,87; H 13,51

Вычислено, % C 85,72; H 14,28

б) К Гриньярову реагенту, полученному из 7 г Mg в абсолютном эфире и 37 г хлорциклогексана было добавлено 10 г н-амилхлорида. После обычной обработки и перегонки получено 3 г (21%) амилциклогексана.

Т. кип. $114/20$ мм; d_4^{20} 0,8712; n_D^{20} 1,4770 $MR_{\text{вып.}}$ 50,80; $MR_{\text{найд.}}$ 49,93

Найдено, % C 85,63; H 13,70

Вычислено, % C 85,72; H 14,28

Проведено свободнорадикальное присоединение алифатических кислот к аллил- и металлилциклогексану и метилаллилциклогексану с целью синтеза производных нафтеновых кислот.

ЛИТЕРАТУРА

Садых-заде С. И., Джалилов Р. А. ЖОРХ (в печати).

СФИНХП

Поступило 17. II 1966.

Таблица
Продукты конденсации аллил-, м-метилаллилциклогексана и металлилциклогексана с алифатическими кислотами

№ соедин.	Соединение	Выход, %	Т. кип. м.м.	d_4^{20}	n_D^{20}	найд.	выч.	MR	Найдено, %			Вычислено, %			Брутто-формула	
									С		H					
									C	H	C	H				
I	<chem>*C(C(=O)O)C1=CC=C1</chem>	30	150-1/3 0,9685	1,4635	56,36	56,90	72,91	11,26	72,72	11,26	73,58	j	11,32	<chem>C12H23O2</chem>		
II	<chem>*C(C(=O)O)C1=CC=C1</chem>	50	155-6/2 0,9532	1,4628	61,24	61,57	73,07	11,00	73,52	[74,34] ^a	11,50	<chem>C11H23O2</chem>				
III	<chem>*C(C(=O)O)C1=CC=C1</chem>	30	165/3 0,9615	1,4680	65,34	65,19	73,89	11,52	"74,34" ^b	11,50	<chem>C11H23O2</chem>					
IV	<chem>*C(C(=O)O)C1=CC=C1</chem>	72,7	166-7/2 0,9580	1,4638	65,15	74,33	11,53	11,53	"74,34" ^c	11,50	<chem>C11H23O2</chem>					
V	<chem>*C(C(=O)O)C1=CC=C1</chem>	62,6	180/1,5 0,9454	1,4648	70,15	70,80	74,00	11,26	75,00	11,66	<chem>C13H29O2</chem>					
VI	<chem>*C(C(=O)O)C1=CC=C1</chem>	30	158-9/3 0,9790	1,4690	60,28	60,57	73,63	11,82	73,59	11,32	<chem>C13H24O2</chem>					
VII	<chem>*C(C(=O)O)C1=CC=C1</chem>	64	170-1/2 0,9510	1,4648	70,15	70,80	74,35	11,76	75,00	11,66	<chem>C15H29O2</chem>					

Окончание таблицы

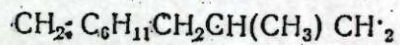
1	2	3	4	5	6	7	8	9	10	11	12	13
VII	<chem>Cc1ccccc1CC(C)c2ccccc2C(=O)O</chem>	40	183/3	0.9485	1.4673	75.20	75.42	75.94	11.73	75.58	11.81	<chem>C16H30O2</chem>
IX	<chem>Cc1ccccc1CC(C)c2ccccc2C(=O)OCC3C</chem>	27	143/2	0.9680	1.4695	61.04	60.56	72.53	10.88	73.59	11.32	<chem>C13H24O2</chem>
X	<chem>Cc1ccccc1CC(C)c2ccccc2C(=O)OCC3C(C)C</chem>	30	151-2/2	0.9595	1.4714	65.88	66.18	74.35	11.76	74.33	11.50	<chem>C14H26O2</chem>
XI	<chem>Cc1ccccc1CC(C)c2ccccc2C(=O)OCC3C(C)C(C)C</chem>	28	162-3/2	0.9590	1.4735	70.42	70.60	74.07	11.43	75.00	11.56	<chem>C15H28O2</chem>
XII	<chem>Cc1ccccc1CC(C)c2ccccc2C(=O)OCC3C(C)C(C)C(C)C</chem>	25	155/3	0.9710	1.4808	70.31	70.80	[74.00]	11.40	75.00	11.56	<chem>C15H32O2</chem>
XIII	<chem>Cc1ccccc1CC(C)c2ccccc2C(=O)OCC3C(C)C(C)C(C)C(C)</chem>	26	167-8/2	0.9550	1.4710	74.82	75.39	74.94	11.74	75.58	11.81	<chem>C16H36O2</chem>

С. И. Садыгзадэ, Р. А. Чэлилов

**Алифатик туршуларын аллил-метилаллилсиклоіексан
ва металлилсиклоіексана сәрбәст радикал реаксијасы
үзрә бирләшдирилмәсі**

ХУЛАСӘ

Мәғаләдә алифатик туршуларын үчлү бутил переоксидинин иштиракы үлә алкинилсиклоіексан карбоидрокеңләринә бирләшмә реаксијасы өјрәнилмишdir. Апарылан тәдгигат нәтичесинде үмуми формулалысы $R'K''COOH$ олан индивидуал нафтен туршуларынын синтез үсулутәклиф едилмишdir. Бурада $R_1 = C_6H_{11}CH_2CH_2CH_2; CH_3C_6H_{10}CH_2CH_2$



$R'' = C_2H_4; C_2H_6; C_4H_8; C_5H_{10}$ -дан ибарәтдир.

МЕДИЦИНА

С. А. АСЛАН-ЗАДЕ

ФУНКЦИОНАЛЬНОЕ СОСТОЯНИЕ ЦЕНТРАЛЬНОЙ НЕРВНОЙ
СИСТЕМЫ ПРИ КОРОНАРНОЙ НЕДОСТАТОЧНОСТИ

(Представлено академиком АН Азербайджанской ССР М. А. Топчубашевым)

В настоящее время считают, что в патогенезе стенокардии и инфаркта миокарда важную роль играет расстройство нервной регуляции венечного кровообращения, причиной которого чаще всего является нарушение динамики первых процессов в коре головного мозга (В. Е. Незлин [10], Г. А. Глезер [4,5], З. И. Янушкевичус [14], Б. И. Ильинский [7], К. Н. Замыслова и Л. П. Бондарь [6]).

Известно, что о состоянии венечных артерий и коронарного кровоснабжения судят на основе клинических данных и электрокардиографической картины, но наиболее точным методом изучения состояния регуляции всей сосудистой системы является исследование сосудистых реакций (Л. М. Раухли и др. [12]).

Сосудистые реакции находятся в тесной взаимосвязи с нервной системой, поэтому нервные расстройства проявляются разного рода вазомоторными изменениями (В. А. Вальдман, [3]).

В нашем предварительном сообщении (см. материалы 3-й годовой научной сессии Азерб. ИЭКМ АМН СССР, 1965) отмечено, что с целью уточнения функционального состояния центральной нервной системы и нервно-сосудистого аппарата при коронарной болезни исследовался характер сосудистых реакций, их корково-подкоркового компонента в сочетании с изучением клинической картины нарушения венечного кровообращения, нами применялись электрографические методики — электрокардиография, электроэнцефалография, артериопьезография, электроплетизмография с применением безусловного раздражителя.

Ознакомившись с историей развития плеизмографии хочется отметить, что применяемый нами трехканальный чешский электроемкостный плеизмограф „ПРЕМА“ является наиболее совершенным, т. к. при использовании данного прибора нет необходимости помещать исследуемые органы в замкнутое пространство; достаточно ввести их в электростатическое поле конденсатора, одним электродом которого служит исследуемая ткань. В этих приборах исследуемая часть выполняет роль одной из пластин конденсатора. Одна помещается в покрытом диэлектриком металлическом кольце, представляющим со-

бой вторую пластину конденсатора, отделенную от первой воздушным зазором. При изменении кровенаполнения тканей (следовательно и их объема) вследствие пульсации и сужения или расширения сосудов уменьшается или увеличивается воздушный зазор между двумя пластинами конденсатора (поверхностью исследуемой части тела и металлическим кольцом), а следовательно и емкостью конденсатора (Е. Б. Бабский [2]).

В настоящей методике отпадает проблема герметизации, потому что герметическое закрытие исследуемого органа нарушает кровообращение в нем, исследуемый орган подвергается нежелательным влияниям температуры и давления. При этом во время записи исследуемый орган находится в нормальных физиологических условиях. Оценка является количественной, т. к. измеряются действительные изменения объема. Исследование можно проводить на различных частях тела. Мы исследовали пальцы руки, исходя из того, что пальцевая плеизмография позволяет записывать самые незначительные колебания объемного пульса. При этом методе регистрируется реакция только кожных сосудов, чувствительных к колебаниям симпатического тонуса, устраивается воздействие меняющейся температуры среды на сосудистые рецепторы. Безинертная регистрация позволяет записывать самые незначительные колебания объемного пульса (З. И. Янушкевичус [14]).

Появление плеизмографов для пальцев и других небольших участков тела дало возможность совершенствовать способы передачи и регистрации объемных изменений, производить более строгий анализ плеизмограмм и использовать плеизмографию в физиологических и клинических исследованиях (В. В. Орлов [11]).

Динамика плеизмографической кривой отражает преимущественно изменение кровенаполнения мелких сосудов, в которых пульсовые колебания постоянно затухают. Амплитуда пульсовых волн плеизмограммы в значительной мере определяется скоростью оттока крови из сосудов конечности. Плеизмографический метод дает возможность детально изучить реактивность мелких сосудов, но не может быть использован для оценки функционального состояния более крупных артерий эластического и мышечного типов (В. П. Никитин [9]). С понижением эластических свойств артериальных сосудов, причиной которых чаще всего бывает атеросклероз, изменяются и их физические свойства. В зависимости от степени понижения эластичности сосудистой стенки меняется скорость распространения пульсовых колебаний по ней; по скорости ее ускорения, а также по форме пьезографической кривой можно судить о состоянии стенки данного сосуда. Метод артериопьезографии разрешает также исследовать сосуды, лежащие глубоко в тканях и недоступные пальпации (Н. К. Фуркало [13]). По мнению А. Л. Мясникова, это один из многообещающих методов современной диагностики атеросклероза. (А. Л. Мясников [8]).

Для исследования реактивности крупных артериальных сосудов нами проводились пьезографические исследования вазомоторной иннервации височных и лучевых артерий при помощи пьезодатчиков. Запись производилась на 15 канальном, чернильном осциллографе „АЛЬВАР“. Вместе с артериопьезограммой регистрировались биотоки головного мозга и электрокардиограмма.

Скорость распространения пульсовой волны определялась при помощи сочетания электрокардиографических и сфигмографических показателей с точностью до сотых долей секунды. Для этого измерялось расстояние от вершины зубца R электрокардиограммы до вершины

первой волны сфигмограммы, свидетельствующей о поступлении пульсовой волны к месту аппликации пьезодатчика, что соответствует времени распространения волны. Из интервала $R-A$ (A -анакрота пьезоволны) вычитывали 0,02 сек (время запаздывания сокращения сердца от его возбуждения).

Нами исследовано 18 больных атеросклерозом коронарных сосудов со стенокардическими болями. Из них 14 больных с перенесенным инфарктом миокарда.

При анализе пletизмограммы больных коронарным атеросклерозом со стенокардией установлено, что у части из них пletизмографическая кривая отличалась выраженной волнобразностью с большой амплитудой колебаний (5—7 мм).

Нулевая пletизмограмма была получена сразу или в течение первых двух дней. Фон пletизмографической кривой неустойчив, в одних исследованиях носит волнобразный характер, в других волнобразность сменяется ровным фоном. На безусловный раздражитель реагирует иногда в течение одного опыта, иногда в разные дни то адекватной реакцией, то слабо выраженной реакцией, или всегда волнобразной кривой. У больных с перенесенным инфарктом миокарда пletизмографическая кривая большей частью была волнобразной, нулевая пletизмограмма была получена сразу, отличалась наименьшей стойкостью. Реакция на безусловный раздражитель слабо выражена. У данных больных был вычислен основной объем и объемные изменения до и после раздражения. Основной объем в среднем равен 7,7—9,4, объемное изменение до раздражения равно 1,0—2,8, после—0,5—1,7. Статистическая обработка материала указывает на достоверность полученных данных.

На артериоп-езограмме у этих больных отмечалось ускорение скорости распространения пульсовой волны на височных и лучевых артериях. На височных артериях при норме 0,15—0,17 у наших больных скорость распространения пульсовой волны равнялась 0,10—0,13, на лучевой при норме 0,21—0,23 было 0,15—0,18.

Электроэнцефалографически имелись учащенные волны типа бета при наличии дезорганизованного альфа-ритма. Обнаружены локальные изменения в премоторных, теменных и височных отведениях, выражающиеся или в периодическом появлении медленных тета, а иногда дельта-волн или же гиперсинхронных альфа-колебаний высокой частоты, что соответствует данным В. А. Ахобадзе [1].

На основании проведенных нами электроэнцефалографических и электроплетизмографических исследований больных атеросклерозом коронарных сосудов при наличии стенокардических болей можно утверждать, что при данной патологии обнаруживается нарушение биоэлектрической активности как в коре головного мозга, так и в подкорковых образованиях, процесс повышенной возбудимости более выражен в подкорковых центрах, что в свою очередь повышает реактивность периферических сосудов в различной степени.

ЛИТЕРАТУРА

1. Ахобадзе В. А. Клинико-электроэнцефалографические исследования при атеросклерозе. Атеросклероз. Материалы конференции. Л., 1965, 31—32.
2. Баский Е. В. Применение принципов электрической регистрации механических величин в физиологических исследованиях. Современные методы исследования функций сердечно-сосудистой системы, 1963, 5—32.
3. Вальдман В. А. Атеросклероз и сосудистая система. Сб. тр. «Вопросы патологии крови и кровообращения», вып. 5, 1959, 109—118.
4. Глезер Г. А. Сосудистые реакции у больных с коронарной недостаточностью. «Советская медицина», 1955, № 3, 47—54.
5. Глезер Г. А. Значение функциональных нейрососудистых расстройств в происхождении и клиническом течении

коронарной недостаточности. Автографат, 1957. 6. Замыслова К. Н., Бондарь Л. П. Состояние высшей нервной деятельности при нарушении коронарного кровообращения. Труды конф/Ин-та и отдела пат. анат. ИЭК, 15—17 марта, 1956, 249—256.

7. Ильинский Б. В. Безусловные и условные сосудистые реакции у больных грудной жабой. Жур. ВНД им. И. П. Павлова, т. 7, № 2, 1957, 211—240.

8. Ясиников А. Л. Новые данные по диагностике и терапии атеросклероза. Труды 14 Всесоюзного съезда терапевтов, 1958, 27—44.

9. Никитин В. И. Методы пletизмографии и определения скорости распространения пульсовой волны в оценке реактивности сосудистого тонуса. Сб. рефератов научных работ за 1951—1952 гг., 1955, 138—139.

10. Незлини В. Е. Нарушение венечного кровообращения. М., 1955.

11. Орлов В. В. Пletизмография, М., 1961.

12. Рахлии Л. М., Русецкий И. И., Ахматова Д. К. Некоторые особенности сосудистых реакций у больных коронарной недостаточностью. Труды 14 Всесоюзного съезда терапевтов, 1958, 643—645.

13. Фуркало Н. К. Сравнительная оценка метода артериоп-езографии в диагностике атеросклероза. «Врачебное дело», 1958, № 2, 1275—1280.

14. Янушкевич З. И. Особенности высшей нервной регуляции вазомоторных функций у больных, страдающих коронарной недостаточностью. Труды 3-й республиканской конференции терапевтов Литовской ССР и выездной сессии ин-та терапии АМН СССР 11—13 ноября 1954 г. Вильнюс, 1956, 31—39.

Поступило 2. VIII 1965

Азерб. ИЭКМ АМН СССР

С. А. Аслан-задэ

Үрәк тач дамарларынын чатмамазлығы заманы мәркәзи синир системинін функционал вәзијәттөн

ХУЛАСӘ

Үрәк тач дамарларынын чатмамазлығы заманы мәркәзи синир системинін вә синир-дамар аппаратынын функционал вәзијәттөн мүәжжеләшдирмәк мәгсәдилә дамар реаксијасынын хасияттөн, онларын беин габығы вә габығалты компонентләри тач дамарларынын ган дөвраны позгунлугларынын клиник кедиши илә бирликдә ѡзрәнилмишdir. Тәдгигат заманы геңри-шәрти гычыгандырычынын тәтбиғи илә електрокардиография, электроенцефалография, артериоп-езография, електроплетизмография кими електрографик методлардан истифадә олумуштур. Мұаинә вә тәдгигат апарылан 48 хәстәнин һамысында стенокардија ағылары илә мүшајиэт олунан тач дамарларынын склерозу, 14-дә исә кечирилмиш үрәк әзәләсінин инфаркты мүәжжән едилмишdir. Бу хәстәләрин пletизмограммалары айдын нәзәрә чарпан далғаварилы илә фәргләнир, артериоп-езограммаларында исә иәбз далғасынын յајыма сүр'етинин тезләшмәсі ашқара чыхыр. Електроенцефалограмда геңри-мүтәшәккіл алфа ритми илә җанашы, бета типли сыйлашмыш далғалар мүшаһидә олумуштур. Бунлардан башга, премотор, тәпә вә кичкаң апармаларында вахташыры сакит тета вә бә'зән исә дәлтадалғаларынын әмәлә кәлмәсі кими јерли дәйнишкилләр ашкар едилмишdir.

Апарылан електроенцефалографик вә електроплетизмографик тәдгигатларда әсасен айдын олур ки, стенокардија ағылары илә мүшајиэт олунан тачдамар склерозундан әзаб чәкән хәстәләрдә истәр беин габығынын вә истәрсә дә габығалты мәркәзләрин биоэлектрик фәалллығы позулур, бу да өз нөвбәсіндә мүнити дамарларын реактивилини мүхәтиф сәвијәдә артырыр.

ФИЗИКА

Д. Г. АРАСЛЫ, М. И. АЛИЕВ

РАССЕЯНИЕ ФОНОНОВ В ЛЕГИРОВАННЫХ КРЕМНИИ
И ГЕРМАНИИ

(Представлено академиком АН Азербайджанской ССР Ч. М. Джуварли)

Ранее нами было показано, что с некоторой концентрацией примеси мышьяка теплопроводность Ge уменьшается [1]. С повышением температуры начало этого уменьшения смещается в сторону более высоких концентраций.

При 300°K она соответствует $1.10^{17} \text{ см}^{-3}$. Уменьшение теплопроводности с концентрацией примеси, по-видимому, связано с усилением рассеяния фонанов примесями и другими точечными дефектами. Такими дефектами могут быть вакансии. В германии вакансии носят акцепторный характер и добавление донорных примесей приводит к их генерации [9]. Представляет интерес исследование этого эффекта и в кремнии. В связи с этим возникла необходимость систематического исследования теплопроводности Si в широкой области концентрации примесей.

Теплопроводность (κ) кремния исследована в основном на чистых образцах [2-7]. Лишь в работе [8], наряду с чистым исследован также кремний, легированный бором ($5.10^{19} \text{ см}^{-3}$) и фосфором ($1.7 \cdot 10^{20} \text{ см}^{-3}$).

Нами исследована монокристаллов кремния, легированного мышьяком от $1 \cdot 10^{16}$ до $8 \cdot 10^{19} \text{ см}^{-3}$, а также сурьмой $1.10^{19} \text{ см}^{-3}$ и фосфором от $6 \cdot 10^{19}$ до $7 \cdot 10^{20} \text{ см}^{-3}$. Монокристаллы германия были легированы мышьяком от $3.58 \cdot 10^{15}$ до $5.45 \cdot 10^{19} \text{ см}^{-3}$ и галлием от $1.4 \cdot 10^{16}$ до $1.1 \cdot 10^{19} \text{ см}^{-3}$.

Теплопроводность была измерена стационарным методом от 100 до 500°K.

На рис. 1 представлена зависимость κ кремния от концентрации примесей при различных температурах.

Как видно, имеет место картина, аналогичная наблюдавшейся в германии [1]. Однако начало падения κ в кремнии смещено в область более высоких концентраций примеси. При 300°K оно соответствует 10^{19} см^{-3} . С понижением температуры плато постепенно исчезает. То же самое имеет место и в германии.

Электронная теплопроводность, рассчитанная по закону Видемана-Франца, даже в самых сильно легированных образцах германия и кремния, не превышает 1-2% общей теплопроводности. Перенос тепла осуществляется главным образом фононами и наблюдаемое изменение теплопроводности с концентрацией связано с их рассеянием.

На рис. 2 и 3 приводится зависимость теплового сопротивления решетки (W) от температуры соответственно, для германия и кремния, легированных мышьяком. Аналогичная зависимость имеет место и в случае германия, легированного галлием.

Линейная зависимость W германия от температуры (рис. 2) указывает на то, что в интервале температур исследования, независимо от степени легирования, доминирующим механизмом рассеяния фонанов являются трехфоновые процессы. Однако, как видно из рис. 2, температурная зависимость W становится более сильной в глубоко легированных образцах, т. е. рассеяние фонанов на фонанах становится более эффективным при наличии примесей.

Этот факт, по-видимому, можно объяснить комбинированным рассеянием фонанов, которое заключается в том, что в результате

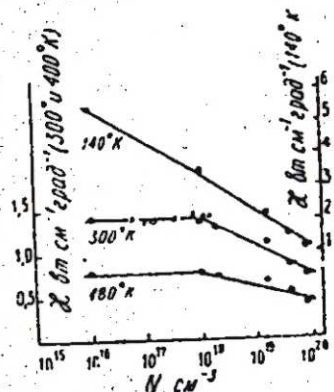


Рис. 1. Зависимость теплопроводности кремния от концентрации примесей при различных температурах.

●—Si+As; X—Si+P;
▲—Si+Sb

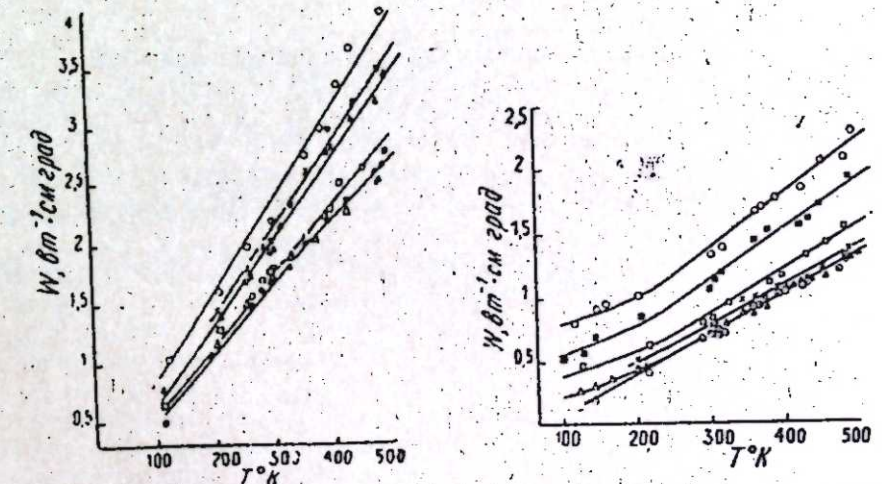


Рис. 2. Температурная зависимость теплового сопротивления германия.

●— $3.58 \cdot 10^{15}$; △— $1 \cdot 10^{17}$;
▽— $1.3 \cdot 10^{19}$; X— $2 \cdot 10^{19}$;
○— $5.45 \cdot 10^{19} \text{ см}^{-3}$; □— $3 \cdot 10^{17}$;
▲— $8.8 \cdot 10^{19}$

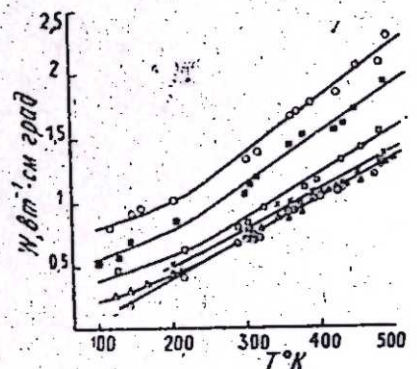


Рис. 3. Температурная зависимость теплового сопротивления кремния.

○— $1 \cdot 10^{16}$; △— $1 \cdot 10^{18}$;
□— $1.5 \cdot 10^{19}$; ■— $4 \cdot 10^{19}$;
X— $2 \cdot 10^{18}$; ○— $8 \cdot 10^{19} \text{ см}^{-3}$ (As);
▲— $1.1 \cdot 10^{19} \text{ см}^{-3}$ (Sb)

мальных процессов длинноволновые фоны передают свой импульс коротковолновым, а последние очень эффективно рассеиваются на точечных дефектах. Вероятность такого комбинированного рассея-

ния должна быть пропорциональна числу нормальных процессов, т. е. температуре и концентрации примесей.

В кремнии такое комбинированное рассеяние имеет место выше $200 \pm 250^\circ\text{K}$ (рис.3). Причем, оно наблюдается при концентрации примесей выше 10^{18}см^{-3} . От 100 до 200°K также имеют место трехфононные процессы. Однако межфононные процессы рассеяния в этой области температур не зависят от глубины легирования.

Авторы благодарят профессора Г. Б. Абдуллаева за интерес, проявленный к работе и обсуждение.

ЛИТЕРАТУРА

1. Алиев М. И., Фистуль В. И., Араслы Д. Г. ФТТ. 6, 12, 3700, 1964.
2. Morris R. D. and Hust J. G. Phys. Rev., 124, 1426, 1961.
3. Abeles B., Beers D. S., Cody G. D. and Dismukes J. P. Phys. Rev., 125, 44, 1962.
4. Beers D. S., Cody G. D. and Abeles B. Proc. Intern. Conf. Semicond. Exeter, 1962.
5. Shanks H. R., Maycock I. D., Sidles P. H., Danielson G. C. Phys. Rev., 130, 1743, 1963.
6. Morris R. G., Martin J. Z. J. Appl. Phys., 34, 2388, 1963.
7. Glassbrenner C. J. and Glen A. Slack Phys. Rev., 134, 4A, 1058, 1964.
8. Glen Slack A. J. Appl. Phys., 35, 2, 1964.
9. Фуллер.—Сб. «Полупроводники» под. ред. Хеннея, И.Л. 1962.

Институт физики

Поступило 10. II 1966

Д. Н. Араслы, М. И. Элиев

Лекирә олунмуш керманиум вә силисиумда фононларын сәпилмәсі

ХУЛАСӘ

Мәгәләдә керманиумун вә силисиумун стационар методла $100 \pm 500^\circ\text{K}$ температур интервалында, кениш концентрасија областында истиликтекирилмәсі (χ) өјрәнилмишdir. Көстәрилмәсінде ки, Ge мүәйжән концентрацијадан башлајараг азалыр. Бу азалма 200°K температурда Ge үчүн 10^6 вә Si үчүн 10^8 см^{-3} концентрација уйғундур. Лекирә олунмадәрәчәсіндән асылы олмајараг, истиликтекирилмәсіндең әсас механизм үчфононлу процесстидir.

Фонон сәпилмәсі ашгарларын артмасы илә даһа да гүввәтләнir. Бу „комбинә сәпилмәсі“ илә изән олунур.

Э. Н. НУРИЕВ, І. Х. ӘФӘНДИЕВ

НЕФТ ІАТАГЛАРЫНЫН ЛАЈ СУЛАРЫНДА ҺЭЛЛ ОЛМУШ ҰЗВИ МАДДӘЛӘРИН ТӘРКИБИ ҺАГГЫНДА

Лај суларында һэлл олмуш ұзви маддәләрин тәркиби бу вахта гәдәр бу суларын қеокимјасынын зәиф тәдгиги едилмиш мәсәләләриндән бири иди. Соң заманлар ұзви маддәләрин тә'жини методикасынын ин-кишафы илә әләгәдар олараг мұхтәлиф тәбии суларда, о чүмләдән нефт йатаглары лај суларында һэлл олмуш ұзви маддәләр һағгында диггәтәлајиг фактик материаллар топланмышдыр.

В. И. Вернадски һәлә 1936-чы илдә [3] нефт суларында ұзви маддәләрин тәдгиги мәсәләсі вә онларын кимҗәви элементләрин миграциясында ролуна диггәти чәлб етмишди.

Шоллер [бах: 3] јералты суларда нафтен туршуларынын, фенолларын, пиридин вә хинолин тәркибли маддәләрин, карбон туршулары вә сүлфанатлар кими бир сыра ұзви бирләшмәләрин olandуғуну көстәрир.

М. Е. Алтовски [1] Маһач-Гала рајону лај суларында $0,01 \text{ мг/л}$ -ә гәдәр сулу карбон вә урон туршулары, сәрбәст амин туршулары, (гликокол, лизин, аспаргин, аланин вә глутамин) фулвотуршулар, феноллар; $0,001 \text{ мг/л}$ мигдарында пурин вә пиридин тәркибли ұзви маддәләр, бир мг/л гәдәр исә парафинләр, нафтен туршулары, солјар фраксијасында вә гәтранаохшар маддәләрин һидролизиндән әмәлә кәлмиш карбоидрокенләр olandуғуну көстәрир.

В. М. Швес [3] Дағыстан вә Грэзны нефт йатаглары лај суларында һэлл олан ұзви маддәләрин тәдгиги заманы белә иәтичәјә кәлмишdir ки, нефт контурундан кәнардағы нефт суларында һэлл олан ұзви маддәләрин мигдары нефт контурунда олан ұзви маддәләрин мигдарынан бир гәдәр аздыр. Һәмчинин о көстәрир ки, нефт вә газ йатаглары лај суларында азотту ұзви маддәләрин мигдарына кәрә дә бу сулар фәргләнир.

Н. Т. Шабарова [5] Бибиңејбет вә Хадичеј суларынын тәдгиги иәтичәсийдә көстәрир ки, нефт лај сулары һәм азотту вә һәм дә азоттусуз ұзви маддәләрлә зәнкендир.

Е. А. Барса кәрә [2], нефт лај суларында фенолун мигдары башга лај суларында қохдур.

Бакер [бах: 2] көстәрир ки, нефтиң әмәлә кәлмәсийдә нефт суларында һэлл олмуш вә һэлл олмамыш коллоид шәклиндә олан ұзви маддәләрин бөյүк ролу вардыр.

Бурада Азәрбајҹан нефт суларында һәлл олан үзви маддәләрин тәркиби, нағында илк мә’лumat верилир. Бу мәгсәд үчүн Нефтчала Cl—Na—Сa суларында үзви маддәләр өјәнилмишdir. Эввәлки тәдгигатлар [7] көстәрмишdir ки, Нефтчала лај суларында су бухары илә бирликдә говулан үзви маддәләр мигдарча чох, молекул чәкиләри е’тибарилә мұхтәлифdir.

Лај суларындан үзви маддәләрин чыхарылмасы икى мәрһәләдә апарылмышдыр. Су нүмүнәсинде—экс сојудучуда бикарбонат парчаландыгдан соңра үзви маддәләр су бухары илә бирликдә говулур [5].

Мә’лумдур ки, су бухары илә бирликдә үзви туршуларын анчаг бир гисми говулур, йүксәк молекул чәкиси олан үзви маддәләр исә чекунтудә галыр ки, бунлар петролејн ефири илә һәлл едилиб судан чыхарылып.

Нәр икى мәрһәләдә әлдә едилмиш үзви маддәләрин тәркиби кағыз хроматография методу илә [4] мүәjjәn едилмишdir. Бирдән једдијә гәдәр карбон атомлу карбон туршуларыны аյырмаг үчүн үч компонентли системдән (амил спирти, сиркә туршусу вә су, 4; 1; 5) истифадә олунур. Алыныш хроматограм мә’лум индикаторлардан: бром-фенолбојагы вә ja бромтимол бојагындан бири илә рәнкләнмиш вәetalonun хроматограмы илә мүгајисә едилмишdir.

Амин туршуларыны вә аминләри айырмаг үчүн һәлледичи кими и. бутанол, сиркә туршусу вә су 4:1:5 иисбәтиндә көтүрүлмүш вә алыныш хроматограм нингидринлә рәнкләндирлиб ашкара чыхарылмышдыр.

Тәдгиг едилмиш суларда үзви маддәләрин кимжәви тәркиби ашыда верилир.

Су бухары илә бирликдә говулан үзви маддәләр:

Пропион туршусу

Нормал яф туршусу

Три метил сиркә туршусу

Нормал гептил туршусу

Глисин

Аланин

Фенол

Су бухары илә бирликдә говулмајан үзви маддәләр:

Глисин

Аланин

Нормал пропиламиин

Нормал бутиламиин

Нормал амилин

Лејсин

Нафтен туршулары

Көрүндүјү кими, тәдгиг едилән суларда һәлл олмуш үзви маддәләрин тәркибинде туршулар, феноллар, нафтен туршулары, аминләр, амин туршулары иштирак едир.

Саýлан маддәләрин су бухары илә говулан вә говулмајан үзви маддәләр үзрә пајланмасы мұхтәлифdir. Бу, хұсусен азотлу маддәләрә аиддир, глисин вә аланин һәр икисинде иштирак етдиши һалда, нормал амилин тәкчә су бухары илә бирликдә говулмајан үзви маддәләрин тәркибинде тапталмышдыр.

ӘДӘБИЙЛАТ

1. Альтоўский М. Е. Органическое вещество и микрофлора подземных вод и их значение для оценки нефтегазоносности. Труды Совещания по геохимическим методам. Изд-во АН СССР, 1959. 2. Барс Е. А., Александрова Т. И. Фенолы в пластовых водах нефтяных месторождений Краснодарского края. „Новости нефть. техники“ (геохимия), № 10, 1960. 3. Верниадский В. И. История природных вод, вып. III, Л., ОНТИ Химтеорет., 1936. 4. Хайс Н. М., Мацека К. Хроматография на бумаге. М., 1962. 5. Шабарова Н. Т. Распределение органического вещества в подземных водах. „Сов. геология“, № 8, 1961. 6. Швец В. М. Содержание органического вещества в подземных водах. Материалы конф. молодых ученых Мон-

сковского р-на г. Москвы, посв. 40-летию Ленинского комсомола, вып. IV Геол. Секция. М., 1958. 7. Эфендиев Г. Х., Нуриев А. Н. О растворенных органических веществах в пластовых водах нефтяных месторождений Азербайджана, АНХ, 1965, № 6.

Гејри-үзви вә физики кимја институту

Алымышдыр 15 VII 1966

А. Н. Нуриев и Г. Х. Эфендиев

О составе органических веществ, растворенных в пластовых водах нефтяных месторождений

РЕЗЮМЕ

Методом бумажной хроматографии идентифицирован ряд соединений, входящих в состав органических веществ, выделенных из пробы пластовой воды (хлор-натрий-кальциевого типа воды Нефтечалинского месторождения). Показано, что растворенные в воде органические вещества летучие и от нелетучих с водяным паром заметно отличаются по списку входящих в их состав индивидуальных органических соединений.

В составе первых установлено наличие кислот пропионовой, н. масляной, триметил уксусной, нормальной пентиловой, аминовых кислот—глицина и аланина, а также фенола в составе органических веществ нелетучих с водяным паром идентифицированы—глицин, аланин, лепчин, н. пропиламин, н. бутиламин, н. амилин, а также нафтеновые кислоты.

Азотсодержащие органические соединения более характерны для нелетучих с водяным паром органических веществ, в то время, как карбоновые кислоты и фенол входят в состав органических веществ летучих с водяным паром. Данные авторов о распределении растворенных органических веществ в пластовых водах нефтяных месторождений Азербайджана сообщались раньше.

МАТЕМАТИКА

А. И. ГУСЕЙНОВ, М. А. АБДУРАГИМОВ

**О НЕКОТОРЫХ НЕЛИНЕЙНЫХ ЗАДАЧАХ СОПРЯЖЕНИЯ
СО СМЕЩЕНИЕМ**

§ 1

Пусть L —простой замкнутый контур Ляпунова в плоскости комплексного переменного, охватывающий начало координат; D^+ и D^- —соответственно внутренняя и внешняя области, на которые L разбивает плоскость. Будем считать, как обычно, что положительное направление L оставляет L^+ слева.

Обозначим через $E^+(E^-)$ —пространство аналитических в $D^+(D^-)$ и непрерывных в $L^+(L^-)$ функций.

Требуется найти функции $\Phi^+(z) \in E^+$ и $\Phi^-(z) \in E^-$ по граничному условию

$$\{\Phi^+[\alpha(t)]\}^n = G(t)\Phi^-(t) + g(t), \quad (1,1)$$

где $n \geq 2$ —целое число, $G(t)$ и $g(t)$ —заданные функции на L из класса $H(\omega)$, где $\omega(s) \in \Phi^*$, причем $G(t) \neq 0$ на L ; $\alpha(t)$ —заданная функция на L , отображающая контур L взаимно однозначно на себя с сохранением направления и имеющая производную $\alpha'(t) \in H(\omega)$, не обращающуюся в нуль.

(Определение классов Φ^* и $H(\omega)$ см. [2] и [3].)

Пусть $\omega(s), \omega_1(s) \in \Phi^*$. Справедлива следующая

Теорема 1. Если функция $\varphi(t)$ удовлетворяет на L условию $H(\omega)$ и если $\omega(s) \leq BS^\lambda \omega_1(s) (0 < s \leq l, 0 \leq \lambda < 1)$, то функция

$$\psi(t) = \frac{\varphi(t) - \varphi(t_0)}{|t - t_0|^\lambda},$$

где t_0 —фиксированная точка на L^1 , удовлетворяет на L условию $H(\omega)$, причем $H(\omega)$ является правильной частью $H(\omega_1)$.

Если произвести замену

$$\Phi_1^+(z) = [\Phi^+(z)]^n, \quad \Phi_1^-(z) = \Phi^-(z).$$

то задача (1,1) сводится к линейной задаче

¹ Подразумевается, что $\psi(t_0) = \lim_{t \rightarrow t_0} \psi(t) = 0$.

$$\Phi_1^+[\alpha(t)] = G(t)\Phi_1^-(t) + g(t). \quad (1,2)$$

Очевидно, если задача (1,1) разрешима, то и задача (1,2) разрешима. Все решения задачи (1,1) имеются среди функций

$$\Phi^+(z) = \sqrt[n]{\Phi_1^+(z)}, \quad \Phi^-(z) = \Phi_1^-(z),$$

где $\Phi_1^+(z), \Phi_1^-(z)$ —решения задачи (1,2).

Для того, чтобы $\Phi^+(z)$ и $\Phi^-(z)$ были решением задачи (1,1) необходимо и достаточно, чтобы $\sqrt[n]{\Phi_1^+(z)}$ не имел в D^+ точек ветвления.

Теорема 2. При $\omega = \text{ind}G(t) \geq 0$ однородная и неоднородная задачи (1,1) разрешимы; решение неоднородной задачи выражается формулой

$$\Phi^+(z) = e^{\frac{1}{n} \Gamma^+(z)} \left[\frac{1}{2\pi i} \int_L \frac{\varphi[\beta(t)]}{t-z} dt \right]^{\frac{1}{n}}, \quad (1,3)$$

$$\Phi^-(z) = z^{-\omega} e^{\Gamma^-(z)} \left[\frac{1}{2\pi i} \int_L \frac{\varphi(t)}{t-z} dt + P_\omega(z) \right], \quad (1,4)$$

$$\text{где } \Gamma^+(z) = \frac{1}{2\pi i} \int_L \frac{\beta(t)}{t-z} dt, \quad z \in D^+$$

$$\Gamma^-(z) = \frac{1}{2\pi i} \int_L \frac{\mu(t)}{t-z} dt, \quad z \in D^-$$

$\beta(t)$ —функция, обратная $\alpha(t)$; $\mu(t), \varphi(t)$ —соответственно решения интегральных уравнений

$$K\mu = \ln[t^{-\omega} G(t)], \quad (1,5)$$

$$K\varphi = P_\omega(t) + \frac{g(t)}{e^{\Gamma^+[\alpha(t)]}}, \quad (1,6)$$

$$K\mu = u(t) - \frac{1}{2\pi i} \int_L \left[\frac{1}{\pi - t} - \frac{\alpha'(\tau)}{\alpha(\tau) - \alpha(t)} \right] u(\tau) d\tau$$

$P_\omega(z)$ —произвольный полином степени не выше ω .

При $\omega \leq -1$ однородная задача неразрешима; неоднородная задача разрешима тогда и только тогда, когда выполнены условия:

$$1) \quad \int_L g(t)g_k(t) dt = 0, \quad k=1,2,\dots,-\omega-1,$$

где $g_k(t)$ —вполне определенные линейно независимые функции, не зависящие от $g(t)$.

2) $\sqrt[n]{\Psi(z)}$ не имеет в D^+ точек ветвления,
где

$$\Psi(z) = \frac{1}{2\pi i} \int_L \frac{\varphi[\beta(t)]}{t-z} dt, \quad z \in D^+$$

При этом решение может быть получено из (1,3) и (1,4) при $P_\omega(z) \equiv 0$

В силу условий, наложенных на функцию $\alpha(t)$ и контур L нетрудно видеть, что

$$\frac{1}{\tau-t} - \frac{\alpha'(\tau)}{\alpha(\tau)-\alpha(t)} = \frac{n(t,\tau)}{|\tau-t|^\alpha}, \quad 0 < \alpha = \text{const} < 1,$$

где $n(t,\tau)$ — некоторая функция из класса $H(\omega_2)$ на L , $\omega_2 \in \Phi^*$.

Поэтому, согласно [5], уравнения (1,5) и (1,6) всегда однозначно разрешимы.

Если же $\Psi^+(t)$ не обращается в нуль на контуре L , $\varphi'(t)$ — существует и принадлежит классу $H(\omega)$, то необходимые и достаточные условия существования решения задачи (1,1) выражает следующая

Теорема 3. Для того чтобы $\Phi^+(z)$ и $\Phi^-(z)$ были решениями задачи (1,1) необходимо и достаточно, чтобы

$$\frac{1}{2\pi i} \int_L \frac{\varphi'[\beta(t)]\beta'(t)+2\psi'(t)}{\varphi[\beta(t)]+2\psi(t)} dt = \sum_{i=1}^m \alpha_i n_i, \quad (1,7)$$

где $\alpha_i n_i$ — порядок нуля a_i функции $\Psi(z)$ в D^+

(α_i — целые числа ≥ 0).

Если же функция $\varphi[\beta(t)]$ представляет собой краевое значение аналитической в D^+ функции, то условие (1,7) примет вид

$$\frac{1}{2\pi i} \int_L \frac{\varphi'[\beta(t)]\beta'(t)}{\varphi[\beta(t)]} dt = \sum_{i=1}^m \alpha_i n_i.$$

§ 2

В этом параграфе мы распространим результаты задачи (1,1) на случай более общей задачи (2,1).

Постановка задачи. Требуется найти функцию $\Phi^+(z) \in E^+$ и функцию $\Phi^-(z) \in E^-$ по граничному условию на L .

$$[\Phi^+[\alpha(t)]]^n = G(t)\Phi^-(t) + \lambda F[t, \Phi^+[\alpha(t)]], \quad (2,1)$$

где $n \geq 2$ — целое число, $G(t) \in H_N(\omega)^2$, $\omega(s) \in \Phi^*$, $G(t) \neq 0$, $t \in L$; $F(t, u)$ — функция, определенная для $t \in L$ и $u = \Phi^+(z) \in E^+$, удовлетворяющая условиям:

$$|F(t, u)| \leq A(1 + |u|^n), \quad (2,2)$$

$$|F(t_1, u_1) - F(t_2, u_2)| \leq A[\omega(|t_1 - t_2|) + |u_1^n - u_2^n|] \quad (2,3)$$

Повторив преобразования из § 1 видим, что решение задачи (2,1) при $z = \text{ind}G(t) \geq 0$ выражается формулой

$$\Phi^+(z) = e^{\frac{1}{n}\Gamma^+(z)} \left[\frac{1}{2\pi i} \int_L \frac{\varphi[\beta(t)]}{t-z} dt \right]^{\frac{1}{n}}, \quad (2,4)$$

$$\Phi^-(z) = z^{-\gamma} e^{\Gamma^-(z)} \left[\frac{1}{2\pi i} \int_L \frac{\varphi(t)}{t-z} dt + P_\gamma(z) \right],$$

где

$$\Gamma^+(z) = \frac{1}{2\pi i} \int_L \frac{\varphi[\beta(t)]}{t-z} dt \quad \text{при } z \in D^+,$$

² Определение $H_N(\omega)$ будет дано ниже.

$$\Gamma^-(z) = \frac{1}{2\pi i} \int_L \frac{\varphi(t)}{t-z} dt \quad \text{при } z \in D^-,$$

$\varphi(t), \varphi(t)$ — соответственно решения интегральных уравнений

$$K_\mu = \ln[t^{-\gamma} G(t)], \quad (2,5)$$

$$K_\varphi = P_\gamma(t) + \lambda \frac{F[t, \Phi^+[\alpha(t)]]}{e^{\Gamma^+[\alpha(t)]}} \quad (2,6)$$

где

$$Ku = u(t) - \frac{1}{2\pi i} \int_L \frac{n(t, \tau)}{|\tau-t|^\alpha} u(\tau) d\tau.$$

Если же $z < 0$, то решение дается той же формулой (2,4), если положить $P_\gamma(z) = 0$; при этом должны быть соблюдены необходимые и достаточные условия существования решения.

Точки ветвления у функции $\Phi^+(z)$ исключаются. Уравнение (2,5) разрешимо однозначно; поэтому, для доказательства разрешимости задачи (2,1), исследуем вопрос разрешимости уравнения (2,6).

Пользуясь формулами Сохоцкого—Племеля и разрешая уравнение (2,6) относительно линейной части, имеем

$$\varphi(t) = \lambda F_1(t, \varphi) + P_\gamma(t) + \int_L R(t, \tau) [\lambda F_1(\tau, \varphi) + P_\gamma(\tau)] d\tau, \quad (2,7)$$

где

$$F_1(t, \varphi) = \frac{F\left(t, e^{\frac{1}{n}\Gamma^+(\varphi)} \left[\frac{1}{2} \varphi(t) + \frac{1}{2\pi i} \int_L \frac{\alpha'(\tau) \varphi(\tau)}{\alpha(\tau) - \alpha(t)} d\tau \right]^{\frac{1}{n}}\right)}{e^{\Gamma^+(\varphi)}}$$

$R(t, \tau)$ — резольвента уравнения, функциональные свойства которой такие же, как и у ядра уравнения (2,6).

Выделим из пространства $H(\omega)$ некоторое выпуклое множество $H_k(\omega)$, элементы которого удовлетворяют условиям

$$|u(t)| \leq k, \quad t \in L$$

$$|u(t_1) - u(t_2)| \leq k \omega(|t_2 - t_1|), \quad t_1, t_2 \in L, k = \text{const.}$$

Рассмотрим в $H_k(\omega)$ оператор

$$A\varphi = \lambda F_1(t, \varphi) + P_\gamma(t) + \int_L R(t, \tau) [\lambda F_1(\tau, \varphi) + P_\gamma(\tau)] d\tau.$$

В дальнейшем будем предполагать, что полином $P_\gamma(z)$ фиксирован.

Лемма 1. Если функция $F(t, u)$ удовлетворяет условиям (2,2), (2,3), то оператор A_φ при малом $|\lambda|$ переводит множество $H_k(\omega)$ в себя.

Лемма 2. Если функция $F(t, u)$ удовлетворяет условиям (2,2) и (2,3), то оператор A_φ при малом $|\lambda|$ является оператором сжатия в смысле метрики пространства L_p ,

$$P_{Lp}(u, v) = \left\{ \int |u(t) - v(t)|^p ds \right\}^{\frac{1}{p}}.$$

На множестве $H_k(\omega)$ введем еще метрику

$$\rho_1(u,v) = \max_{t \in L} |W(t)| + \sup_{\omega_0(|t_1-t_2|)} \frac{|W(t_1)-W(t_2)|}{\omega_0(|t_1-t_2|)},$$

$u(t), v(t) \in H_k(\omega)$, $W(t) = u(t) - v(t)$, $t_1, t_2 \in L$

$\omega_0(s)$ —монотонно возрастающая функция, удовлетворяющая условию

$$\lim_{s \rightarrow 0} \frac{\omega(s)}{\omega_0(s)} = 0, \quad (\omega_0(0) = 0)$$

В работе [6] установлено, что

$$\rho_1(u,v) \leq f[\rho_{Lp}(u,v)],$$

где

$$f(x) = Dk^{\frac{1-\beta}{p}} + 2(2kc)^{1-\alpha} D^{\alpha} k^{\frac{\alpha}{p}} x^{1-\frac{\beta}{p}}, \quad p \geq 1$$

D, c —постоянные, не зависящие от k ; $0 < \alpha < 1$, $0 < \beta < p$.

Если иметь в виду принцип сжатых отображений Банаха и [6], то доказана следующая

Теорема 1. Если $F(t,u)$ удовлетворяет условиям (2.2), (2.3), то при малом $|x|$ уравнение (2.7) имеет единственное решение $\varphi(t) \in H_k(\omega)$. Это решение можно найти методом последовательных приближений Пикара. Последовательные приближения сходятся в смысле метрики ρ_1 , причем

$$\rho_1(\varphi_n, \varphi_0) \leq k(l_1 \lambda_0^{n(1-\frac{\beta}{p})} + l_2 \lambda_0^{n(1-\frac{\beta}{p})}),$$

где l_1, l_2 —некоторые постоянные, не зависящие от k , а λ_0 —вполне определенное число.

Тогда справедлива и следующая

Теорема 2. Если функция $F(t,u)$, параметр λ удовлетворяют условиям теоремы 1 и $x = \text{ind}G(t) \geq 0$, то задача (2.1) разрешима, решение дается формулой (2.4), где, $\varphi(t)$ —решение уравнения (2.7). Решение зависит от $x+1$ комплексных постоянных.

Если же $x < 0$, то задача (2.1) разрешима тогда и только тогда, когда решение уравнения (2.7) удовлетворяет условиям

$$\int_L^z z^k \varphi(z) dz = 0, \quad k = 1, 2, \dots, -x-1,$$

при этом единственное решение задачи (2.1) дается формулой (2.4), где нужно положить $P_\alpha(z) = 0$.

Замечание 1. Задача, когда $\alpha(t)$ изменяет направление обхода

$$\Phi^+(t) = G(t)\{\Phi - [\alpha(t)]\}^n + \lambda F(t, \Phi - [\alpha(t)]), \quad (2.8)$$

(посредством преобразования переменного $z = \frac{1}{v} \left(\tau = \frac{1}{t} \right)$ переходит в задачу

$$\{\Phi_1^+[\alpha_1(\tau)]\}^n = G_1(\tau)\Phi_1^-(\tau) + \lambda F_1(t, \Phi_1^+[\alpha_1(\tau)]), \quad (2.9)$$

где

$$\alpha_1(\tau) = \alpha\left(\frac{1}{\tau}\right), \quad G_1(\tau) = \frac{1}{G\left(\frac{1}{\tau}\right)}, \quad F_1(\tau, u) = -\frac{F\left(\frac{1}{\tau}, u\right)}{G\left(\frac{1}{\tau}\right)}.$$

Задача (2.9) совпадает с задачей (2.1).

Поэтому для задачи (2.8) также имеет место теорема 2.

Задача (2.1) при $\alpha(t) = t$ в классе Гельдера $H(\delta)$ рассмотрена в работе [1].

ЛИТЕРАТУРА

- Аржанов Г. В. ДАН СССР*, 1961, 139, № 2, стр. 267—270.
- Барин Н. К. и Степкин С. Б. Труды Московского математического общества, т. 5, 1956, стр. 493—501.
- Бабаев А. А. Ученые записки АГУ им. С. М. Кирова, серия физ.-матем. наук, № 4, 1963, стр. 3—9.
- Гахов Ф. Д. Краевые задачи, 1963.
- Мусхелишвили Н. И. Сингулярные интегральные уравнения, 1962.
- Мухтаров Х. Ш. ДАН Азерб. ССР, 1965, т. XXI, стр. 3—7.
- Хведелидзе Б. В. Труды Тбилисского математического института АН Грузии, ССР, т. XXIII, 1956.

Поступило 21. IV 1966

АГУ им. С. М. Кирова

Э. И. Կյուսյան, М. А. Թեդրամին

Бә'зи гејри-хәтти сүрүшмә илә ғошма сәрһәд масәләләри
нагыйда

ХҮЛӘСӘ

Мәгаләдә $H(\omega)$ синфиндә [1,1] вә [2,1] шәклиндә сәрһәд мәсәләләринең бахылыры. Исбат едилер ки, бу мәсәләләр нәлл олунаандыр вә онларын нәлләринин сајы $\psi = \text{ind}G(t)$ индексиндән асылыдыр.

ХИМИЯ

М. М. ГУСЕЙНОВ, Т. А. КАМБАРОВА, З. К. МЕХТИЕВА, З. Г. ЯРИЕВА

КОНДЕНСАЦИЯ ТРИХЛОРЭТИЛЕНА С БЕНЗОЛОМ
В ПРИСУТСТВИИ ХЛОРИСТОГО АЛЮМИНИЯ

(Представлено академиком АН Азербайджанской ССР М. А. Далинам)

Реакция конденсации хлоралканов с ароматическими углеводородами хорошо описана в фундаментальных исследованиях Фриделя и Крафтса. Ими установлено, что в присутствии хлористого алюминия хлоралканы и ароматические углеводороды конденсируются с образованием алкилароматических углеводородов и хлористого водорода. Отношение хлоруглеродов к реакции конденсации в присутствии хлористого алюминия описано также в работах Гомберга, где указывается, что из 300 частей четыреххлористого углерода, 1000 частей бензола и 300 частей хлористого алюминия образуется трифенилхлорметан с выходом 72% [1, 2].

В работах Л. Б. Раппа, К. А. Кориева [3], И. К. Рожковой, Цукерваника [4], Шмерлигера [5], А. Т. Исмайлова [6] приводятся данные по конденсации метилхлорида, бутилхлорида, изобутилхлорида, гептилхлорида, дихлорбутана, дихлорэтана с ароматическими и галонд ароматическими углеводородами.

Авторы данных работ показывают, что почти во всех проведенных опытах образуютсяmonoалкил-, ди- и полиалкилароматические углеводороды.

В последние годы одним из авторов настоящего сообщения совместно с сотрудниками систематически изучаются способы получения четыреххлористого углерода [7], тетрахлорэтена, трихлорэтена [8], гексахлорбутадиена [9], гексахлорцикlopентадиена и гексахлорбензола [10] хлорированием соответствующих углеводородов. Цикл этих работ включает также изучение химических превращений указанных хлоруглеродов. В частности, были изучены пиролиз синтезированных хлоруглеродов [11], конденсация по Дильсу-Альдеру [12], а также конденсация с ароматическими углеводородами в присутствии хлористого алюминия.

В настоящем сообщении приводятся данные по конденсации трихлорэтена с бензолом в присутствии хлористого алюминия. Трихлорэтен был получен хлорированием этилена в кипящем слое катализатора. Порядок проведения эксперимента следующий: в трехгорловую колбу, снабженную обратным холодильником и механической мешал-

кой, помещаются бензол и хлористый алюминий в определенных соотношениях.

После достижения заданной температуры из капельной воронки с определенной скоростью подавался трихлорэтен. После окончания подачи трихлорэтена реакционная смесь перемешивалась в течение 30 мин. Полученный катализат разлагался ледяной водой, углеводородный слой отделялся от катализаторного, нейтрализовался, промывался, сушился и подвергался детальному изучению. Конденсация трихлорэтена с бензолом проводилась при температурах от 0 до 70°. Материальный баланс и условия характерных опытов приводятся в таблице. Как видно из таблицы, в температурном интервале от 0 до 70° основным продуктом реакции химического превращения трихлорэтена с бензолом в присутствии $AlCl_3$ являются соединения, не содержащие хлор, т. е. фенилэтаны. Выход отдельных фенилэтанов сильно зависит от температуры опыта. Так, например, при 10° образуется тетрафенилэтан с выходом 82,4% от теории на сумму превращенных бензола и трихлорэтена. При повышении температуры опыта до 70° выход тетрафенилэтана уменьшается и увеличивается выход дифенилэтана до 18% и трифенилэтана до 27%. Тетрафенилэтан не растворяется в бензоле и поэтому не удалось определить молекулярного веса этой фракции. По результатам опытов, проведенных при температуре ниже 0° установлено, что реакция конденсации почти не протекает. В опытах, проведенных при температуре 0—20° образуется также тетрахлорэтан, количество которого резко снижается с повышением температуры. Данное соединение является продуктом присоединения хлористого водорода, образующегося при конден-

№ опыта					
	86	83	82	84	85
<i>Условия опытов и характеристика продуктов реакции</i>					
Температура, °C	0	10	20	50	70
Получено после реакции, %					
углеводородный слой	87,5	87	84,8	57,9	42,9
каталиторная часть	9,4	9,5	9,7	35,0	46
HCl и потери	3,1	3,5	5,5	7,1	11,1
Выход продуктов конденсации, %	7,7	11,8	15,4	10,1	13,1
<i>Состав и характеристика продуктов реакции</i>					
Тетрахлорэтан, %	32,0	13,1	4,7	—	—
D_4^{20}	1,5563	1,5560	1,5550	—	—
Π_D^{20}	1,4840	1,4836	1,4840	—	—
M. B.	165	166	167	—	—
1,1-дифенилэтан, %	—	—	13,0	16,2	17,8
D_4^{20}	—	—	1,0067	1,0066	1,0068
Π_D^{20}	—	—	1,5761	1,5766	1,5760
M. B.	—	—	180	183	183,6
Трифенилэтан, %	—	—	—	18,7	27,3
Темп. плавл., °C	—	—	—	46—48	46—48
M. B.	—	—	—	251	253
Тетрафенилэтан, %	64,4	82,4	76,2	45,6	32,9
Темп. плавл., °C	205—207	205—207	205—207	205—207	205—207
Остаток	3,6	4,5	6,1	19,5	22,0

Во всех опытах бралось 234 г бензола, 131,5 г трихлорэтена (соотношение $C_6H_6 : C_2HCl_3 = 1 : 3$) и 36,5 г $AlCl_3$ (10% от суммы весов реагентов). Продолжительность опытов — 2 ч.

сации трихлорэтилена. Кроме физических константов сделаны элементные анализы каждой фракции.

Таким образом, исследованием реакции конденсации трихлорэтилена с бензолом в присутствии $AlCl_3$ найдено, что продуктом реакции являются фенилэтаны, выхода которых сильно зависят от температуры опыта. Установлено, что оптимальной температурой для синтеза тетрафенилэтана являются 10, 20°, а для ди-трифенилэтанов—70°. В оптимальных условиях выход тетрафенилэтана доходит до 76–82%, а ди- и трифенилэтанов соответственно 18 и 33%.

ЛИТЕРАТУРА

1. Гомберг. Вег. 33, 3150, 1900.
2. Гомберг. Вег. 34, 2726, 1901.
3. Рапп. Б., Корнев К. А. "Укр. хим. журнал", 1959, 25, № 3, 351–353.
4. Рожкова И. К. и др. ДАН Узб. ССР, 1959, № 1, 21–24.
5. Шмерлинг и др. J. Amer. Chem. Soc. 1959, 81, № 11, 2718–2723.
6. Исмайлов А. Г. "Азерб. хим. журнал", 1961, № 1, 23.
7. Мамедалиев Ю. Г. и Гусейнов М. М. Actes du dixième congrès international de catalyse—Paris, 1960.
8. Гусейнов М. М. и др. Уч. зап. Ун-та, 1964, № 3.
9. Гусейнов М. М. Труды конференции по нефти. Будапешт, 1962.
10. Гусейнов М. М. и др. Азерб. хим. журнал", 1964, № 4.
11. Мамедалиев Ю. Г.; Гусейнов М. М., Кичнева Л. Д. ДАН Азерб. ССР, 1961, т. XVII, № 2, 1961.
12. Мамедалиев Ю. Г., Гусейнов М. М. "ДАН СССР", 1960, т. 134, 5.

ИНХП

Поступило 7. VI 1965

М. М. Гусейнов, Т. А. Гэмбэррова, З. К. Мендиева, З. Г. Ярыјева

Бензолун $AlCl_3$ иштиракы илә трихлоретиленлә конденсләшмәси

ХҮЛАСӘ

Мәгаләдә бензолун $AlCl_3$ иштиракы илә трихлоретиленлә конденсләшмәсindән бәйс олунур.

Кениш температур интервалында (0°C -дан 70°C -јә гәдәр) $AlCl_3$ катализаторунун иштиракы илә бензолла трихлоретилен арасындакы реакција өјрәнилмишdir.

Апарылан тәчрубәләр заманы мүәјжәнләшдирилмишdir ки, бу реакција нәтичесинде фенилэтанлар алыныр. Айры-айры фенилэтанларын чыхымы тәчрубәнин температурудан соң асылыдыр.

10° температурда тетрафенилэтанын чыхымы реакција дахил олан бензол вә трихлоретиленнин мигдарынын чәминә көрә 82,4% олдуғу налда, 70° -дә aparылан тәчрубәдә 32%-ә дүшүр. 10° температурда aparылан тәчрубәдә ди вә трифенилэтанлар алынмадығы налда, 70° -дә 18% дифенилэтан, 27% трифенилэтан алыныр.

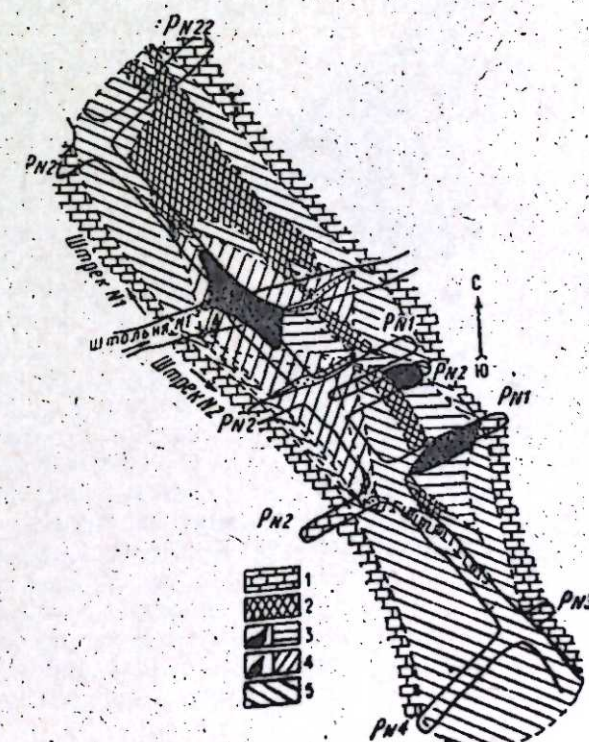
Фенилэтанлардан башга, ашағы температурларда aparылан тәчрубәләрдә тетрахлоретан алыныр ки, бу да трихлоретиленлә реакција нәтичесинде алынан HCl -ун бирләшмәсindән әмәлә кәлир.

С. М. СУЛЕЙМАНОВ, А. И. МАХМУДОВ

ТИПЫ И СОСТАВ КОБАЛЬТОВЫХ РУД ЮЖНО-ДАШКЕСАНСКОГО МЕСТОРОЖДЕНИЯ

(Представлено академиком АН Азербайджанской ССР Ш. А. Азизбековым)

Изучение вещественного состава руд и естественных минеральных ассоциаций Южно-Дашкесанского месторождения позволяет выделить следующие главные типы кобальтовых и кобальтсодержащих руд (см. рис. 1).



1. Аллоклазит-кобальтиновый
2. Глаукодот-данант арсенопиритовый
3. Кобальтпиритовый с редкими примесями сульфоарсенидов железа и кобальта

Из перечисленных типов кобальтсодержащих руд, главными для месторождения являются аллоклазит-кобальтиновый и глаукодот-данант-арсенопиритовый. Третий тип кобальтпиритовых руд имеет смешанный минералогический состав и изменчивые количественные соотношения между минеральными составляющими.

Указанные два типа руд (1 и 2 типы) в основном отражают парагенетические группы минералов, выделенные в составе кобальтоносной ассоциации.

1. Аллоклазит-кобальтиновые руды

Главными минералами этого типа руд являются кобальтин и аллоклазит, составляющие соответственно 60 (кобальтин) и 40% (аллоклазит) рудной массы.

Кобальтин и аллоклазит тесно ассоциируются с самородным висмутом, висмутином, пиритом I, халькопиритом I, магнетитом; в небольших количествах присутствует саффлорит, линнент и в единичных зернах — пирротин.

Для раннего типа руды характерно почти полное отсутствие арсенопирита, дананта, леллингита и глаукодота. Остальные минералы такие, как пирит II, сфалерит, галенит, молибденит, миллерит и электрум в ограниченном количестве присутствуют в результате наложения полисульфидного оруденения.

Аллоклазит-кобальтиновые руды локализованы в трещинах секущих скарны и на контактах в лежачем боку магнетитов юго-восточного и юго-западного участков месторождения.

Текстуры аллоклазит-кобальтиновых руд показаны на рис. 2. Мелкозернистый кобальтин и аллоклазит образуют вкрапленность, отдельные скопления и тонкие пересекающиеся прожилки, что создает пятнистую, пятнисто-прожилковую и тонкопрожилковую текстуры. Отдельные прожилки имеют небольшую мощность (до 1 см), в то время как рудная зона достигает мощности 25—50 см. В штреке № 2, рассечка № 1^к (штолня № 1) юго-восточного участка аллоклазит-кобальтиновые руды располагаются среди скарнов в магнетитовых залежах и имеют в основном пятнистую, вкрапленную и линзовидную текстуры.

Совершенно иной характер аллоклазит-кобальтиновые руды имеют в штреке № 2, рассечка № 1^к (штолня № 1), где кобальтин и аллоклазит в виде мелкозернистой равномерной вкрапленности заключен в скарновом, порfirитовом и карбонатном жильном материале. Характерной особенностью кобальтина и аллоклазита в карбонатных

прожилках является их интенсивная корродированность карбонатом до образования скелетных и реликтовых форм.

Интересны соотношения кобальтина, аллоклазита и магнетита. В ряде случаев магнетит поздней генерации отчетливо корродирует крупные хорошо образованные кристаллы кобальтина, аллоклазита и пересекает их в виде мелких прожилков. В то же время наблюдаются случаи развития кобальтина, аллоклазита по магнетиту, когда сильно корродированные зерна магнетита находятся в центре кристаллов кобальтина и аллоклазита. В последнем случае очевидно, что мы имеем дело с развитием кобальтина и аллоклазита по наиболее раннему магнетиту основной скарновой стадии рудоотложения.

Полисульфиды (пирит, халькопирит, молибденит, пирротин) в основной своей массе являются более поздними по отношению к кобальтину и аллоклазиту. Они отчетливо корродируют их. Их отложение близко по времени к образованию эпидота, актинолита и хлорита.

Аллоклазит-кобальтиновые руды уложены в скарнах и магнетитах.

Наиболее характерные аллоклазит-кобальтиновые руды под микроскопом наблюдаются в эпидот-кальцитовых прожилках, секущих измененный скарн с аномальным гранатом, эпидотом, кальцитом, реже хлоритом, иногда наблюдается приуроченность мелких неправильной формы зерен аллоклазита с мельчайшими включениями самородного висмута и висмутина к промежуткам между крупными идиоморфными зернами кобальтина.

2. Глаукодот-данант-арсенопиритовые руды

Главными минералами этого типа руд являются арсенопирит, данант и глаукодот, составляющие соответственно 40—50, 20—25 и 10—15% рудной массы. Постоянно, но в незначительном количестве присутствуют леллингит, кобальтин и пирротин, иногда — пирит I. Прочие минералы — халькопирит, пирит II, сфалерит и галенит в небольшом количестве появляются в результате наложения полисульфидной стадии минералообразования; в ничтожных количествах, в виде единичных зерен присутствуют миллерит и электрум.

Для данного типа руды характерно почти полное отсутствие аллоклазита.

Глаукодот-данант-арсенопиритовые руды хорошо наблюдаются в выработках штолни № 1, на юго-восточном участке в скарнированных порфириях, в кальцитовых прожилках (рис. 3), кроме того в эпидот-гранат-хлоритовых, гранат-магнетитовых и хлорит-эпидот-кальцитовых кородах.

Наиболее характерной текстурой для глаукодот-данант-арсенопиритовых руд является полосчатая. Реже встречается реликтовая микротекстура и гнездообразная.

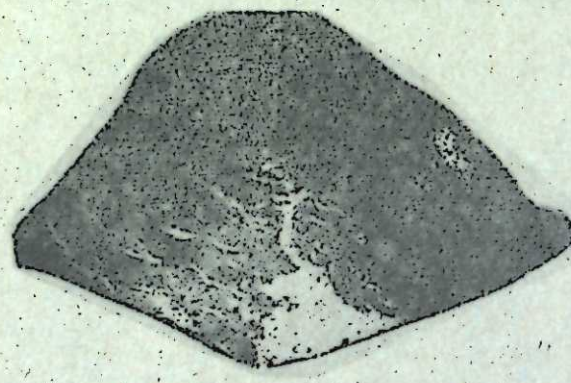


Рис. 2. Пятнистая текстура, образованная аллоклазитом и кобальтином в скарне. Полированный штуф, ув. х. 2 Юго-восточный участок, штолня № 1, рассечка 1 к.



Рис. 3. Полосчатая текстура, образованная глаукодотом, данантом и арсенопиритом в скарне. Полированный штуф, ув. 3 х. Юго-восточный участок, штолня № 1, штрек № 2.

3. Кобальтниппиритовые руды.

(рассеянное оруденение—сульфоарсенидное и сульфидное с примесями кобальта).

Основными минералами этого типа являются пирит (включая кобальтниппирит) и халькопирит, причем халькопирит всегда преобладает над пиритом в количественном отношении. Кроме того, в небольших количествах присутствуют кобальтин, глаукодот, арсенопирит, данант, леллингит, саффлорит, линнент, миллерит, сфалерит, галенит, пирротин, кубанит, в редких случаях—аллоклазит, валлернит и электрум.

Самостоятельного промышленного интереса этот тип руды не представляет, может быть использован лишь совместно с другими кобальтниевыми рудами. Встречается он почти во всех рудных зонах месторождения, но особенно распространено на Пир-Султанском участке. Кроме того, значительное распространение кобальт-пиритовые руды имеют на юго-восточном (штолня № 1) и юго-западном участках месторождения. Обнаруживаются они в скариах разного состава.

Текстурами, характерными для этого типа руды являются гнездообразная и вкрапленная.

Выделенные для месторождения 3 главных типа кобальт и кобальтодержащих руд отвечают лишь наиболее часто встречающимся минеральным ассоциациям. Кроме них в рудном поле наблюдаются другие, более сложные или более простые минеральные сочетания.

Общий характер распространения отдельных типов руд на месторождении иллюстрируется рис. 4.

ЛИТЕРАТУРА

1. Азизбеков Ш. А. Основные черты петрологии Северо-восточной части Малого Кавказа (Азербайджан). Изв. АН СССР, серия геол., 1944, № 2. 2. Крутов Г. А. Месторождения кобальта, М., 1959. 3. Махмудов А. И. Линнент, миллерит и виоларит из Южного Дашкесана. ДАН Азерб. ССР, 1964, т. XX, № 12. 4. Махмудов А. И. Некоторые новые минералы из Южного Дашкесана (самородный висмут, висмутин, электрум, саффлорит, кубанит и валлернит). ДАН Азерб. ССР, 1965, т. XXI, № 1. 5. Боришанская С. С., Крутов Г. А., Махмудов А. И. Аллоклазит из Южно-Дашкесанского железорудного месторождения (Азербайджанская ССР). ДАН СССР, т. 161, № 5, 1965. 6. Шишкян Н. Н. О высококобальтистой разновидности глаукодота Зап. Всес. минерал. общ.-ва. Вторая серия, ч. 91, вып. 1. Изд. АН СССР, 1962. 7. Эфендиев Г. Х. Гидротермальный рудный комплекс Северо-восточной части Малого Кавказа, 1957.

Кировабадский педагогический институт

Поступило 21. III 1966

С. М. Сулејманов, Э. И. Махмудов

Чәнуби Дашкәсән ятарлыкта кобалт филизинин типләри вә тәркиби

ХУЛАСӘ

Чәнуби Дашкәсән ятарлыкта кобалт филизинин минералокиасы вә тәбии минерал ассоциацияның өјрәнilmәси кобалт вә кобалтса-лајан филизләrin ашағыда башлыча типләрини аյырд етмәјә им-кан вәрир:

1. Аллоклазит—кобалтин;

2. Глаукодот-данант-арсенопирит;

3. Кобалтпирит (надир һалда дәмир вә кобалт сульфоарсенидләри-ин гарышыры илә бирликдә).

Бунлардан Чәнуби Дашкәсән ятарлыкта кобалт вә кобалтса-лајан филиз аллоклазит-кобалтин вә глаукодот-данант-арсено-пирит типләри сајылыр. Учүнчү тип—кобалтпирит филизи минераложи тәркибчә гарышыг вә дәжишкәндир.

Биринчи ики тип, эсас е'тибарилә, минераллар группу тәркибинде айрымш кобалтлашма ассоциацияны паракенетик олараг экс ет-дирир.

Аллоклазит-кобалтин филизи. Бу тип филиз үчүн эн башлыча минераллар кобалтин вә аллоклазитдир. Үмуми филиз күтләсими 60% кобалтин вә 40% аллоклазит минералы тәшкүл едир.

Кобалтин вә аллоклазит минераллары сәрбәст висмутла, висмутиндә пирит I, халкопирит I, магнетитлә сых ассоциация тәшкүл едир. Онларын тәркибинде аз мигдарда саффлорит, линнент вә чох надир һалда исә јеканә пирротин данәси иштирак едир.

Глаукодот-данант-арсенопирит филизи. Бу тип филиз үчүн эн башлыча минераллар арсенопирит, данант вә глаукодот сајылыр. Үмуми филиз күтләсими 40—50% арсенопирит, 20—25% данант вә 10—15% глаукодот тәшкүл едир. Данами сурәтдә аз мигдарда лјоллингит, кобалтин вә пирротин, арабир пирит I иштирак едир.

Кобалтпирит филизи (сәпинти сульфоарсенид вә сульфид филизләшмәси кобалт филизи илә бирликдә). Бу тип филиз үчүн эн башлыча минерал пиритдир (кобалтпирит вә халкопирит). Бундан әlavә, онун тәркибинде аз мигдарда кобалтин, глаукодот, арсенопирит, данант лјоллингит, саффлорит линнент, миллерит, сфалерит, пирротин, кубанит вә чох надир һалда аллоклазит данәләри, валлерит вә электрум иштирак едир.

РУДНЫЕ УЧАСТИКИ	ЮГО-ВОСТОЧНЫЙ	ЭМЕ-СУЛТАНСКИЙ	ЮГО-ЗАПАДНЫЙ
ТИПЫ РУД	○	□	○
АЛЛОКЛАЗИТ-КОБАЛЬТИНОВЫЙ	○	□	○
ГЛАУКОДОТ-ДАНАНТ-АРСЕНОПИРИТОВЫЙ	○	△	△
КОБАЛЬТИПРИРОДНЫЙ С РЕДКИМИ ПРИМЕСЯМИ СУЛЬФОАРСЕНИДОВ Fe и Co	○	○	○

0 1 2 3

Рис. 4. Распространенность типов руд на месторождении.

1—главный, 2—подчиненный, 3—резко подчиненный

месторождения. Обнаруживаются они в скариах разного состава.

Текстурами, характерными для этого типа руды являются гнездообразная и вкрапленная.

Выделенные для месторождения 3 главных типа кобальт и кобальтодержащих руд отвечают лишь наиболее часто встречающимся минеральным ассоциациям. Кроме них в рудном поле наблюдаются другие, более сложные или более простые минеральные сочетания.

Общий характер распространения отдельных типов руд на месторождении иллюстрируется рис. 4.

ЛИТЕРАТУРА

1. Азизбеков Ш. А. Основные черты петрологии Северо-восточной части Малого Кавказа (Азербайджан). Изв. АН СССР, серия геол., 1944, № 2. 2. Крутов Г. А. Месторождения кобальта, М., 1959. 3. Махмудов А. И. Линнент, миллерит и виоларит из Южного Дашкесана. ДАН Азерб. ССР, 1964, т. XX, № 12. 4. Махмудов А. И. Некоторые новые минералы из Южного Дашкесана (самородный висмут, висмутин, электрум, саффлорит, кубанит и валлернит). ДАН Азерб. ССР, 1965, т. XXI, № 1. 5. Боришанская С. С., Крутов Г. А., Махмудов А. И. Аллоклазит из Южно-Дашкесанского железорудного месторождения (Азербайджанская ССР). ДАН СССР, т. 161, № 5, 1965. 6. Шишкян Н. Н. О высококобальтистой разновидности глаукодота Зап. Всес. минерал. общ.-ва. Вторая серия, ч. 91, вып. 1. Изд. АН СССР, 1962. 7. Эфендиев Г. Х. Гидротермальный рудный комплекс Северо-восточной части Малого Кавказа, 1957.

Кировабадский педагогический институт

Поступило 21. III 1966

С. М. Сулејманов, Э. И. Махмудов

Чәнуби Дашкәсән ятарлыкта кобалт филизинин типләри вә тәркиби

ХУЛАСӘ

Чәнуби Дашкәсән ятарлыкта кобалт филизинин минералокиасы вә тәбии минерал ассоциацияның өјрәнilmәси кобалт вә кобалтса-лајан филизләrin ашағыда башлыча типләрини айырд етмәјә им-кан вәрир:

ДОБЫЧА НЕФТИ

М. Т. АБАСОВ, Ю. М. КОНДРУШКИН, Б. М. ЛИСТЕНГАРТЕН,
Ч. А. СУЛТАНОВ

**ВЛИЯНИЕ ПЛОТНОСТИ СЕТКИ СКВАЖИН НА КОНЕЧНЫЙ
ОХВАТ ЗАВОДНЕНИЕМ НЕФТЕНАСЫЩЕННОГО ОБЪЕМА
ЗАЛЕЖЕЙ**

(Представлено академиком АН Азербайджанской ССР Ш. Ф. Мехтиевым)

Существенным фактором, способствующим увеличению конечной нефтеотдачи пластов является достижение максимального охвата заводнением нефтенасыщенного объема залежей.

Степень охвата залежи заводнением зависит как от ряда природных параметров пласта и флюидов (неоднородность коллектора, соотношение вязкостей нефти и воды и др.), так и от применяемой системы разработки, в первую очередь плотности сетки скважин.

В настоящей статье анализу подвергнут ряд залежей подкирманской свиты Апшеронского полуострова, которые представляют собой тектонически изолированные нефтенасыщенные поля, расположенные в пределах Балаханы-Сабуичи-Раманинского (восточное поле площади Раманы), Бибиэйбатского (восточное и северное поля), Сурханского (северо-восточное поле) и Калинского (северо-западное поле) месторождений.

Указанные залежи характеризуются смешанным режимом и примерным сходством геолого-физических параметров пород и флюидов (соотношение вязкостей нефти и воды изменяется в небольших пределах 6,0–7,0).

Разработка залежей в начальный период проводилась по существу с максимально возможными отборами нефти из скважин. Характерным для всех залежей в начальный период разработки является дренирование их в основном при режиме растворенного газа и лишь спустя 3–4 года после начала разработки наблюдается активное продвижение контурных вод.

По мере вторжения краевых вод рост обводненности добываемой продукции в различных залежах происходил по-разному, вследствие этого примерно одинаковые величины текущей нефтеотдачи в отдельные этапы эксплуатации залежей, как видно из таблицы, достигались при различном содержании воды в продукции.

Залежи ПК свиты	Текущая нефтеотдача, %						Текущая нефтеотдача, %					
	Горючка- нефти, %	Горючка- нефти, %	Горючка- нефти, %	Горючка- нефти, %	Горючка- нефти, %	Горючка- нефти, %						
Восточное поле пл. Раманы	34,8	3,0	3,4	41,1	6,0	3,5	45,0	13,0	5,3	48,0	18,0	5,8
Восточное поле пл. Бибиэйбат	34,0	32,0	6,5	41,6	45,0	6,6	45,0	44,0	8,8	48,0	50,0	7,5
Северо-западное поле пл. Кала	35,3	4,5	2,5	41,0	7,1	3,1	45,0	14,7	4,4	48,0	30,0	5,8
Северо-восточное поле пл. Сурханы (гор. ПК первых)	34,1	45,0	7,5	38,0	63,0	7,6	—	—	—	—	—	—
Северо-восточное поле пл. Сурханы (гор. ПК новых)	30,0	70,0	11,3	—	—	—	—	—	—	—	—	—
Северное поле пл. Бибиэйбат	31,0	26,0	4,5	41,6	23,0	4,1	—	—	—	—	—	—

На рис. 1 приведена зависимость процентного содержания воды в добываемой жидкости от плотности сетки скважин для нескольких случаев, когда достигнутые величины нефтеотдачи по рассматриваемым горизонтам были примерно одинаковые. Плотность сетки скважин определялась как отношение текущей, в каждый отрезок времени, площади нефтеносности к фактическому числу работающих скважин.

Полученная зависимость свидетельствует о том, что в залежах, где плотность сетки скважин была меньше, обводненность полученной продукции, при примерно одинаковых величинах текущей нефтеотдачи, больше.

Если в Раманах, для определенного этапа разработки, при плотности сетки скважин 3,4 га/скв и текущей нефтеотдаче 24,8% обводненность продукции не превышала 3%, то для залежи горизонта ПК верхи северо-восточного поля Сурханской площади при плотности сетки разработки 7,5 га/скв примерно та же нефтеотдача (34,1%) была достигнута при обводненности продукции 45%.

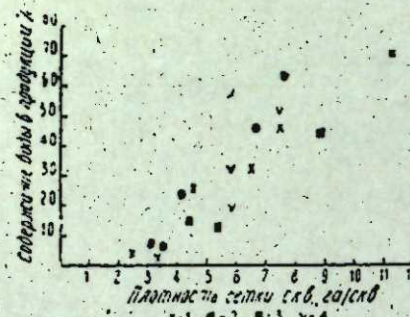


Рис. 1. Зависимость процентного содержания воды в добываемой жидкости от плотности сетки скважин: 1—нефтеотдача составляет 30–35% от начальных балансовых запасов нефти; 2—38–41%; 3—45%; 4—48%

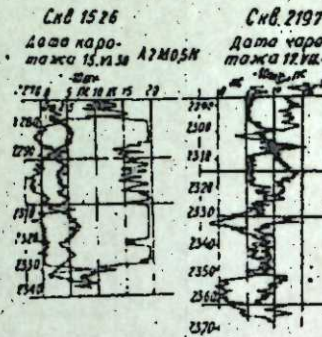


Рис. 2. Сопоставление электрокаротажных диаграмм скважин, пробуренных в начальный период разработки и после прохождения водонефтяного контакта

Это происходит вследствие того, что редкая сетка скважин при значительных отборах нефти способствует прорыву контурных вод вглубь залежи и быстро прогрессирующему ее обводнению. Отмеченное ухудшает условия для равномерного стягивания контура нефтеносности и, естественно, снижает вероятность более полного охвата заводнением нефтенасыщенного объема залежи, что отрицательно сказывается на конечной нефтеотдаче пласта.

Следует отметить, что уменьшение отборов в начальный период разработки, при разреженной сетке скважин, с целью регулирования продвижения водонефтяного контакта приводит к замедлению темпа разработки, а это, как показывают проведенные ранее исследования, в свою очередь существенно снижает конечную нефтеотдачу.

В связи с этим закономерно, что наиболее высокая конечная нефтеотдача—0,73 получена по залежи восточного поля Раманинской площади, которая характеризуется высоким охватом нефтенасыщенного объема залежи заводнением. Указанное, наряду с данными о характере изменения процентного содержания воды в продукции, подтверждается сопоставлением электрокаротажных диаграмм близко расположенных друг от друга скважин (рис. 2), пробуренных в восточной части этой залежи с разницей 12–15 лет, которое показывает значительное снижение кажущегося сопротивления по всей мощности

горизонта, что свидетельствует о равномерном вытеснении нефти за счет продвижения воды со стороны контура.

Таким образом, из изложенного следует, что разрежение сетки скважин, в условиях максимальных отборов нефти в начальный период разработки, приводит к преждевременному прорыву контурных вод в залежь и интенсивному обводнению добываемой продукции, что способствует снижению коэффициента схематического затенения, и уменьшает конечную нефтеотдачу.

Институт проблем глубинных нефтегазовых месторождений

Поступило 22. VII 1965

М. Т. Абасов, Ж. М. Кондрушкин, Б. М. Листенгарден, Ч. А. Султанов

Түүлар шабакасы сыйлыгынын жатағын нефтиң һиссәсінин су илә нәһајет әнатә олунмасына тәсирі

ХУЛАСӘ

Мәгаләдә Абшерон јарымадасынын тектоник чәһәтчә изоле едилмиш нефти саһәләри олан бир сырға жаталарында Рамана (шәрг тектоник саһәси), Бибиһејбәт (шәрг вә шимал саһәләри), Сурханы (шинал-шәрги саһә), Гала (шинал-гәрби саһә), Кирмәнилты дәстәнин мә'лumatлары тәһлил едилүр.

Көстәрилән жаталар гарышыг режим вә сүхурларын, һәмчинин лајдақы флюсидин қеоложи-физики параметрләринын охшарлығы илә характеристизә олунур. Илк дөвләрдә жатағын ишләнилмәс әслиндә максимум нефтьхарма илә характеристизә едилүр.

Мәгаләдә көстәрилүр ки, максимал нефтьхарма дөврүндә гүулар шабакасында сејрәлдилмәс контур суларынын вахтыдан эввәл нефти саһәјә дахил олмасына, бунунда да чыхарылан мәңсулун интенсив суламасына сәбәб олур. Бу нал исә лајын нефтвермә әмсалыны азалдыры.

ГЕОЛОГИЯ НЕФТИ

А. Д. АЛИЕВ, Ю. П. БАЖЕНОВ

К ВОПРОСУ О ТЕКТОНИЧЕСКИХ СООТНОШЕНИЯХ СМЕЖНЫХ
ЗОН АДЖИНОУРА, МЕЖДУРЕЧЬЯ КУРЫ И ИОРИ
И ВОСТОЧНОЙ ГРУЗИИ

(Представлено академиком АН Азэробайджанской ССР А. Д. Султановым)

В общепринятой тектонической схеме В. Е. Хайна [5] рассматриваемая нами территория входит в состав Ширакско-Аджиноурского антиклиниория, распадающегося на ряд антиклиниориев и синклиниориев более низкого порядка. В пределах последних выделяется ряд складчатых зон или линий, с расположенными на них отдельными антиклинальными поднятиями.

В работах предыдущих исследователей [1, 4, 7] в основном освещаются вопросы геологического строения интересующих нас областей раздельно, правда, в некоторых из них высказываются предположения о вероятном продолжении тех или иных складчатых зон, но в целом тектонические соотношения этих областей пока остается невыясненными. В данной работе нами делается попытка взаимно увязать тектонику участков Аджиноура, междуречья Куры и Иори и Восточной Грузии, что представляет практический интерес в части выявления перспективно нефтегазоносных структур. На территории рассматриваемых участков наиболее широкое развитие имеют миоценовые и плиоценовые отложения, причем уже в юго-восточной части междуречья Куры и Иори миоценовый комплекс почти полностью погружается под плиоценовые образования. Это обстоятельство затрудняет непосредственное прослеживание отдельных тектонических линий междуречья Куры и Иори и Восточной Грузии на территории Аджиноура.

В системе миоцен-плиоценовой складчатости рассматриваемых участков междуречья Куры и Иори и Восточной Грузии [1, 2, 4, 5] более или менее ясно намечается не менее 10 тектонических линий (рис. 1, 2), из которых на территории Аджиноура наиболее уверенно удается проследить только 5 линий [6, 7], почти полностью укладывающихся в границах Чатминско-Геокчайского антиклиниория и Мирзаано-Арешского синклиниория. Если в общем тектоническом плане Ширакско-Аджиноурского антиклиниория положение складчатости Аджиноура более или менее определено, то при прослеживании отдельных тектонических линий как в СЗ, так и в ЮВ направлениях приходится сталкиваться с определенными трудностями и неясностями.

Особенно это касается северных складчатых линий Аджиноура и в первую очередь Дашиб-Амирванской складчатой зоны.

В пределах Дашибского хребта наиболее твердо установлена одна крупная антиклинальная складка (рис. 1), разделенная на две половины, западная из которых (№ 1) замыкается на правобережье р. Ала-зани. Наиболее вероятным продолжением этой складчатой линии в северо-западном направлении является антиклиналь Каладараси (№ 2). Дальнейшее же прослеживание ее несколько затруднительно, т. е. северо-западная переклиналь этой структуры занимает какое-то промежуточное положение между Тарибанской (№ 3) и Диодгорской (№ 4) структурами. Примерно такое же положение относительно названных структур занимает и юго-восточное окончание Каргохской антиклинали (№ 5).

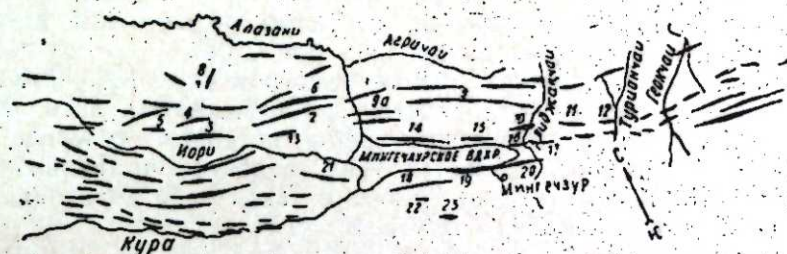


Рис. 1. Тектоническая схема Восточной Грузии, Междуречья Куры и Иори и Аджиноура по данным глазомерного и инструментального картирования и структурно-поискового бурения

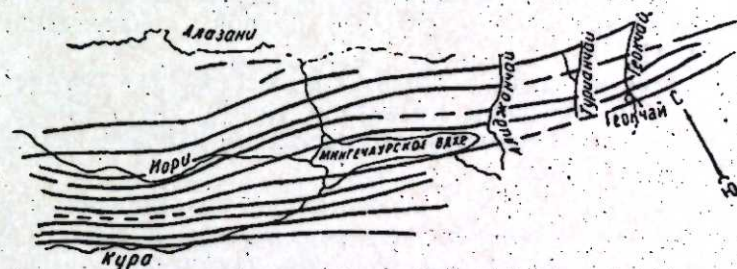


Рис. 2. Схема предполагаемого сопряжения основных складчатых линий Восточной Грузии, Междуречья Куры и Иори и Аджиноура

Между антиклиналями №№ 3, 4 расположена значительных размеров синклиналь, которая прослеживается в юго-восточном направлении и отделяет Каладарасинскую антиклиналь от антиклинальных складок Патара-Шираки-Овлетавская (№ 6).

Таким образом, Каладарасинская и Тарибанская антиклинали оказываются расположенными по одну сторону одной и той же синклинали. Это дает возможность отнести их к одной складчатой линии со структурами Дашибского и Амирванского хребтов (рис. 2).

Значительно сложнее обстоит дело с прослеживанием в Аджиноуре более северных структур, развитых уже в пределах Красно-Кодольско-Дашибского антиклиниория на территории Восточной Грузии и приуроченных к полосе юрских известняковых утесов Краснокодольского типа. Некоторые структуры, развитые в зоне Краснокодольских утесов, имеют необычное большинству поднятий южного склона Большого Кавказа юго-запад-северо-восточное простирание. К ним относятся Чалаерская (№ 7), Мкрайхевская (№ 8) и другие антиклинальные поднятия.

Полоса юрских утесов, сложенных в большинстве случаев мраморизованными и брекчевидными известняками и порфиритами, имеет региональное протяжение и прослеживается как к северо-западу от с. Цители-Цкаро (Красные колодцы), так и к юго-востоку от него на территории Аджиноура (Дашбулахские или Бюргутские, Талыстанские, Саргадарские и другие утесы).

Линейное расположение этих утесов, а также почти всюду одноковое соотношение, участающих в их строении известняков с порфиритами, навело многих исследователей на мысль о существовании здесь древнего поднятия, изолировавшего Алазано-Агрчайскую долину от долины р. Куры.

По мнению некоторых исследователей [3, 5, 6], данное поднятие с момента своего возникновения (с юрского периода) на многих участках неоднократно погружалось под уровень моря. Вполне возможно, что простирание вышеупомянутых структур обусловлено влиянием на их формирование отдельных древних выступов.

На территории Аджиноура вблизи выступов более древних отложений не наблюдается на поверхности явно выраженных антиклинальных поднятий. Лишь на Дашибском хребте, несколько севернее Дашибулакских утесов, прослеживается увал, вероятно, антиклинального строения, который пока трудно увязать с какой-либо антиклинальной линией на территории Восточной Грузии.

Южнее Дашибско-Амирванской складчатой зоны в Аджиноуре выделяются так называемые Кудбарекдагская и Аджиноур-Хошавандская складчатые линии, разделенные огромной Арешской синклиналью, которая резко суживается в районе р. Алиджанчай, вследствие сближения Камыканских складок (№ 1) с группой Хошавандских поднятий (№№ 10, 11, 12 и т. д.).

Кудбарекдагская складка (№ 9 а) на юго-востоке кулисообразно соединяется с Камыканским поднятием (№ 9). Дальнейшее продолжение этой складчатой линии в юго-восточном направлении не совсем ясно.

По данным гравимагнитных исследований, произведенных в 1934 г. (Г. Г. Тумикян, Н. В. Монина) на юго-восточном окончании Камыканского поднятия, в районе сел. Каябashi, намечается полоса максимумов, прослеживаемых в сторону с. Ивановка. Южнее этой полосы протягивается зона минимальных значений силы тяжести, которая довольно резко разделяет Камыкансскую и Хошавандскую группы складок.

Вполне возможно, что Кудбарекдаг-Камыканская складчатая линия продолжается в юго-восточном направлении вдоль полосы Каябashi-Ивановских максимумов. Сопряжение Кудбарекдагской антиклинальной линии с западными структурами полностью не выяснено. По характеру складчатости ей более всего соответствует Эльдарская (Кесаманская) антиклиналь (№ 13). Но согласно схеме тектонического районирования М. Г. Агабекова и А. В. Мамедова [1], Кудбарекдагская антиклиналь располагается в пределах Мирзаано-Арешского синклиниория, а Эльдарская складка уже попадает в Чатминско-Геокчайский антиклиниорий.

При таком районировании Кудбарекдагская складчатая линия не находит своего продолжения в пределах Мирзаано-Арешского синклиниория. При ином положении южной границы Мирзаано-Арешского синклиниория получается несколько другая картина. Если сместить эту границу несколько к северу, то можно легко наметить северо-западные продолжения как Кудбарекдагской, так и расположенной южнее

Аджиноур-Хошавандской складчатых линий в системе антиклинальных поднятий Чатминской зоны. Однако вопрос о проведении границ между крупными тектоническими единицами требует дальнейшего более глубокого изучения, а поэтому высказанное нами мнение не является окончательным. Аналогичная картина наблюдается с прослеживанием в северо-западном направлении Коджашен-Геокчайской складчатой линии (антиклинальные поднятия №№ 14, 15, 16 и т. д.) и Боздаг-Караджинской группы складок (антиклинали №№ 18, 19, 20). Если тектоническое положение первой в системе складок Чатминской зоны не вызывает сомнений, то принадлежность к этой зоне Боздаг-Караджинской группы складок может оспариваться. На тектонической схеме Д. А. Булейшвили [4] эта группа складок, совместно с расположенной в междуречье Куры и Иори Малой Палантекянской антиклиналью (№ 21) отнесена к другой зоне — Джейранчельскому синклиниорию (согласно наименованию М. Г. Агабекова и А. В. Мамедова).

Складчатые сооружения Джейранчельского синклиниория восточнее Мингечаурского водохранилища не прослеживаются. Несколько южнее Боздагской группы складок располагаются небольшие изолированные антиклинальные поднятия Бозори (№ 22) и Дуздаг (№ 23), которые, по всей вероятности, составляют продолжение отдельных складчатых линий Джейранчельского синклиниория.

Из всего изложенного можно сделать следующие выводы:

1. Тектоника смежных участков Восточной Грузии, междуречья Куры и Иори и Аджиноура отличается значительной сложностью.

2. Большинство тектонических линий Аджиноура продолжается в северо-западном направлении в пределы Восточной Грузии и междуречья Куры и Иори. Это является доказательством того, что складчатость этих областей развивалась по единому плану.

3. Некоторые поднятия, развитые на территории Восточной Грузии, имеют антикавказское простирание, что обусловлено влиянием на их формирование древних мезозойских выступов.

4. Складчатость рассматриваемых областей носит в основном линейный характер и лишь местами наблюдается кулисообразное расположение складок.

Изучение нефтегазопроявлений в отложениях сарматского яруса показывает наиболее благоприятные условия для их первоочередной разведки в пределах Чатминской зоны в смежной полосе Аджиноура, междуречья Куры и Иори и Восточной Грузии. Дальнейшие исследовательские работы, с целью выявления перспектив нефтегазоносности олигоцен-миоценового комплекса, должны быть сосредоточены именно здесь. Кроме того, в Чатминской зоне приобретают важное практическое значение перспективно нефтегазоносные по мезозойским отложениям структуры Алачикская, Армудлинская и др.

ЛИТЕРАТУРА

1. Агабеков М. Г., Мамедов А. В. Геология и нефтегазоносность Западного Азербайджана. Азернефтишр, 1960.
2. Ахмедбейли Ф. С. Неотектонические движения и их отражение в структуре предгорий Большого Кавказа. Азернефтишр, 1962.
3. Баженов Ю. П. Геологический отчет Аджиноурской тематической партии в 1958—1961 гг., тт. I, II. Фонд Азморнефтеразведка.
4. Булейшвили Д. А. Геология и нефтегазоносность межгорной впадины Восточной Грузии. Гостоптехиздат, 1960.
5. Хани В. Е., Шарданов А. Н. Геотектоническая история и строение Куринской впадины. Изд-во АН Азерб., ССР, 1952.
6. Ширинов Ф. А. Некоторые новые данные о тектонике северного борта Куринской депрессии „Нефть и газ“, 1958, № 12.
7. Ширинов Ф. А., Баженов Ю. П. Геологическое строение предгорий южного склона Большого Кавказа. Азернефтишр, 1962.

Институт геологии

Поступило 13. VII 1965

**Һачыноһур, Күр вә Иори чајлары арасы вә Шәрги Күрчүстән
гоншу зоналарының тектоник әлагәләри мәсәләсинә даир**

ХУЛАСӘ

Мәгаләдә Һачыноһур, Күр вә Иори чајлары арасы вә Шәрги Күрчүстән гоншу саһәләриниң тектоникасының гарышылыгы әлагәләндирilmәсine чәһd едилir. Bu саһәләрин Миосен-Плиосен гырышылыгы системинде изләmәси вә гарышылыгы әлагәләндирilmәsi бир сыра тектоник хәтләrin варлығыны ашкара чыхарыр. Һачыноһур вилајети Дашдүз гырышығыны Шәрги Күрчүстәнин Галадәрәси вә Таребани гырышылары илә bir тектоник хәттү үзәринde јерләшмәсииhин мүмкүн олmasы фикри сөјләнилir. Кудбәрәкдағ вә Һачыноһур-Хошабендә гырышылыгы хәтләri арасында тектоник әлагәләrә даир мә'лumat верилилir. Кудбәрәкдағ тектоник хәтти илә гәрбдә Елдар (Кәсәмәn) антиклиналы арасында мүмкүн ола биләn әлагә нағында фикри сөjләнилir. Бунуна бирликдә, Мирзән-Ареш синклиниориси илә Гатма-Көйчәj антиклиниориси арасында сәрһәddin дәгигләшdirilmәsine даир мәсәлә dә гојулur. Белә ki, bu тектоник вәнилләr арасында сәрһәddin мөвчүd налында Һачыноһур, Күр вә Иори чајлары арасында саһәнин гырышыларыны әлагәләndirmәk чох чәтиндир. Bu сәрһәd аjры-аjры тәдгигатчылар тәrәfinдәn мұхтәлиf чур кечирилir. K. Палантекәn антиклиналынын вәзиijeti хүсусилә дәгигләшdirilmәlidir. Bә'zi тәдгигатчылар бу антиклиналы Чатма-Көйчәj антиклиниорисине, дикәrlәri исә Җеjранчел синклиниорисине and едирләr.

Мәгаләниhин сонунда мүэллифләr Һачыноһур, Күр вә Иори чајлары арасы саһә вә Шәрги Күрчүстән гоншу зоналарында Олигосен-Миосен чекүntүләриниң нефт-газлылыг перспективилиjини ашкар etmәk мәгсәdi илә кәләчәk тәдгигат ишләрини чәмләшdirmәji мәсләhät көрүrlәr. Bu нәгөjei-nәzәrdәn Гатма зонасыныh Алачыg, Армудлу структурлары хүсусилә дигтәti чәлб еdir.

ГЕОЛОГИЯ НЕФТИ**Б. И. СУЛТАНОВ**

**РАЗЛИЧНЫЕ ФАЗЫ КОНДЕНСАЦИОННЫХ ВОД И ИХ
ЗНАЧЕНИЕ ПРИ ПОДСЧЕТЕ ЗАПАСОВ
ГАЗОКОНДЕНСАТНЫХ ЗАЛЕЖЕЙ**

(Представлено академиком АН Азербайджанской ССР А. Д. Султановым)

В пределах газоконденсатной залежи нами установлен особый тип вод, названный конденсационными водами. Эти воды отличаются как от обычных земных вод, так и вод нефтяных месторождений спецификой физико-химического состава и условиями образования.

Формирование конденсационных вод конденсатных залежей ПТ Апшерона нам представляется в следующем виде. В зонах больших глубин — высоких давлений и температур, органические вещества и сопутствующие им воды, находящиеся в однофазовом—газовом и паровом состоянии, подчиняются законом ретроградной конденсации (вернее ретроградного испарения).

Под влиянием постоянно действующих тектонических подвижек смесь газов органических углеводородов и водяных паров мигрирует из области депрессии в сторону регионального поднятия—относительно меньших давлений и температур, и аккумулируется по пути в ловушках.

В коллекторах пары воды, успевшие сконденсироваться, накапливаются в двух фазах. Одна часть водяных паров заполняет поры породы, оставаясь в определенных термодинамических условиях в виде паров, а другая часть водяных паров находится в растворенном виде в сжатых углеводородных газах.

Количество пара, растворенного в углеводородной смеси, в зависимости от давления и температуры может достигать ощутимых величин.

Как показывают экспериментальные исследования Т. П. Жузе и других наших и зарубежных исследователей, растворимость воды в метане при условиях, близких к условиям газоконденсатных залежей превышает 3 кг на 1 м³.

При повышенных температурах и давлениях растворимость водяных паров в газе может доходить до 13 кг на 1 м³. В газах, обогащенных высшим гомологом метана растворимость паров воды в газовой смеси повысится еще больше.

Пользуясь специфическим физико-химическим составом конденсационных вод, мы подсчитали в продукции скважин количественное

соотношение конденсационных вод с другими гравитационными водами пласта. Количество конденсационных вод в продукции скважин не остается постоянным и изменяется в больших пределах; так в одной из скважин Зырянского месторождения количество конденсационной воды, растворенной в газовой смеси, изменяется от 2 до 20%. Относительное же содержание конденсационной воды ко всей добываемой из пласта воды на определенном этапе разработки доходило по приближенным подсчетам до 40%. Следует отметить, что приведенные выше величины процентного содержания конденсационной воды, подсчитанные в поверхностных условиях, значительно меньше по сравнению с суммарным содержанием их (растворенных паров) в сжатых газах в пластовых условиях. Во-первых, при расчетах принимались во внимание лишь конденсационные воды, полученные из продукции скважин в поверхностных условиях, содержание которых в промысловых условиях или вовсе не учитывалось, или учитывалось приближенно. Во-вторых, при понижении давления и в особенности температуры, при вскрытии пласта часть водяных паров конденсата, переходящая из паровой фазы в жидкостную, также не участвует в расчетах. Кроме этого в расчет не принималось количество водяных паров, не успевших конденсироваться в поверхностных условиях из конденсатной смеси и уносившихся в газовой смеси. Из изложенного следует, что наличие конденсатных вод требует внесения определенных и довольно существенных поправок в подсчетные формулы запасов газоконденсатных залежей.

Мы до сих пор говорили о водяных парах, находившихся в растворенной фазе в сжатых углеводородных газах и не коснулись водяных паров, сконцентрированных в парах коллекторов в паровой фазе.

Упругость этих водяных паров в пластовых условиях (при больших глубинах и высокой температуре) может достигнуть больших величин и существенно повлиять на характер изменения диаграммы динамики пластовых давлений.

Таким образом, указанные фазы конденсационных вод существенно влияют на количество, характер поведения углеводородной смеси в пластовых условиях и требуют внесения определенных поправок в расчетные формулы подсчета запасов газоконденсатных залежей как при применении объемного метода, так и метода падения давления.

ЛИТЕРАТУРА

1. Жузе Т. П. Растворимость веществ в сжатых газах и значение этого явления для геологии нефти. Труды ин-та геологии и разработки горючих ископаемых, 1960, т. 2. Изд. АН СССР. 2. Султанов Б. И. Глубинные конденсационные воды газоконденсатных месторождений и условия их формирования. ДАН Азерб. ССР, 1961, № 12.

АЗИНЕ ФТЕХИМ

Поступило 12. VI 1965.

Б. И. Султанов

Конденсат суларын мұхтәлиф фазалары вә онларын газ-конденсат жатагларынын ентијаты несабатында әһәмійдәти

ХУЛАСӘ

Мәгәләдә газ-конденсат жатагларында конденсат суларын әмәлә кәлмәси шәралтиндән бәйс едилүр.

Петроград вахты сулар икінші фазада олур; бир һиссәси пар һалында миграция едиб коллекторларын мәсамәләрини долдурур, дикер һис-

сәси исә мүәлжән һәрапәт вә тәзілг шәралтиндә карбоидрокен гарышында һәлл олур.

Мәгәләдә карбоидрокенләрдә һәлл олунмуш сулар һагында бирсыра нәзәри вә тәчрүбәви мә'лumatлар верилир. Һәмин сулар мүәлжән спесифик күмжәви тәркибә маликдир вә буна әсасланыраг газ-конденсат жатагларында онларын фазалә мигдарыны билмәк олар. Бу, газ-конденсат жатагларынын ентијатыны несабатларкән нәзәрә алымалыдыр..

ГЕОЛОГИЯ НЕФТИ

Г. К. АЛИФОВ

ОСОБЕННОСТИ АНТИКЛИНАЛЬНЫХ СТРУКТУР
ТАЛАБИ-КЫЗЫЛ-БУРУНСКОЙ ТЕКТОНИЧЕСКОЙ ЗОНЫ
ПРИКАСПИЙСКО-КУБИНСКОЙ ОБЛАСТИ

(Представлено академиком АН Азербайджанской ССР М. В. Абрамовичем)

Талаби-Кызылбурунская тектоническая зона охватывает Талабинскую, Шабранчайскую, Кайнарджинскую и Кызылбурунскую антиклинальные структуры, которые были установлены по данным гравиметрических работ как ряд локальных максимумов силы тяжести. И. О. Цимельзон [6] связывает эти аномалии с тектоникой мезозойских отложений.

Последующие геологопоисковые и разведочные работы подтвердили указанные структурные единицы и по верхне-миоценово-плиоценовому комплексу [3].

Антиклинальные поднятия Талаби-Кызылбурунской тектонической зоны, сочленяясь в общем четкообразно (рис. 1), простираются по изогнутой линии с юго-востока на северо-запад параллельно тектонической линии Тенгино-Бешбармакского антиклиниория, отделяясь от последнего неглубокой и узкой синклиналью, сложенной отложениями аналога продуктивной толщи.

В настоящей статье рассматриваются тектонические особенности строения Шабранчайской и Талабинской антиклинальных структур.

Шабранчайская антиклинальная складка по слоям pontического яруса по подземной горизонтали 1200 м имеет длину 12 км и ширину 3250 м, высота складки 250 м.

Складка сложена отложениями от мезозоя до верхнего плиоцена и имеет асимметричное строение.

Северо-восточное крыло складки, сложенное на поверхности отложениями ашхеронского, акчагыльского ярусов и аналогами продуктивной толщи, имеет углы падения от 14 до 22° в северо-восточной части крыла, а к юго-востоку углы падения возрастают до 40°.

Юго-западное крыло более крутое и имеет углы падения 20–25°.

Наиболее повышенная часть структуры проходит в районе крелиусовых скважин №№ 8–18–21.

Юго-западное крыло вогнуто, осложнено продольным нарушением взбросового типа, причем юго-западный блок приподнят относительно

северо-восточного блока. Амплитуда взброса определяется примерно в 100–150 м.

Указанное нарушение имеет незначительное протяжение, так как на северо-западе по скв. №№ 30–29–27–31 и на юго-востоке по скв. №№ 33–38–40 оно уже не прослеживается. Нарушение сплошности слоев, которые наблюдаются по плиоцену, как было указано нами ранее [4], очевидно затухает в комплексе пластичных пород миоцена.

С продвижением на северо-запад от р. Шабранчай шарнир Шабранчайской антиклинали, погружаясь, образует неглубокую седловину, сложенную породами верхнего плиоцена. Далее на северо-запад в районе скважин №№ 30–29–27–26 шарнир вновь возвращается и переходит на Талабинскую складку.

Талабинская антиклинальная складка расположена в междуречье Вельвеличая и Кудиалчая, имеет общую протяженность по кровле pontического яруса по отметке подземной горизонтали 1000 м 19,5 км при ширине 3 км, высота складки 1250 м. Складка асимметрична, причем северо-восточное крыло более крутое и имеет углы падения 23–45°, а юго-западное крыло вогнуто, более пологое с углами падения 22–25°.

Юго-восточное крыло складки осложнено поперечным разрывом взбросового характера. Амплитуда взброса, достигая 150–170 м по плиоценовым слоям, с глубиной, очевидно, затухает и не проходит глубже миоценового комплекса пород. Указанное нарушение имеет протяженность около 3 км и проходит с юго-запада на северо-восток по долине р. Бабачай в р-не крелиусовых скважин №№ 18–12–36.

Как видно, в региональном плане с юго-востока на северо-запад от Кайнарджинской антиклинали, шарнир Талаби-Кайнарджинской тектонической зоны по слоям плиоцена претерпевает 2 ундуляции, наиболее приподнятые участки шарниров соответствуют Шабранчайской и Талабинской антиклинальным структурам.

Кроме того, наблюдается общее погружение шарнира указанной зоны с юго-востока на северо-запад, на что указывает тот факт, что если на своде Кайнарджинской антиклинали выступают на дневную поверхность слои нижнего плиоцена, то свод Шабранчайской

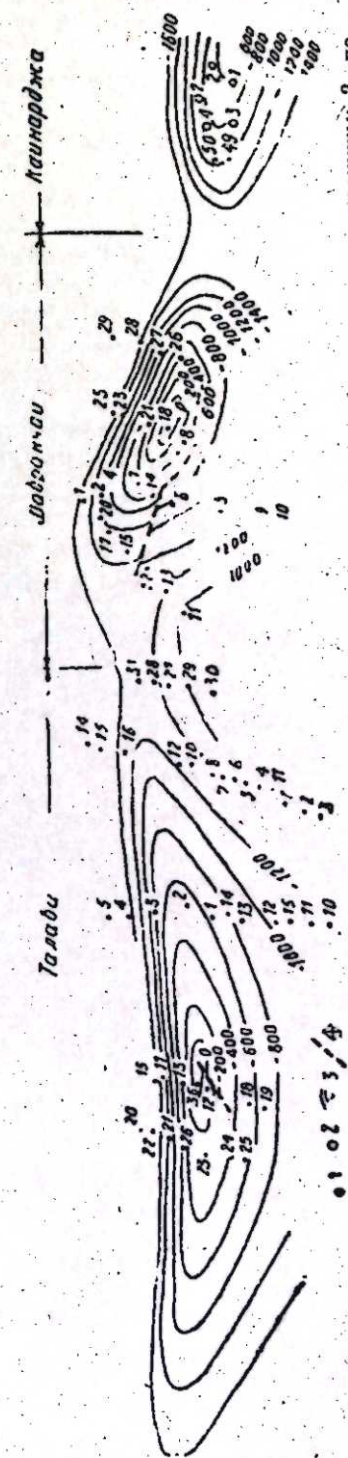


Рис. 1. Талаби-Шабранчай-Кайнарджай-Кайнарджай-Кайнарджай. Структурная карта по кровле pontического яруса: 1—структурные скважины; 2—по-понтическому ярусу; 3—изолинии; 4—линии нарушения.

антеклинали сложен отложениями среднего плиоцена и, наконец, на своде Талабинской складки мы наблюдаем слои верхнего плиоцена.

Особенностью тектонического строения Шабранчайской и Талабинской антиклинальных складок является указанное рядом исследователей [1, 6] несоответствие между планом складчатости древних и более молодых отложений.

На основании приведенных геофизических работ по Кусаро-Дивичинскому синклиниорию [1] установлено, что палеогеновые и неогеновые прогибы закономерно перемещаются (мигрируют) с юга-запада на северо-восток, это указывает на то, что своды антиклинальных поднятий в более молодых отложениях не будут совпадать со сводами поднятий более древних комплексов.

В. Е. Хайн и Ф. С. Ахмедбейли [5] в пределах Кусаро-Дивичинского синклиниория выделяют 4 структурных этажа: нижне- и средненеурский, верхнеурско-меловой, палеоген-нижнеплиоценовый и среднеплиоценово-антропогеновый.

В результате последующих исследований Г. А. Ахмедов, С. Г. Салаев, К. А. Исмаилов [2], выделяют три структурных этажа юрско-меловой, палеоген-мiocеновый и плиоценовый.

С точки зрения проведения поискового бурения на указанных антиклинальных структурах и учитывая, что основными перспективными нефтегазоносными комплексами являются миоцен-олигоценовые и мезойские отложения, мы также считаем правильным выделение трех структурных этажей—юрско-мелового, палеоген-мiocенового и плиоценового.

Полученные нами новые данные при бурении поисковых скважин на площадях Кызылбурун и Кайнарджа также подтверждают закономерное перемещение сводов структур плиоценовых отложений на северо-восток относительно сводов структур миоценового комплекса.

Так, по скважинам № 6 площади Кызылбурун и № 7 площади Кайнарджа по кернам изменение углов падения с глубиной отмечается в следующем порядке (таблица).

Скважина № 6			Скважина № 7			Структурные этажи
Глубина, в м	Стратиграф. единица	Угол падения слоев	Глубина, в м	Стратиграф. единица	Угол падения слоев	
1187	Кровля среднего отдела аналогов продуктивн. толщи	51°	487	Кровля среднего отдела аналогов продуктивн. толщи	39°	I
1933	Кровля сарматского яруса	40°	1531	Кровля сарматского яруса	61°	II
3691	Кровля чокракского горизонта	21°	—	—	—	II+1758 м

Необходимо отметить, что скв. № 6 заложена на юго-западном крыле, а скв. № 7 на северо-восточном.

Как видно из таблицы, в связи с миграцией сводов по скв. № 6 углы падения с глубиной уменьшаются, а по скв. № 7 возрастают.

В свете новых данных нами построены схемы соотношения планов складчатости древних и более молодых отложений по Шабранчайской и Талабинской антиклинальным складкам (рис. 2 и 3).

Как видно из рис. 2, по Шабранчайской антиклинальной складке миграция свода структуры по миоценовым слоям относительно мезо-

зойского плана складчатости происходила с сохранением направления оси с юго-запада на северо-восток, величина смещения при этом составляет примерно 880—900 м.

По Талабинской антиклинальной складке смещение сводов происходило с некоторым отклонением от параллельности осей сводов миоценового комплекса относительно мезозоя (рис. 3); структура по мезозою от юг-юго-восток-север-северо-западного направления постепенно по кровле миоценова принимает юго-восток-северо-западное направление. Величина смещения сводов миоценова относительно мезозойской структуры составляет примерно 950—1000 м.

Соотношения складчатости и величины смещения сводов структур миоценового и мезозойского комплекса являются важными данными, которые должны приниматься во внимание при заложении поисковых скважин на Шабранчайской и Талабинской антиклинальных структурах.

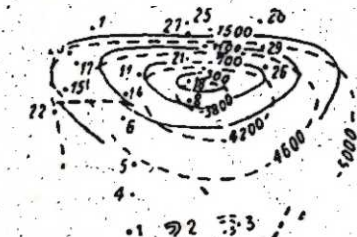


Рис. 2. Шабранчай. Структурная схема: 1—структурные скважины; 2—изолинии по кровле сарматского яруса; 3—изолинии по кровле верхнего мела; 4—линии нарушений.

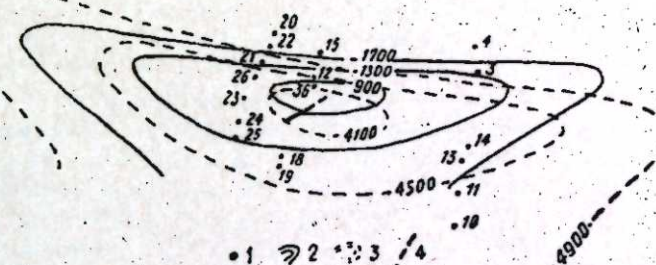


Рис. 3. Талаби. Структурная схема: 1—структурные скважины; 2—изолинии по кровле сарматского яруса; 3—линии по кровле верхнего мела; 4—линии нарушений.

ЛИТЕРАТУРА

- Андреев А. И. К вопросу изменения плана складчатости в пределах северо-восточного склона. Б. Кавказа (Кусары-Дивичинский район). Сб., научно-техническая информация, вып. II, вопросы геофизики, АЗИНТИ, 1959.
- Ахмедов Г. А., Салаев С. Г., Исмаилов К. А. Перспективы поисков нефти и газа в мезозойских отложениях юго-восточного Кавказа. Азернефть, 1961.
- Набиев Х. Я. Геологический отчет о производстве структурно-поискового бурения на площади западная Кайнарджа (Шабранчай), 1960 г., фонд АНР.
- Салаев С. Г., Алифов Г. К. Перспективы нефтегазоносности Талаби-Кызылбурунской тектонической зоны Прикаспийско-Кубинской области. ДАН Азерб. ССР*, 1963, № 8.
- Хайн В. Е., Ахмедбейли Ф. С. Материалы по геологии северо-восточного Азербайджана. Изд. АН Азерб. ССР, 1957.
- Цимельсон И. О. Тектоника Прикаспийско-Кубинской нефтегазосной области Азербайджана по данным геофизических исследований. НИГ геология, 1957, № 6.

Поступило 21. IX 1954

Институт геологии

Н. Г. Элифов

Хәзәрјаны—Губа вилајетинин Тәләби-Гызылбурун тектоник зонасының антиклинал структурларының ҳүсусијәтләри

ХУЛАСӘ

Мәгаләдә Шабранчај вә Тәләби саһәләриндә Плиоцен, Палеоцен-Миоцен вә Мезозој структур мәртәбәләринин мұнасибәтіндән бәс-едилер.

Гызылбурун вә Гајнарча саһәләриндә газылмыш ахтарыш гујуларындан алдыгымыз јени мә'луматлар тәсдиғ едир ки, Плиосен структурларының тағлары Миосен структурларының тағларына нисбәтән шимал-шәрг истигамәтиндә дәјишир.

Шебраңај антиклинал гырышығында бу Јердәјишмә Мезозој комплексинә нисбәтән Миосен комплексинде чәнуб-гәрбдән шимал-шәрг гә доғру гырышығын истигамәттине сахланылмасы шәрти илә кедир; бу Јердәјишмәнин гијмәти 880—900 м-ә чатыр.

Тәләби антиклинал гырышығында Миосен вә Мезозој гырышылары тағларының йердәјишмәси паралел истигамәттән чыхараг Мезозој комплексинде чәнуб, чәнуб-шәрг-шимал, шимал-гәрб истигамәтиндә олдуғу налда, Миосен комплексинде чәнуб-шәрг-шимал-гәрб истигамәттин алыр; бу Јердәјишмәнин гијмәти 950—1000 м-дир.

Миосен вә Мезозој гырышылары тағларының йердәјишмә мұнабәти вә јердәјишмә мәсафәләrinин гијмәти мүһүм әһәмијәтә маңыздыр. Шабранчај вә Тәләби антиклинал структурларында ахтарыш гујуларының ғојулмасында бу мәсәләје хұсуси диггәт верилмәліdir.

ГЕОТЕРМИЯ

В. А. ГОРИН, С. А. АЛИЕВ, А. А. АЛИЕВ

ГЕОТЕРМИЧЕСКАЯ АКТИВНОСТЬ КАК ПОКАЗАТЕЛЬ
ВЕРТИКАЛЬНОЙ МИГРАЦИИ ГЛУБИННЫХ УГЛЕВОДОРОДОВ
ЗАПАДНОГО БОРТА ЮЖНО-КАСПИЙСКОЙ ВПАДИНЫ

(Представлено академиком АН Азебайджанской ССР М. А. Кашиевым)

Региональные и геотермические обобщения—необходимый и важный этап в комплексе геотермических исследований, вообще, и в поиско-разведочной практике на нефть и газ, в частности. Они позволяют устанавливать основные черты теплового режима крупных нефтегазоносных регионов, выявлять условия залегания подземных вод и соответственно этому присутствие гидрохимических аномалий в разрезе, дополнять данные по глубинной тектонике и в конечном счете способствуют разрешению ряда важных вопросов теоретической и практической геотермики.

Значение этих исследований особенно возрастает тогда, когда они касаются крупных нефтегазоносных регионов, каковым, в частности, является Южно-Каспийский нефтегазоносный бассейн—огромная область ступенчатого прогибания земной коры с рядом приразломных брахиантаклинальных поднятий, сопряженных в определенные складчатые зоны.

Южно-Каспийская впадина заключает в себе мощный комплекс антропогено-неогеновых, палеогеновых и более глубоко залегающих отложений.

Одним из перспективных нефтегазоносных районов Южно-Каспийской впадины является Ашшероно-Прикуринская нефтегазоносная область, осложненная системой складчатых поднятий и разрывных нарушений, ориентированных в широтном и общекавказском направлениях.

Основная нефтегазоносная толща Ашшероно-Прикуринской зоны связана с песчано-глинистыми отложениями плиоценена. Осадки эти заключают в себе мощные песчаные коллекторы и перекрыты слабопроницаемыми глинистыми покрышками. Они в структурном отношении образуют формы, благоприятные для скопления нефти и газа.

Свообразие геотермических условий Ашшеронской нефтегазоносной области неоднократно привлекало к себе внимание исследователей. Однако последние в своих исследованиях либо ограничивались

отдельными структурами, либо, в лучшем случае, расширяли исследование до границ областей и не обобщали материал по зонам нефтегазонакопления [1, 2, 5].

Используя наши замеры, как ранее опубликованные, так и выполненные за последние годы (табл. 1), учитывая достоверные геотермические материалы других исследователей [7, 8], переходим к рассмотрению данных по распределению температуры в недрах Апшероно-Прикуринской складчатой зоны.

Таблица 1

Данные замеров максимальным термометром

Область, месторождение	Кол-во эксплуатационных скважин и замеров, °	Кол-во простоявших скв. и замеров
Апшеронская		
Локбатан	80+ 80	11 37
Бибиэйбат	32 32	10 39
Балаханы-Сабунчи-Раманское	69 32	7 16
Сураханы	210 321	18 77
Каракухур-Зых	57 64	6 36
Песчаный-море	40 80	3 44
Нефтяные камни	36 144	5 17
Итого	484 643	60 268
Прикуринская		
Кюровдаг	41 150	17 76
Мишовдаг	40 150	2 263
Карабаглы	20 30	2 123
Нефтечала	30 100	30 60
Кюрангя	—	3 20
Калмас	—	6 25
Падар	—	3 20

+ Числитель—число скважин, знаменатель—число замеров.

На основании обработки геотермического материала нами составлен ряд геотермических карт Западного борта Южно-Каспийской впадины.

Эти карты дают ясное представление о распределении температуры в Апшероно-Прикуринской нефтегазоносной области для глубин среза 500, 1000, 1500, 2500 и 3000 м от уровня моря. Осредненные температурные данные для отдельных месторождений приводятся в табл. 2.

Таблица 2

Средняя температура по глубинам

Область, месторождение	500	1000	1500	2000	2500	3000
Апшеронская						
Локбатан	35	45	55	65	70	75
Бибиэйбат	35	45	55	65	70	75
Балаханы-Сабунчи-Раманы	30	40	50	55	60	65
Сураханы	30	40	50	55	60	65
Каракухур	35	45	55	65	75	80
Зых	35	45	55	65	75	85
Песчаный	35	45	55	65	75	85
Гоусаны	30	40	50	60	65	70
Кала	30	40	45	50	60	60
Артем	30	35	40	50	55	60
Бузовны-Маштаги	30	35	40	50	55	60
Бинагады	30	35	40	45	50	55
Зыря	30	40	50	60	65	70
Туркяны	30	40	50	60	65	70
Нефтяные камни	40	50	60	70	—	—
Прикуринская						
Падар	30	35	45	50	60	70
Кюрангя	30	35	45	60	70	80
Калмас	30	40	50	65	75	85
Кюровдаг	25	35	45	50	60	65
Мишовдаг	25	35	45	55	60	65
Карабаглы	25	30	45	50	60	65
Нефтечала	25	35	55	50	60	65

Как видно из карт для более глубоких срезов (рис. 1, 2), распределение температур в недрах Западного борта Южно-Каспийской впадины подчинено определенной закономерности. На одной и той же глубине для отмеченных выше срезов, температура возрастает по направлению от бортов к внутренним частям депрессии, а изотермы как бы вырисовывают края ее внутренней стороны. Все это находится в полном соответствии с увеличением числа очагов ныне действующих грязевых (газонефтяных) вулканов по направлению от бортов к более погруженной части депрессии, а, следовательно, к поясам более активных процессов вертикальной миграции глубинных флюидов (газа, нефти, воды) к земной поверхности.

В свое время было отмечено, что при скоростях фильтрации, превышающих 4 м/год, при расчете геотермического поля все факторы, по сравнению с гидродинамическими отступают на задний план [4, 10], а как известно, в пределах Западного борта Южно-Каспийской впадины наиболее частые извержения приходятся на линейно вытяну-

тую зону: Локбатан—Ю—В часть Джейран-Кечмесской депрессии—Алятская гряда, образующую как бы вписанный угол в области Западного борта Южно-Каспийской впадины.

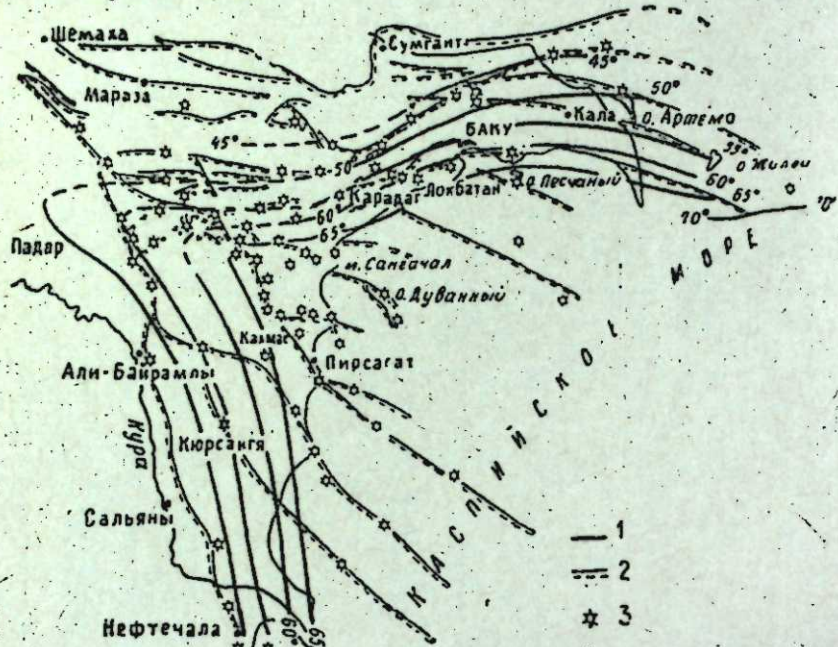


Рис. 1. Геотермическая карта западного борта Южно-Каспийской впадины (для глубины 2000 м): 1—изотермы; 2—разрывные нарушения; 3—грязевые вулканы.



Рис. 2. Геотермическая карта западного борта Южно-Каспийской впадины (для глубины 3000 м). Условные обозначения см. рис. 1.

Увеличение температуры идет вполне закономерно в соответствии с ростом количества метана в составе газа недр, по мере того, как

нефтяные месторождения сменяются нефтегазовыми и конденсатными или газовыми, залегая на больших глубинах [3].

Такое же явление — тесная связь размещения углеводородов в земной коре с величиной геотермической активности — наблюдается в Днепровско-Донецкой впадине и во многих нефтегазоносных районах мира.

На примере нефтегазоносных областей Украины эти закономерности выявлены исследованиями в данной республике [9], а в Азербайджане нами, и вскрывают генетическую сущность происхождения углеводородов и формирования залежей нефти и газа.

Миграция углеводородов по глубинным разломам земной коры находится в полном соответствии с положительными аномальными значениями температур по отношению к фоновым температурам нефтегазоносных областей земной коры.

ЛИТЕРАТУРА

- Голубятников Д. В. Детальная геологическая карта Апшеронского полуострова. Бибибайт, г. п. Геотермические наблюдения на Бибибайт в Сураханах. Труды геол. ком., нов. серия, вып. 141, 11, 1966.
- Гусейнов А. Н., Мустафаев Т. Х., Набиев Г. И. Геотермия Прикуриńskiej низменности на примере месторождений Мишовдаг, Кюровдаг и Карабаглы. АНХ, № 12, 1964.
- Дадашев Ф. Г. Углеводородные газы грязевых вулканов Азербайджана. Азернешр, 1933.
- Застекло Ю. С., Терещенко В. А. Изв. АН СССР, серия геол., 1965, № 11.
- Кулиев С. А. Геотермическая характеристика некоторых площадей юго-восточной Ширвань Прикуринской нефтегазоносной области. Труды АзНИИ по добыче нефти, вып. XIII, Геолого-геофизич. исследования нефтегазоносных областей Азербайджана, 1964.
- Мехтиев Ш. Ф. Геотермические наблюдения на Апшеронском полуострове. Тр. ин-та геологии АН Азерб. ССР, т. 14, 1951.
- Мехтиев Ш. Ф., Мирзаджанзаде А. Х., Алиев С. А., Багманлы Э. А., Мотяков В. И. О некоторых факторах, обуславливающих изменение температуры в недрах нефтяных месторождений. Уч. зап. АГУ им. Кирса, геол.-географ. серия, № 4, 1959.
- Мехтиев Ш. Ф., Мирзаджанзаде А. Х., Алиев С. А., Багманлы Э. А., Мотяков В. И. Термический режим нефтяных и газовых месторождений. Азернешр, 1960.
- Осадчий В. Г., Чекалюк Э. Б. Геотермическая активность как один из критериев размещения углеводородов в осадочном чехле. Тез. докл. республ. сов. Львов, 1965.
- Огильви Н. А. Вопросы теории геотемпературных полей в приложении к геотермическим методам разведки подземных вод. В сб. "Пробл. геотермии и практическим использов. тепла Земли", вып. 1. Изд-во АН СССР, 1959.

Институт геологии

Поступило 4: II-1966

В. А. Горин, С. А. Элиев, Э. А. Элиев

Кеотермик фэаллыг Чэнуби Хээр чөкэклийнин гэрб кэнарынын дэрин гатларында карбоидрокенлэри шагули миграсијасынын көстэричисидир

ХУЛАСЭ

Мэглэдээ Чэнуби Хээр чөкэклийнин гэрб кэнарында јерлэшэн нефт јатагларында апарылан температур мушаидэлэр өссында дэрин гатларын термик шэрэти тэсвир едилр.

Гејд едилэн саһенин дэрин гатларында температурин пајланмасы мүэjjэн ганунаујгуулуга табедир. Ейн дэринликдэ (1—2-чи шэкиллэр) Хээрин гэрб кэнар саһаснидэн чөкэклийн мэркээнэ догру кетдикчэ температур артыр. Тэмпературин артмасына тэ'сир едэн эсас амиллэрдэн бири тектоник позунтулар, вэ палчыг вулканларын олмасдыр. Дикэр тэрэфдэн исэ изотерм хэтлэри өмсэлжүүлж артдыгы истигамэтдэ нефт јатаглары нефт-газ, сонунчулар исэ өз нөвбэснэдэ газ вэ ја газ-коиденсат јатаглары илэ өвээ олунур.

Нефт јатагларынын умуми температур фонунда мүсбэт аномал саһэллэринин яранмасы карбоидрокенлэри дэрин гатлар ғаситэсилэ шагули миграсијасы илэ өлагддардыр.

ФИЗИОЛОГИЯ РАСТЕНИЙ

Э. М. АХУНДОВА

СОДЕРЖАНИЕ АЗОТА И РИБОNUКЛЕИНОВОЙ КИСЛОТЫ
В ЛИСТЬЯХ ПЕРСПЕКТИВНЫХ СОРТОВ ШЕЛКОВИЦЫ
В СВЯЗИ С ИХ МЕСТОРАСПОЛОЖЕНИЕМ НА ПОБЕГЕ

(Представлено академиком АН Азербайджанской ССР И. К. Абдуллаевым)

Как известно, соотношения веществ, входящих в состав клеток и тканей растений, в процессе онтогенеза в значительной степени подвержены изменениям. В частности, с возрастом растет относительное содержание в тканях углеводов и уменьшается количество белковых веществ [1, 2, 3]. Такие различия связаны с изменением интенсивности и направленности ряда процессов метаболизма. Одним из способов оценки интенсивности многих биохимических и физиологических процессов в растительных клетках может служить содержание общего и белкового азота, так как последний почти целиком находится в центре активных физиологических процессов.

Поэтому молодые растущие клетки и меристематические ткани отличаются более высоким содержанием белковых веществ. Как известно, синтез белков в клетке локализован в рибосомах и происходит при непосредственном участии рибосомальной рибонуклеиновой кислоты под воздействием информационной РНК, причем интенсивность синтеза белков связана с содержанием РНК. Поэтому надежным критерием биохимической и физиологической активности растительной клетки является содержание нуклеиновых кислот, являющихся неотъемлемой частью цитоплазмы и ядра, в котором под влиянием дезоксирибонуклеиновой кислоты синтезируется информационная РНК, и находящихся в тесном физико-химическом взаимодействии с другими компонентами протоплазмы и прежде всего с белками.

Установлено, что в закончивших рост и стареющих органах растений содержание РНК резко уменьшается. В клетках же, отличающихся активным ростом, а следовательно интенсивным синтезом белка, обнаруживается обычно и высокое содержание РНК. Однако количественная зависимость между содержанием нуклеиновых кислот и синтезом белковых веществ изучена недостаточно, в особенности на высших растениях. В этом свете изучение изменения содержания РНК и белков в листьях в зависимости от их возраста раскрывает характер зависимости синтеза белков в тканях от нуклеинового обмена.

Нами изучалось изменение содержания РНК и белка в листьях шелковицы в зависимости от расположения листьев на побеге. Пробы листьев брались в два срока (в летний и осенний периоды) с сортов Ханлар-тут и Кирриу.

Определение содержания РНК проводилось по пуриновым основаниям, по методу С. В. Нетупской и Г. С. Курамшина [4].

Результаты определений представлены в табл. 1. Как видно из данных таблицы, содержание РНК в листьях постепенно возрастает по направлению от основания побега к верхушке, но резкое увеличение РНК наблюдается лишь в самом верхнем молодом листе. Сравнивая данные по содержанию РНК в листьях в летний и осенний периоды, можно видеть, что количество РНК во всех листьях в летний период гораздо выше, чем в осенний.

Таблица 1

Содержание РНК в листьях Ханлар-тут и Кирриу (в мг %)

Порядковый номер листа на побеге (снизу)	Ханлар-тут			Кирриу		
	26/VII 1964 г.	Порядковый номер листа на побеге (снизу)	27/IX 1964 г.	26/IV 1964 г.	Порядковый номер листа на побеге (снизу)	27/IX 1964 г.
3	152,8	—	—	3	95,6	—
21	170,0	11	77,5	21	321,5	11
31	184,5	31	82,6	31	735,8	31
41	294,3	41	135,0	в. л.	1811,2	41
51	1304,9	51	183,2		51	248,8
в. л.	2048,9	61	353,2		61	521,8
		71	387,1		в. л.	834,3
		81	611,3			
		в. л.	863,7			

Аналогичные данные были получены по содержанию азота в этих же листьях.

Результаты опытов представлены в табл. 2. Из данных таблицы видно, что от нижних листьев к верхним наблюдается закономерное увеличение содержания азота. Причем, эти изменения аналогичны изменению содержания РНК.

Полученные данные подтверждают, что между содержанием РНК и белка в тканях существует прямая корреляционная зависимость.

Выводы

1. Содержание РНК в тканях листьев шелковицы подвержено значительным количественным изменениям в связи с возрастом листа. Молодые, энергично растущие листья отличаются высоким содержанием РНК. Старение листа сопровождается резким снижением количества РНК в тканях. Возрастные изменения в содержании РНК сопровождаются изменениями в содержании общего и белкового азота.

2. В летний период, характеризующийся более высокой интенсивностью ростовых и синтетических процессов, содержание РНК и белка в листьях значительно выше, чем в осенний.

3. Между содержанием РНК и белков в листьях наблюдается высокая прямая корреляционная зависимость.

Таблица 2

Содержание азота и белка в листьях шелковицы Ханлар-тут и Кинриу (в % на абсолютно-сухой вес)

Ханлар-тут										Кинриу									
26/VII 1964 г.					27/IХ 1964 г.					26/VII 1964 г.					27/IХ 1964 г.				
Порядковый номер листа на побеге (снизу)	Белко- азот O6unin 330т	Белко- азот Bmн 330т	Порядковый номер листа на побеге (снизу)	Белко- азот O6unin 330т	Белко- азот Bmн 330т	Порядковый номер листа на побеге (снизу)	Белко- азот O6unin 330т	Белко- азот Bmн 330т	Порядковый номер листа на побеге (снизу)	Белко- азот O6unin 330т	Белко- азот Bmн 330т	Порядковый номер листа на побеге (снизу)	Белко- азот O6unin 330т	Белко- азот Bmн 330т					
3	3,07	2,71	16,94	—	—	—	3	2,73	2,54	15,83	—	—	—	—	—	—	—	—	
11	3,35	2,98	18,60	11	2,53	2,33	14,56	11	3,25	3,07	19,19	11	2,77	2,53	15,81	—	—	—	
21	3,77	3,35	20,94	21	3,02	2,81	17,56	21	4,20	3,99	24,90	21	3,15	2,99	18,69	—	—	—	
31	4,13	3,70	23,12	31	3,45	3,25	20,30	31	5,09	4,83	30,19	31	3,60	3,45	21,60	—	—	—	
41	4,62	4,25	26,56	41	3,98	3,77	23,50	41	5,69	5,18	32,37	41	3,96	3,78	23,60	—	—	—	
51	4,72	4,39	27,44	51	4,38	4,15	25,94	51	—	—	—	51	4,44	4,24	26,50	—	—	—	
в. л.	5,55	5,10	31,87	61	4,68	4,39	27,40	61	—	—	—	61	4,85	4,60	28,75	—	—	—	
				71	4,96	4,59	28,69	71	—	—	—	71	—	—	—	—	—	—	
				81	5,10	4,73	29,56	81	—	—	—	81	—	—	—	—	—	—	
				в. л.	5,46	5,03	31,43	в. л.	—	—	—	в. л.	5,02	4,64	29,00	—	—	—	

ЛИТЕРАТУРА

1. Абдуллаев И. К. К изучению химического состава листа селекционных сортов шелковицы. "Изв. АН Азерб. ССР", № 5, 1960. 2. Белозерский А. Н. Нуклеопротеиды и нуклеиновые кислоты растений и их биологическое значение. М., 1961. 3. Федоров. "Тутоводство", 1954. 4. Нетупская С. В., Курамши и Л. А., Ивлева Л. А. Определение нуклеиновых кислот в растительных тканях по пуринам. Биология нуклеинового обмена у растений, М., 1964.

Институт генетики и селекции

Поступило 12. XI 1965

Е. М. Ахундова

Тут јарпагларында онларын јашларындан асылы олараг
рибонуклеин туршуларынын вә азотун мигдары

ХҮЛАСЭ

Мәгаләдә Ханлар-тут вә Кинриу сортларында јарпагларын будаглар үзәриндә дүзүлүшү илә әлагәдар олараг яј вә пајыз аjlарында РНТ (рибонуклеин туршусу) вә зұлалын мигдарынын дәжишилмәси өфрәнилмишdir.

Тут јарпагларында азот вә нуклеин туршуларынын мигдары шәрайтлә әлагәдар олараг дәжишир. Чаван вә сүр'этлә инкишаф едән јарпагларда нуклеин туршуларынын мигдары хејли артыр, јарпаглар гочалдыгда исә бу мигдар кәсқин сүр'этдә азалмаға башлајыр. Яј дөврүнә нисбәтән пајыз фәслиндә РНТ-цин вә зұлалын мигдары хејли азалыр. Азот вә нуклеин туршулары јарпагларын будагларда мөвгејиндән дә асылыдыр. Апарылан тәчрүбеләр көстәрир ки, будаглар ашағыдан јухарыја доғру галхығча јарпагларда нуклеин туршуларынын, үмуми вә зұлал арасында јүксәк вә мүстәгил сурәтдә паралелизм вә асылылыг мушаһидә едилir.

ПАЛЕОБОТАНИКА

А. Б. МАМЕДОВ

МАТЕРИАЛЫ К УТОЧНЕНИЮ ОБЪЕМА
РОДА *Theodossia Nalivkin*, 1925

(Представлено академиком АН Азербайджанской ССР К. А. Ализаде)

При изучении коллекции девонских брахиопод Малого Кавказа (Нахичеванская АССР) нами был выделен новый вид рода *Theodosia Nalivkin*, 1925—*Theodosia nalivkini Mamedov*, sp. nov., описание которого приводится ниже.

Сем. *Ambocoeliidae* George, 1931.

Nom. transl. E. Ivanova, 1961 (*ex Ambocoeliinae* George, 1931)

Подсем. *Theodosiinae* E. Ivanova, 1960,

Род *Theodosia Nalivkin*, 1925 (*Deothossia Catinaud*, 1949)

Тип рода—*Spirifer anossofi Verneuil*, 1845; верхний девон р. Дона, 1925. *Theodosia* Наливкин. Группа *Spirifer anossofi Verneuil*, стр. 120

1930. *Theodosia* Наливкин. Брах. верхн. и средн. дев. Туркестана, стр. 120.

1952. *Theodosia* М. А. Ржонсицкая. Спирифериды дев. окр. Куз. бассейна, стр. 120.

1955. *Theodosia* Р. Т. Грацианова. Атлас Западн. Сибири, т. 1, стр. 259.

1961. *Theodosia* Е. А. Иванова. Основы палеонтологии, отряд спириферид, стр. 275.

Диагноз. Раковина средних размеров, умеренно вздутая, округленных очертаний. Замочный край короче, редко почти равен наибольшей ширине раковины. Брюшная створка более выпуклая, чем спинная. Ареа треугольная, невысокая. Синус мелкий, неясно ограниченный, иногда отчетливо обособленный. Возвышение плоское, слабо ограниченное, нередко отсутствует. Вся поверхность раковины покрыта многочисленными узкими плоскими, иногда довольно резко выраженнымми, относительно крупными ребрами. Микроскульптура состоит из сосочеков, на внутреннем слое — радиальных струек. В брюшной

створке имеются тонкие, расходящиеся, иногда параллельные зубные пластины.

Общие замечания. По Д. В. Наливкину [3, 4], М. А. Ржонсицкий [5], Е. А. Ивановой [2], характерным признаком рода *Theodosia Nalivkin*, 1925 является присутствие тонких низких ребер и недоразвитый синус на брюшной створке. Наличие некоторых отличительных признаков у выделяемого нового вида *Theodosia nalivkini Mamedov* sp. nov. позволяет уточнить диагноз *Theodosia Nalivkin*, 1925, а именно указать на присутствие у него отчетливо выраженного синуса и грубых ребер.

Сравнение. *Theodosia Nalivkin*, 1925 от наиболее близкого к нему рода *Cyrtospirifer Nalivkin*, 1918 отличается, главным образом, отсутствием дельтирильной пластины и апикального утолщения, наличием тонких пластин в брюшной створке, обычно отсутствием на спинной створке замочного отростка, а также более округленными очертаниями раковины, короткой ареей и плоскими ребрами.

Распространение. Средний девон и франский ярус Прибалтики, Русской платформы, Тимана, Урала, Кузнецкого и Минусинского бассейнов Средней Азии, Закавказья, Западной Европы, зарубежной Азии, Америки.

Theodosia nalivkini Mamedov, sp. nov.*

таблица рис. 1а—г, 2; 3а—г, 1934, стр. 114, табл. 8, фиг. 3, 7.

Голотип хранится в Институте геологии им. акад. И. М. Губкина Академии наук Азерб. ССР, № 26/1. Нахичеванская АССР, Норашенский р-н, пос. Гюмушлуг. Данзикская свита (верхнедживетский подъярус девона).

Диагноз. Небольшая, умеренно вздутая, округленная, неравносторчатая, относительно груборебристая форма. Замочный край немного меньше или почти равен наибольшей ширине раковины с округленными замочными углами. Синус неглубокий, умеренно широкий. Возвышение отсутствует. Ареа треугольная, невысокая, не отчетливо ограниченная. Дельтириум открытый, треугольный. Ребра высокие, округленные. Внутри брюшной створки расходящиеся тонкие зубные пластины.

Описание. Раковина небольшая, умеренно вздутая, неравносторчатая, округленного очертания. Замочный край немногим короче или почти равен наибольшей ширине раковины, с округленными замочными углами. Боковые края постепенно переходят к переднему краю и в результате образуют полукруг. Язычок едва выдается дугобразный.

Брюшная створка значительно выпуклая. Макушка относительно большая, слегка загнутая. Ареа треугольная, невысокая, неясно ограниченная, слабо выпуклая. Синус очень низкий, неясно ограниченный; примакушечная часть створки почти незаметная, на расстоянии 5—6 мм от макушки синус появляется и постепенно расширяется по направлению к переднему краю. Дно синуса плоско-округлое, ребристое.

Спинная створка умеренно и равномерно выпуклая с широкой, слегка выдающейся макушкой. Очертание полуокруглое или округленно-трапецидальное. Имеется едва выдающаяся ареа, линейная или треугольная. Возвышение отсутствует. Поверхность раковины покрыта

* Название дано в честь выдающегося советского ученого академика Дмитрия Васильевича Наливкина.

многочисленными радиальными ребрами средних, даже относительно крупных величин, высокими, округлыми. Боковые ребра либо не-дихотомирующие, либо дихотомирующие, в количестве 14–16 на каждой стороне синуса. Срединные ребра таких же размеров, как и боковые или немного крупнее, в количестве 6 ребер у переднего края, а в сторону макушки они клиновидно соединяются друг с другом, так как сам синус постепенно в том же направлении суживается, в результате чего в примакушечной части насчитывается 3–4 срединных ребра.

Микроскопическая скульптура нами не обнаружена.

Внутреннее строение (рис. 1а–г). Внутри брюшной створки имеются две расходящиеся тонкие зубные пластины. Зубы очень маленькие, неотличимые от зубных пластин. Септа и дельтириальная пластина отсутствуют.

В спинной створке высокие септальные пластины, не сходящиеся ко дну створки, но это требует уточнения, так как элементы ввиду сильной перекристаллизации пород были обнаружены только один раз во время пришлифовки.

Размеры в мм:

Длина брюшной створки—19,2

Длина спинной створки—14,2

Ширина раковины—21,4

Толщина раковины—15,0

Отношение ширины к длине—1,12

Общие замечания. Впервые представители данного вида описаны К. Торлеем (1934 г.) под названием *Spirifer aperturatus* (Schlotheim). Типичный же *Spirifer aperturatus* (Schlotheim) относится к роду *Cyrtospirifer* Nalivkin, 1918. А описываемый вид не может быть отнесен к роду *Cyrtospirifer* Nalivkin, 1918, так как в брюшной створке его отсутствуют дельтириальные пластины и апикальное утолщение.

Для сравнения нами была выполнена серия последовательных поперечных пришлифовок раковины *Theodossia anossofi* (Verg.) (рис. 4а–г) из семуликского горизонта верхнего девона Воронежской области из коллекции палеонтологического музея Азербайджанского Института нефти и химии им. Азизбекова (определение Б. К. Лихирева) и установлено, что внутреннее строение *Theodossia anossofi* (Verg.) (типична для вида рода *Theodossia* Nalivkin, 1925) идентично с таковыми у описываемого вида.

Сравнение. Описываемый вид внешне очень похож на форму, описанную и изображенную Торлеем (1934, стр. 114, табл. 8, фиг. 3,7), как *Spirifer aperturatus* (Schlotheim), однако несколько отличается более загнутой макушкой и присутствием возвышения на спинной створке, по-видимому, является проявлением возрастной изменчивости раковин.

От наиболее близких форм *Theodossia katavensis* Nalivkin из верхнего горизонта франского яруса Урала (Наливкин, 1947, Атлас, стр. 120, табл. XXX, фиг. 5) описываемый вид отличается большими размерами, более грубыми, резкими ребрами, ясно ограниченным синусом и присутствием возвышения.

Этими же признаками описываемый вид отличается от всех представителей рода *Theodossia* Nalivkin, 1925.

Распространение. Верхненеветские отложения Германии.

Местонахождение и геологический возраст. Нах. АССР, Норащенский р-н, окрестности пос. Гюмушлуг (обр. 17–2; 2 экз.) и сел. Садарак (обр. 6–26; 2. экз.), Даизикская свита (верхненеветский подъярус).

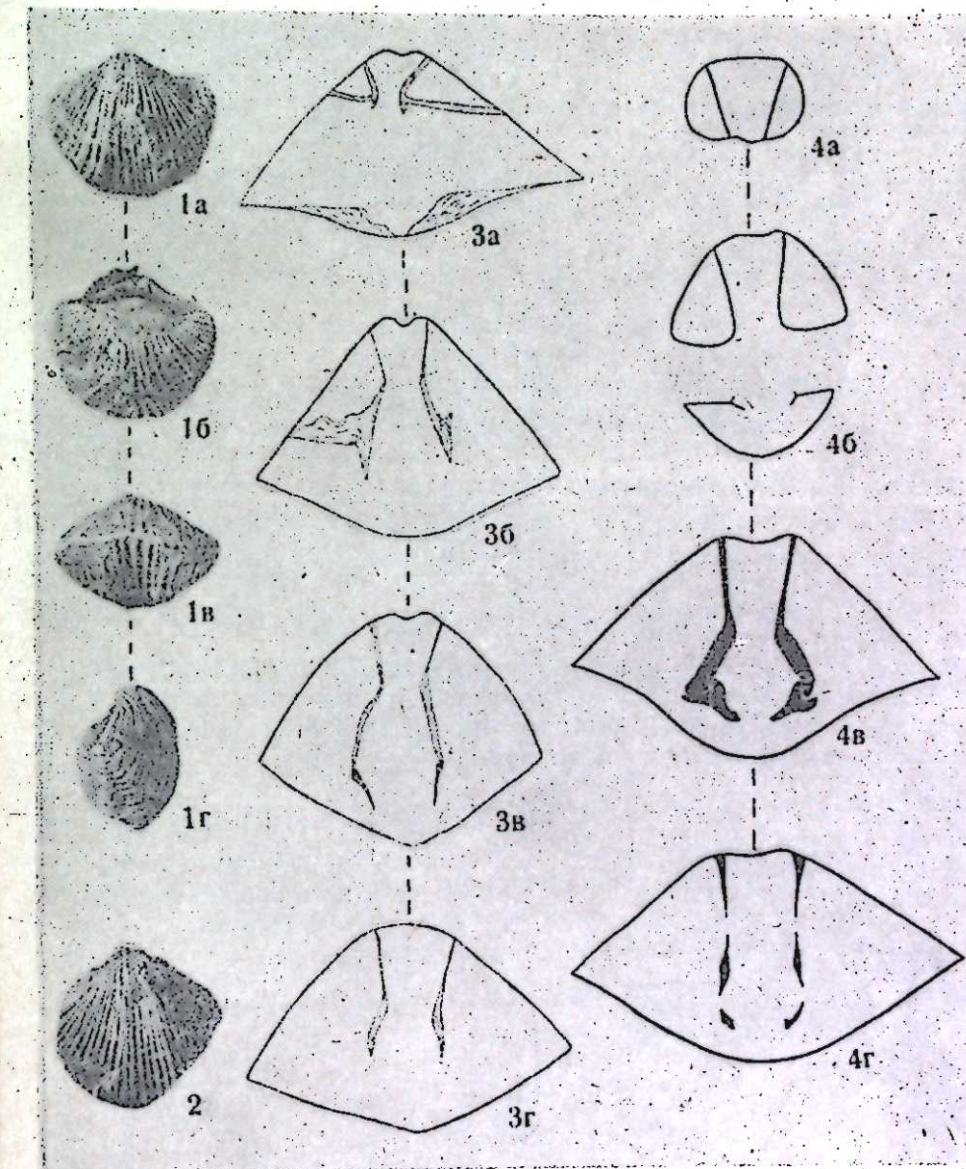


Рис. 1а–г, 2. *Theodossia naliivkini* Мамедов sp. nov. (натура. величина). 1—голотип, № 26/1; 1а—брюшная створка; 1б—спинная створка; 1г—вид спереди; 1—вид сбоку. Верхненеветские отложения пос. Гюмушлуг (Нах. АССР). 2—брюшная створка. Верхненеветские отложения сел. Садарак (Нах. АССР). Рис. 3а–г. Серия последовательных поперечных пришлифовок раковины *Theodossia naliivkini* Мамедов sp. nov. Верхненеветские отложения пос. Гюмушлуг (Нах. АССР) (Х 1,8). Рис. 3а–г. Серия последовательных поперечных пришлифовок раковины *Theodossia anossofi* (Verg.) из семуликского горизонта верхнего девона Воронежской области (Х 1,8).

Материал. Описанный вид в коллекции автора представлен 4 экземплярами, из которых один полный, а остальные поврежденные.

ЛИТЕРАТУРА

1. Грационова Р. Т. Брахиоподы верхнекиветских отложений. В кн. „Атлас рукоятий форм ископаемых фауны и флоры Западной Сибири, т. 1, Госгеолтехиздат, 1955. 2. Иванов Е. А. Отряд *Spiriferida* (Основы палеонтологии). Изд. АН СССР, 1960. 3. Наливкин Д. В. Группа *Spirifer annossofi* Verneuil и девон Европейской части СССР. Зап. минерал. об-ва, т. IV, вып. 2, 1925. 4. Наливкин Д. В. Брахиоподы верхнего и среднего девона Туркестана. Труды Геол. ком., нов. сер., вып. 180. 5. Ржонсницкая М. А. Спирифериды девонских отложений окраин Кузнецкого бассейна. Госгеолиздат, 1952. 6. Tolle K. Die Brachiopoden des Massenkalkes der Oberen Givella-Stufe don Bilverlingsen bei Iserlohn. Abh. Senckenberg. Naturf. Ges. Frankfurt M., Bd. 43, Lfg. 3. SS. 67–148. 1934. 7. Verneuil E. Géologie de la Russie d'Europe et des montagnes de l'Oural par R. Murchison, Ed. Verneuil et Al. Keyserling. II, 2. Paleontologie. Lond.—Paris, pp. 246–285. 1845.

Институт ботаники

Поступило 17. i 1965

А. Б. Мамедов

Theodossia Nalivkin, 1925 чинсииң тәјин едилмәсінә
даир материаллар

ХУЛАСЭ

Нахчыван МССР-ин Девон чөкүнтуләри ичәрисиндән *Theodossia Nalivkin* чинсииң яни нөвү тапылмыштыр. Бу нөвүн *The odossia Nalivkin* чинсииң бүтүн мәлүм нөвләриндән кәскин фәргләнмәси *Theodossia Nalivkin* чинсииң мөвчуд диагнозуна мүәյҗән дәжишиклик етмәјә әсас верир.

Мәгәләдә һәм яни нөвүн—*Theodossia nalivkini Mamedov*, spr nov., һәм дә уйғын чинсииң тәсвири верилир. Яни нөв мәшнур совет алими брахиопода групунун эи көркәмли тәдгигатчысы академик Д. В. Наливкин шәрәфинә адландырылыштыр.

АЗӘРБАЙЧАН ССР ЕЛМЛӘР АҚАДЕМИЈАСЫНЫН МӘРУЗӘЛӘРИ ДОКЛАДЫ АҚАДЕМИИ НАУК АЗЕРБАЙДЖАНСКОЙ ССР

ЧИЛД XXII

№ 8

1966

ЭЛӘБИЙЈАТ ТАРИХИ

Б. ГУЛИЈЕВ

ЗӘНІР ФАРИЈАБИНИН ВӘФАТ ТАРИХИНӘ ДАИР

(Азәрбајҹан ССР Елмләр Академијасынын академики Ә. Ә. Элизадэ тәгдим етмишdir)

XII әсрин мәшнур шаирләrinдән бири олан Зәнір Фаријабинин вәфат тарихи мәнбәләрии әксәрийјәтиндә һичри тарихлә 598-чи ил гејд едилмишdir.

«نَسْتَرُ عَشْقٍ» („Нештәр-е ешг“) тәэкирасинин мүәллифи Һүсейн-гулу хан Эзимабади Зәнірин вәфат илини бир мадде-је тарихлә вермишdir. Бу мадде-је тарихә башга мәнбәләрин һеч бириндә тәсадүф едилмир:

زمابي تا بمه ماتم فتاده
ظوير الدين گندشه چون زد نيا
بفکر سالل او بودیم گفتا
دلم هى هى نساند آن معنی آرا¹

Бу шे'рин: сон мисрасында «هى هى نماند آن معنی آرا» әбчәд һесабы илә Зәнір Фаријабинин вәфат тарихи 598-чи или көстәрир.

Зәнір Фаријабинин вәфат тарихини әксәр мүәллифләрин ejni шәкилдә гејд етмәләринә баҳмајараг, бә'зиләри бу барәдә дүзкүн олмайын мәлumat вермишләр. Мәсәлән, («هشت اقلیم»، «هەفت иглим») мүәллифи Эмин Эһмәд Рази², («نَتَاجِ الْأَذْكَار»، «Нәгајеч-ол-әфхар») мүәллифи Мәһәммәд Гүдрәтуллаh³, әфган алими Гулам Чилани хан Э'зәми⁴

حسین قلی خان عظیم آبادی، نستر عشق¹ Өзбекистан ССР ЕА Биууни адьина Шәргүнаслыг Институту Әлјазмалары фонду, әлјазмасы, инв. № 4322, вәрәг 592 а.

Тәрчүмәси: Балыгдан аја гәзәр матэм дүшмүш
Чүнки Зәнірәдин дүнијаин кегмишdir.
Онун вәфат ишини фикирләшникда гәлбим деди:
„hej-hej о мә'на бәзәјен галмады“.

این احمد رازی - بخت اقلیم با تصریر و تعلیق جواد قاضل²
خلد دوم ص 79

محمد قدرت الله کوباموی - تذکره نتایج الافکار، بمبی،³
۱۳۳۶، ص ۴۴۵

غلام جیلانی خان اعظمی - «فاریاب» و ظہیر، مجله «کابل»⁴
تهارہ ۸ کابل، ۱۹۲۱ م ص ۲۲

Зәһирин 592/1195—1196-чы илдә „تاریخ مفصل ایران“ („Тарих-е мөфәс-сәл-е Иран“) мүэллифи Абдуллаһ Рази⁵ 596/1199—1200-чы илдә, «کشف الظنوں» („Кәшф-оз-зонун“) мүэллифи Катиб Чәләби⁶ 568/1172—1173-чы илдә вәфат етдијини йазмышлар.

Бә'зи тәдгигатчылар һичрий 598-чи или милади тарихә чевирәрәк, шаирин 1201-чи илдә вәфат етдијини гејд едиirlәр⁷.

Бу долашыглыг ондаи ирэли кэлмишдир ки, мэнбэлэрин, демэг олар ки, неч бириндэ шаирин дэгигг олараг нансы айда вэ айни нечэсийдэ вафат етдиши көстэрилмэмешдир.

Буунла јанаши, һәмдуллаһ Гәзвини әсәриндә Зәһир Фаријабинин нағында бәйс-едәркәни шаирин 598-чи илин рәби-әл-әввәл аյында⁸, јәни милади тарихлә 1201-чи илин декабр айында вәфат етдиини сөjlәһир. Һәмдуллаһ Гәзвининин бу мә'луматы бә'зи тәдгигатчылар-тәрәфиндән геjd-шәртсиз гәбул әдилмиш вә бу или милади тарихә чевирәnlәр дә, садәчә олараг 1201-чи или дүзкүн несаб етмишләр.

Лакин әлдә әдилән јени бир мәнбәдә Һәмдуллаһ Гәзвининин көстәрдији тарихдән фәргли бир мә'лумат верилир. Һәмин мәнбә Өзбәкистан ССР ЕА Бируни адына Шәргшүнаслыг Институтунүн Әлјазмалары фондуунда сахланылан «نذر كررة التواريخ» („Тәэзирият-от-тәварих“) адлы әлјазмасыдыр. Бу тәэзириянин мүәллифи Мир Сәфиуллаһ иби Һәбигуллаһ әл-Һүсейни әл-Бухари Зәһирин вәфат етдији или, аյы, күнүн тарихини вә һәфтәнин иечәици күнү олмасыны да дүрүст гејд етмишdir:
... روز سه شنبه دوازدیم شهر شوال سنه ثمان و تین دخمامائے ...

Милади тарихә чевирдикдә бу, 1202-чи ил, ијул айынын 6-сы чаңаршәнбә ахшамына душур.

„Ислам енциклопедијасы“ ида¹⁰ шаирин 598-чи илин сонунда вэфат етдији гејд едилтир ки, бу да التوايخ «-تذكرة التوايخ»-дэ көстәрилән вахтла мұваффиг кәлир.

^۵ عبالله رازی - تاریخ مفصل ایران، تهران، ۱۳۳۵، ص ۲۲۶
^۶ کاتب جلتی - کشف اللذون، الجلد الاول استانتول، ۱۳۱۰

⁷ А. Крымский. История Персии, ее литературы и дервишской теософии Т. I, № 2. М., 1914, сэн. 183; М. И. Занд. Шесть веков славы. М., 1964, сэн. 189; Wilhelm Pertzsch. Verzlichkeit der persischen handschriften der Königlichen Bibliothek zu Berlin. Berlin, 1888, p. 722;

ظفیر فاریابی دیوان، شامل قصائد، ترکیبات، غزلپات، مثنوی، رباعیات و اشعار عربی بکوشش تقی نبیش، مشهد، ۱۳۳۷ ص، هشتادونه؛ ذبیح الله صفا - گنج سخن، شاعران بزدگ پارسی گوی و منتخبی آذان از نظمی تاجاهی جلد دوم، تهران، ۱۳۳۹ ص ۴۵، حمد الله مستوخي قزوینی، تاریخ گزینه بالقابلہ باچندین نسخه^۸، بضمیمه فهارس و حواشی باهنام دکتر عبدالحسین نوائی، تهران،

٢٣٤، ص ١٣٣٩
ميرصفى الله اين حبيب الله الحينى البخارى، تدكرة التاريخ^٩
Төзбәкстан ССР ЕА Бируди адына Шәргшүнаслығ Институттунан Элгизмалардың фон-

Тэрчүмэс: ...сесэнбээ күнү, 598-чи илин шавьад алхими, 12-и

¹⁰ The encyclopaedia of Islam. vol IV. Leyden—London, 1934. p. 1191.

Гејд етмәк лазымдыр ки, бә'зи алимләр Зәнирии 1202-чи илдә вәфат етдиини дүзкүн көстәрмишләрсә дә, лакин аյ вә күнүнү гејд етмәшишләр¹¹.

Жұхарыдақы гејдләрдән айдын олур ки, Зәһир. Фаријабинин вәфаттарихи нағгында мәнбәләрдә мұхтәлифлик мөвчуддур. Бу мұхтәлифлик әсасен икі мәнбәдән көлір. Эввәлән, Гәзвининин әсәріндә көстәрилән тарих сонракы мүәллифләриң ғасырларында дә өз әксини тапмышадыр. Бунуна Јанашы, бә'зи мүәллифләр һичри 598-чи или милади тарихә чевирирәккән, аж вә күн нағгында дәгиг мә'лumatлары олмадығы үчүн 1201-чи или көтүрмушләр.

«تىكىرە التوارىخ»-دە Зەنگىزىنин вەفات تارихinin aj вە كۈنۈنүн дە كەس-
تەرىلمىسىنىڭ ئاساسى، ئىتىمال ئىمەك ئىلار كى، تەزكىرە مۇھىممەدى تەبرىز
مەزاراتى ناھىيىدا مەلumat верәن مەنбىلەرдەن дە истиفادە ئىمىشdir-
كى، بىر كىتابلار ھەلەلىك ەلдە دەرىپdir.

Беләликлә, индијә гәдәр Зәһир Фаријабинин вәфат тарихи экසер мүәллифләриң әсәрләrinдә дүзкүн вә дәгиг көстәрилмәмишdir. Јалныз Һәмдуллаh Гәзвини онун рәби-әл-әvvәl аյында, «تَذَكِّرَةُ التَّوْبَعَخ» мүәллифи исә шаввал айында вәфат етдиини геjd едирләр. Шубhә јохдурки, hәр ики мәнбәдә верилән мә'lumat кәләчәкдә. Зәһирин Тәбриздәки Сурхаб гәбиристанлығында олан мәзарыны, тапмагда тәдгигатчылара көмәк едә биләр. Еңи заманда Зәһирин гәbir даши үзәриндә язынын естамлажыны чыхарылмасы вә охумасы да бу көстәрилән мәнбәләрдән һансынын дүзкүн мә'lumat вердиини көстәрәчәkdir.

Бунуна әлагәдар олараг гејд етмәк лазымдыр ки, соң вахтларалар гәдәр елми әдәбијатда белә бир фикир мөвчуд иди ки, куја Хаганин вә Зәһирин „Мәгбәрәт-ош-шөәр“ гәбиристанлығындақы гәбиrlәри итиб-батыш вә дөврүмүзә гәдәр кәлиб чыхмамышдыр. Лакин 1931-чи илдә Азәрбајҹан зијалыларындан Новruz Ағајев Тәбриздә оларкәни Хаганинин гәбрини тапа билмиш вә шаирин мәзар даши үзәрниңдәки жазыларын естампажыны чыхармамышдыр¹² ки, бунуна да Хаганинин вәфат тарихи дүзкүн мүәјжәнләшdirилмишdir. Зәһир дә Хаганин иләдәфи едилдијиндән, шүбһә јохдур ки, вахтилә Ханыковун һагында мә’лumat верә билмәдиң ики гәбирдән бири дә Зәһирин олмалыдыр.

ЖАХЫН ВӘ ОРТА ШӘРГ ХАЛГЛАРЫ ИНСТИТУТУ

Алымышлыр 7.1-65

Б. Кулніев

К вопросу о кончине Захира Фарийаби

PE31OME

В некоторых источниках смерть одного из видных поэтов XII в. Захира Фарийаби датируется 598 г. х. Некоторые авторы, отмечая дату смерти Захира, допустили определенные ошибки и пришли к неверным выводам.

¹¹ Е. Э. Бертельс. Джами. Эпоха, жизнь, творчество. Сталинабад. 1949, с. 23.
¹² М. Ахмад. М. Н. Османов. Омар Хайям. М., 1959, с. 75.

Р. М. Алиев, М. Н. Османов. Старинные архитектурные памятники Азербайджана. Баку, 1954, с. 21—24.

По хронологии, приведенной в Тазкире „Нештар-е Эшк“, Захир умер в 598 г. х. Хамдаллах Казвии был до сих пор единственным автором, отметившим дату кончины Захира в месяце раби-ул-аввал 598 г. х. (т. е. декабрь 1201 г. н. э.).

Ряд исследователей, переведя отмеченную Хамдаллахом дату на григорианское летоисчисление, считает год смерти Захира 1201, однако обнаруженный нами новый источник указывает на другую дату. Как отмечается в „Тазкират-ат-таварих“, которая в настоящее время хранится в Институте востоковедения АН Узб. ССР им. Бируни, Захир умер „вторник, 12 шаввал, 598 г. х.“. При переводе этой даты на григорианское летоисчисление становится понятно, что Захир умер 6 июля 1202 г.

Уточнение даты смерти Захира имеет особое значение с точки зрения изучения его жизни и творчества, а также для того, чтобы найти его могилу, находящуюся в „Макбарат-уш-шуара“ в г. Табризе.

ЭТНОГРАФИЯ

Э. А. КЕРИМОВ

ИЗ ИСТОРИИ ЭТНОГРАФИЧЕСКОГО КАРТОГРАФИРОВАНИЯ
АЗЕРБАЙДЖАНА

(Представлено академиком АН Азербайджанской ССР А. А. Ализаде)

Этнографическая картография Кавказа в современном ее понимании стала развиваться в 30—50 годах XIX в. на основе трудов лингвистов и этнографов (Г. Ю. Клапрот, П. К. Услар др.). Позднее появлению этнографических карт в значительной степени содействовал и Кавказский статистический комитет по гражданскому управлению и на местничеству.

Почин по составлению этнографических карт отдельных уездов Азербайджана был сделан в середине прошлого столетия: к статье П. Ф. Рисса „О талышинцах, их образе жизни и языке“¹ была приложена „Этнографическая карта Ленкоранского уезда Шемахинской губернии“. (Масштаб 20 верст в дюйме).

На основе таких карт-первоисточников в последующие годы появляются более обобщенные карты.

Среди них выделяются этнографические карты, составленные Александром Федоровичем Риттихом (род. в 1831)²—военным инженером, писателем, этнографом и Николаем Карловичем Зейдлицем (1831—1907)³—статистиком, главным редактором Кавказского статистического комитета (с 1868 г.) и Елисеем Исидоровичем Кандрашенко (с 1837—1906)⁴—прапорщиком корпуса военных топографов (с 1859 г.) и правителем дел Кавказского отдела Русского Географического Общества.

„Этнографическая карта Кавказского края“ (масштаб 30 верст в дюйме, СПб., 1875)⁵, составленная А. Ф. Риттихом⁶, является первой

¹ Записки Кавказского отдела Русского Географического общества, кн. III, Тифлис, 1854.

² О нем: М. О. Косвен. Материалы по истории этнографического изучения Кавказа в русской науке. Кавказский этнографический сборник, вып. II. (Труды Института этнографии АН СССР, т. XLVI), М., 1958, стр. 272.

³ О нем: М. О. Косвен. Материалы к кн. III. (Труды Института этнографии АН СССР, т. LXXIX), М., 1962, стр. 173—174.

⁴ О нем: М. О. Косвен, ук. раб., стр. 223.

⁵ Год и место изд. этой карты установлены по „Энциклопедическому словарю“ т. 26а, СПб., 1899, стр. 819.

⁶ См. также его „Этнографическую карту Европейской России“, СПб., 1875.

научной этнографической картой Кавказа. Но при составлении карты не использованы все существующие источники, а к используемым источникам автор не относился критически. Все это нашло отражение на его карте. Так, все народы Кавказа у А. Ф. Риттиха обозначены термином „поколение“. В свою очередь он ошибочно делит это „поколение“ на „народы“ и „наречия“. Под термином „наречие“ имеется в виду тот или другой народ Кавказа вообще, а в понятие „народы“ А. Ф. Риттих включает те народы, которые „имеют историю“ и свой язык. Таким образом, у А. Ф. Риттиха народы Кавказа искусственно разделены на „исторические“ и „неисторические“. Различные языковые группы на карте А. Ф. Риттиха показаны одним условным знаком. Кроме того, этнические границы на его карте показаны схематично, прямыми линиями, не выделены территории со сложным этническим составом. Серьезной критике А. Ф. Риттиха подверг Л. П. Загурский. В статье „Искажение добытых наукой фактов по этнографии Кавказа в сочинении г. Риттиха „Племенной состав контингентов русской армии“⁷ именно эта работа служила основным источником при составлении им этнографической карты. Л. П. Загурский нашел ряд ошибок и путаницу на его карте. В частности, он отметил, что у А. Ф. Риттиха спутаны все тюркоязычные народы Кавказа: Азербайджанцы, например, отождествлены с карабаевцами, а туркмены — с курдами. Не выделены также отдельные народности, например, таты и талыши показаны под одним цветом.

Для сбора материалов по административной статистике летом 1874 г. большую часть Закавказья, в том числе Ордубад, Кубу, Нуку, Баку объехал Н. К. Зейдлиц. В результате поездки им был собран материал для его будущей карты. Его „Этнографическая карта Кавказского края“ (масштаб 40 верст в дюйме, 1880 г.), вышедшая в картографическом заведении А. А. Ильина, отличается от карты А. Ф. Риттиха большей подробностью⁸. С целью показа этнографической структуры Кавказа здесь применены 22 фоновых краски и выделены ареалы расселения 36 народностей или этнических групп. В специальной графе показана численность населения, но и на этой карте имеется ряд неточностей и ошибок. Так, население сел. Джек (джеки) и Крыз (крызы) обозначено как „нации“⁹. Н. К. Зейдлиц впоследствии осознал свои ошибки в специальной заметке¹⁰. Н. К. Зейдлицу принадлежит еще „Карта распределения народонаселения Бакинской губернии по народностям и вероисповеданиям“¹¹.

Аналогичная карта, которая относится к Елизаветпольской губернии, составлена Е. И. Кондратенко¹². Обе карты Н. К. Зейдлица и Е. И. Кондратенко не свободны от фактических и методологических ошибок.

⁷ „Изв. Кавказского Отдела Русского Географического Общества“, т. 4, № 1, Тифлис, 1875.

⁸ Эта карта помещена и в „Mittellungen aus Justus perthes geographischer anstalt über wichtige neue erforschungen auf dem gesamtgebiete der geographie von Dr. A. Petermann“ (B. IX., Gotha, 1880). Карта, вышедшая в издании „Mittellungen“ более совершенна. Наличие на этой карте цифрового обозначения позволяет быстро ориентироваться. Об этой карте см. Л. П. Загурский. Этнографические карты Кавказского края. „Изв. КОИРГО“, т. VII, № 1, Тифлис, 1881.

⁹ Л. П. Загурский, ук. раб., стр. 165.

¹⁰ См. „Mittellungen“, Heft XI, Gotha, 1880.

¹¹ Список населенных мест Российской империи, т. LXV. По Кавказу, Бакинская губерния. Составлен Н. К. Зейдлицем, Тифлис, 1870.

¹² Карта Елизаветпольской губернии с показанием сельских обществ и распределением населения по вероисповеданию, составленная в 1886 г. на основе посемейных списков. См. Статистический временнник Кавказского края, т. I, вып. 6, Тифлис, 1888.

Однако основные этнографические карты, составленные под руководством и при активном участии Е. И. Кондратенко в 90-х годах — „Этнографические карты губерний и областей Закавказского края“ (масштаб 20 верст в дюйме) в количестве 7 карт¹³ с объяснительной запиской¹⁴, имеют существенное значение и более совершенны. Из них к Азербайджану относятся: „Этнографическая карта Тифлисской губернии и Закатальского округа“, „Этнографическая карта Бакинской губернии“, „Этнографическая карта Елизаветпольской губернии“ и „Этнографическая карта Эриванской губернии“. Основой для составления этих карт служили посемейные списки населения всех сословий Закавказского края, обязанных нести воинскую повинность: „Свод статистических данных, извлеченных из посемейных списков 1886 г.“ (Тифлис, 1893). Эти списки послужили для Е. И. Кондратенко одним из источников для составления карт с указанием распределения населения по народностям и вероисповеданию.

В классификации Л. П. Загурского¹⁵, использованной Е. И. Кондратенко, азербайджанцы показаны в разделе „турецкого поколения“. Принципы его классификации в основном неверны. Например, азербайджанцы включены в монголоидную расу. Это смесь языковой и антропологической классификации. Она заимствована Л. П. Загурским у Ж. Кювье, И. Блюменбаха и у других исследователей. Таты, талыши и курды у Л. П. Загурского показаны в разделе „иранское поколение“, удины — в „группе собственно закавказских народов“. Все карты многокрасочны. Указывается также численность населения, в т. ч. городского, но многие цифры приближенны. Кроме того, не показана плотность населения.

В заключение следует отметить, что этнографические карты являются одним из важных источников для изучения народов. Благодаря этим картам можно определить степень этнографической изученности территорий.

ЛИТЕРАТУРА

1. Акульянц А. Н. Этнографическая картография Закавказья. „Советская этнография“, № 3—4, 1931.
2. Берг Л. С. Русские этнографические карты. „Человек“, № 1, 1928.
3. Загурский Л. П. Этнографические карты Кавказского края. ч. I. Изв. КОИРГО*, т. VII, № 1, Тифлис, 1881.
4. Свод статистических данных о населении Закавказского края, извлеченных из посемейных списков 1886 г., Тифлис, 1893.
5. Эфендиев З. М. Картографическая изученность Азербайджанской ССР (1700—1920 гг.), Баку, 1964 (автореферат канд. дисс.).
6. Зейдлиц Н. К. Этнографическая карта Кавказского края (масштаб 40 верст в дюйме), СПб, 1880.
7. Кондратенко Е. И. Этнографические карты губерний и областей Закавказского края (масштаб 20 верст в дюйме), ЦГВИА, кн. 414, ед. хр. № 307.
8. Рисс П. Ф. Этнографическая карта Ленкоранского уезда Шемахинской губернии (масштаб 20 верст в дюйме). „Записки КОИРГО“, кн. III, Тифлис, 1854.
9. Риттих А. Ф. Этнографическая карта Кавказского края (масштаб 30 верст в дюйме), СПб, 1875.

Институт истории

Е. Э. Кэримов

Поступило 1.II 1966

Азәрбајҹаның этнографик картографијасы тарихиндән

ХУЛАСӘ

Гафгазын, о чүмләдән Азәрбајҹаның этнографик картографијасының елми әсаслары һәлә кечән эсрин 30—50-чи илләрindә Г. Џ. Клапрот,

¹³ Этногр. карты губерний и областей Закавк. края. Центральный Государственный Военно-исторический Архив, кол. 414, ед. хр. № 307; см. также: Кавказский календарь на 1902 г., Тифлис, 1901 г. (Карты губерний и областей Закавказского края); „Записки КОИРГО“, кн. XVIII, Тифлис, 1896.

¹⁴ См. „Записки КОИРГО“, кн. XVIII, Тифлис, 1896.

¹⁵ Л. П. Загурский. Этнографическая классификация кавказских народов. Кавказский календарь на 1888 г., Тифлис, 1887.

П. К. Услар вэ б. дилчи вэ етнографларын эсэрләриндэ шәрһ едилшидир. Соңралар бөлэх хәритәләрин мејдана чыхмасында Гафгаз Статистика Комитәси мүһүм рол ојнамышдыр. Азәрбајчанын ајры-ајры гәзаларынын етнографик хәритәләринин тәртиб едилмәси ишиндэ илк тәшәббүс П. Ф. Риссә мәхсусдур. 1854-чү илдэ онун 20 верстлик „Шамахы губернијасынын Ләпкәран гәзасынын етнографик хәритәси“ нәшр олунур. Соңракы илләрдә мејдана чыхан вэ умумилашдиричи характер дашијан хәритәләрин мүәллифләри учун П. Ф. Риссин вэ башгаларынын хәритәләри илк мәнбә ролуну ојнамышдыр. Белэ хәритәләр А. Ф. Риттихин 30 верстлик „Гафгазын етнографик хәритәси“ (СПб., 1875), Н. К. Зејдлitsин 40 верстлик „Гафгазын етнографик хәритәси“ (СПб., 1880) вэ Ж. И. Кондратенконун 20 верстлик „Загафгазийяннын тубернија вэ вилајәтләринин етнографик хәритәләри“ (1896) нүмүнә ола биләр.

Жухарыда адлары чәкилән мүәллифләрдән А. Ф. Риттихин вэ хүсүсилә Ж. И. Кондратенконун хәритәләри даһа мүкәммәл олуб, елми чәһәтдән эсасландырылышдыр. Буилара бахмајараг, ингилабдан әввәл тәртиб едилән бүтүн бу хәритәләр нөгсансыз дејилдир. Мәсәлән, бир чох хәритәләрдә әһали бөлкүсүндә дини мәнсубијәтләр әсас јер тутур, әһалинин сыйхығы көстәрилмир вэ сајы чох тәхмини верилир. Хәритәләрдә антропологи вэ дил үзрә тәснифатда да нөгсанлара јол верилшидир; мәсәлән, Ж. И. Кондратенконун хәритәләриндә азәрбајчанлылар сәһв олараг монголоид иргинә айд едилир.

МҮНДӘРИЧАТ

Ријазијјат

Н. М. Чәфәрова. Там чәбри ифадәләр ејнилијинин машина исбатыны бири үсулу нағтында	3
С. J. Jagubov. Абстракт фәзаларда квази-хәтти диференциал тәнликләр нағтында	8
П. J. Соболевски. Йильтберт фәзасында тәжишенинә нәзәрәк өлчүлән вэ мусбәт мүәјҗән, өз-өзүнә гошма A(t) операторлу тәнлик нағтында	13

Кимја

С. И. Садыгзадә, Р. А. Чәлилов. Алифатик туршууларын аллил-метилаллилсиклохексан вэ металлилсиклохексана сәрбәст радикал реаксијасы үз- ра бирләшдирилмәси	17
---	----

Тибб

С. А. Асланзадә. Урәк тач дамарларынын чатмамазлығы заманы мәркә- зи синир системиниң функционал вәзијәти	22
--	----

Физика

Д. Н. Араслы, М. И. Элијев. Лекире олунмуш керманиум вэ сили- циумда фононларын сәпilmәси	26
--	----

Кеокимја

Э. Н. Нуријев, Н. X. Эфәндијев. Нефт јатагларынын лај суларында иәлл олумыш үзви маддәләрин тәркиби нағтында	29
---	----

Ријазијјат

Э. И. Һүсејнов, М. А. Эбдулләрәимов. Бә'зи гејри-хәтти сүрүшмә ил- гошма сарһәддә мәсәләләри нағтында	32
--	----

Кимја

М. М. Һүсејнов, Т. А. Гәмбәрова, З. К. Мәндијева, З. Г. Жа- рыјева. Бензолун $AlCl_3$ иштиракы илә трихлоретенлә конденсләшмәси	38
--	----

Кеолокија

С. М. Сүлејманов, Э. И. Маймудов. Чәнуби Дашкәсән јатагы ко- балт филизијиниң типләри вэ тәркиби	41
---	----

Нефт һасылты

М. Т. Абасов, Ю. М. Кондрушкин и др. Гүйулар шабакаси сыйхлығынын жатағын нефтиң һиссесинин су илә иәһајет әнатә олумасына тәсирі 46

Нефт кеолокијасы

Ә. Ч. Элиев, Ж. П. Баженов. Начыноһур, Құр вә Иори чајлары арасы вә шәрги Күрчустан гөншү зоналарынын тектоник әлагәләри мәсәләсінә даир	50
Б. И. Султанов. Конденсат сularынын мұхтәлиф фазалары вә онларын газ-конденсат жатагларынын ентијатынесабатында әһәмийеті	55
Н. Г. Элиев. Хәзәрjanы—Губа вилајетинин Тәләби—Гызылбуруй тектоник зонасынын антиклинал структурларынын хүсусијәтләри	58

Кеотермија

В. А. Горин, С. А. Элиев, Э. А. Элиев. Кеотермик фәаллыг Чәнуби Хәзәр чөкөклиниин гәрб кәнарынын дәрін гатларында карбонидрокенеләри шағулы миграцијасынын көстәричисидир	63
---	----

Биткиләриң физиолокијасы

Е. М. Ахундова. Тут жарпагларында онларын жашларынан асылы оларға рибонуклеин туршулашынын вә азотун мигдары	68
--	----

Палеоботаника

А. Б. Мәммәдов. Theodosia Nalirkini, 1925 чинсинин тә'жин едилмәсінә даир материаллар	72
---	----

Әдәбијат тарихи

Б. Гулиев. Зәнир Фаријабинин вәфат тарихинә даир	77
--	----

Етнографија

Е. Э. Қоримов. Азәрбајҹанын етнографик картографијасы тарихиндән	81
--	----

Нефт кеолокијасы

Ә. Ч. Элиев, Ж. П. Баженов. Начыноһур, Құр вә Иори чајлары арасы вә шәрги Күрчустан гөншү зоналарынын тектоник әлагәләри мәсәләсінә даир	50
Б. И. Султанов. Конденсат сularынын мұхтәлиф фазалары вә онларын газ-конденсат жатагларынын ентијатынесабатында әһәмийеті	55
Н. Г. Элиев. Хәзәрjanы—Губа вилајетинин Тәләби—Гызылбуруй тектоник зонасынын антиклинал структурларынын хүсусијәтләри	58

Кеотермија

В. А. Горин, С. А. Элиев, Э. А. Элиев. Кеотермик фәаллыг Чәнуби Хәзәр чөкөклиниин гәрб кәнарынын дәрін гатларында карбонидрокенеләри шағулы миграцијасынын көстәричисидир	63
---	----

Биткиләриң физиолокијасы

Е. М. Ахундова. Тут жарпагларында онларын жашларынан асылы оларға рибонуклеин туршулашынын вә азотун мигдары	68
--	----

Палеоботаника

А. Б. Мәммәдов. Theodosia Nalirkini, 1925 чинсинин тә'жин едилмәсінә даир материаллар	72
---	----

Әдәбијат тарихи

Б. Гулиев. Зәнир Фаријабинин вәфат тарихинә даир	77
--	----

Етнографија

Е. Э. Қоримов. Азәрбајҹанын етнографик картографијасы тарихиндән	81
--	----

СОДЕРЖАНИЕ

Математика

Н. М. Джабарова. Об одном способе доказательства тождественности целых, алгебраических выражений на машине 3

С. Я. Якубов. О квазилинейных дифференциальных уравнениях в абстрактных пространствах 8

П. Е. Соболевский. Об уравнениях $v'(t) + A(t)v(t) = f(t)$ в гильбертовом пространстве с положительно определенным самосопряженным оператором $A(t)$, измеримо зависящим от t 13

Химия

С. И. Садыхзаде, Р. А. Джалилов. Свободорадикальное присоединение алифатических кислот к аллил-, метилаллилциклогексану и металлическому циклогексану (синтез индивидуальных нафтеновых кислот) 17

Медицина

С. А. Асланзаде. Функциональное состояние центральной нервной системы при коронарной недостаточности 22

Физика

Д. Г. Араслы, М. И. Алиев. Рассеяние фононов в легированных кремни и германии 26

Геохимия

А. Н. Нуриев и Г. Х. Эфендиев. О составе органических веществ, растворенных в пластовых водах нефтяных месторождений 29

Математика

А. И. Гусейнов, М. А. Абдурагимов. О некоторых целинейных задачах сопряжения со смешением 32

Химия

М. М. Гусейнов, Т. А. Қамбарова, З. К. Мехтиева, З. Г. Яриев. Конденсация трихлорэтилена с бензолом в присутствии хлористого алюминия 38

Геология

С. М. Сулейманов, А. И. Махмудов. Типы и состав кобальтовых руд Южно-Дашкесанского месторождения 41

Добыча нефти

М. Т. Абасов, Ю. М. Кондрушкин, Б. М. Листенгарден 87

Ч. А. Султанов. Влияние плотности сетки скважин на конечный охват
заполнением нефтенасыщенного объема залежей 46

Геология нефти

А. Д. Алиев, Ю. П. Баженов. К вопросу о тектонических соотно-
шениях смежных зон Аджиноура, междуречья Куры и Иори и Восточной
Грузии 50

Б. И. Султанов. Различные фазы конденсационных вод и их значение
при подсчете запасов газоконденсатных залежей 55

Г. К. Алифов. Особенности антиклинальных структур Талаби-Кызыл-
бурунской тектонической зоны прикаспийско-Кубинской области 58

Геотермия

В. А. Горий, С. А. Алиев, А. А. Алиев. Геотермическая активность
как показатель вертикальной миграции глубинных углеводородов западного
борта Южно-Каспийской впадины 63

Физиология растений

Э. М. Ахундова. Содержание азота и рибонуклеиновой кислоты в листь-
ях перспективных сортов шелковицы в связи с их месторасположением
на побережье 68

Палеоботаника

А. Б. Мамедов. Материалы к уточнению объема рода *Theodossia Na-*
llykin, 1925 72

История литературы

Б. Кулиев. К вопросу о кончине Захира Фарийаби 77

Этнография

Э. А. Керимов. Из истории этнографического картографирования Азер-
байджана 81

Сдано в набор 3/IX 1966 г. Подписано к печати 7/XII 1966 г. Формат
бумаги 70×108^{1/16}. Бум. лист. 2,75. Печ. лист. 7,54. Уч.-изд. лист. 6,5. ФГ 05402.
Заказ. 144. Тираж 820. Цена 40 коп.

Типография «Наука» Комитета по печати при Совете Министров
Азербайджанской ССР, Баку, Рабочий проспект, 96.